

การตรวจจับสิ่งแปลกปลอมในเมล็ดพืชด้วยเทคนิคแอคทีฟเทอร์โมกราฟี

DETECTION OF FOREIGN BODIES IN GRAINS USING ACTIVE THERMOGRAPHY



วิทยานิพนธ์นี้เป็นส่วนหนึ่งของการศึกษาตามหลักสูตรปริญญาวิศวกรรมศาสตรมหาบัณฑิต

สาขาวิชาวิศวกรรมคอมพิวเตอร์

คณะวิศวกรรมศาสตร์

สถาบันเทคโนโลยีพระจอมเกล้าเจ้าคุณทหารลาดกระบัง

พ.ศ. 2558

KMITL-2015-EN-M-060-169

การตรวจจับสิ่งแปลกปลอมในเมล็ดพืชด้วยเทคนิคแอคทีฟเทอร์โมกราฟี

DETECTION OF FOREIGN BODIES IN GRAINS USING ACTIVE
THERMOGRAPHY



วิทยานิพนธ์นี้เป็นส่วนหนึ่งของการศึกษาตามหลักสูตรปริญญาวิศวกรรมศาสตรมหาบัณฑิต

สาขาวิชาวิศวกรรมการวัดคุม

คณะวิศวกรรมศาสตร์

สถาบันเทคโนโลยีพระจอมเกล้าเจ้าคุณทหารลาดกระบัง

พ.ศ.2558

KMITL-2015-EN-M-060-169

เอกสารนี้เป็นเอกสารที่สงวนไว้สำหรับการใช้งานเพื่อการศึกษาเท่านั้น ไม่อนุญาตให้นำไปใช้ประโยชน์ด้านการค้า
ไม่ว่ากรณีใดๆ ทั้งสิ้น อีกทั้งห้ามมิให้ดัดแปลงเนื้อหา และต้องอ้างอิงถึงเจ้าของเอกสารทุกครั้งที่มีการนำไปใช้

DETECTION OF FOREIGN BODIES IN GRAINS USING ACTIVE
THERMOGRAPHY



A THESIS SUBMITTED IN PARTIAL FULFILLMENT
OF THE REQUIREMENT FOR THE DEGREE OF
MASTER OF ENGINEERING IN INSTRUMENTATION ENGINEERING
FACULTY OF ENGINEER
KING MONGKUT,S INSTITUTE OF TECHNOLOGY LADKRABANG
2015

เอกสารนี้เป็นเอกสารที่สงวนไว้สำหรับการใช้ KMITL-2015-EN-M-060-169 อนุญาตให้นำไปใช้ประโยชน์ด้านการค้า
ไม่ว่ากรณีใดๆ ทั้งสิ้น อีกทั้งห้ามมิให้ดัดแปลงเนื้อหา และต้องอ้างอิงถึงเจ้าของเอกสารทุกครั้งที่มีการนำไปใช้



COPYRIGHT 2015

FACULTY OF ENGINEERING

KING MONGKUT'S INSTITUTE OF TECHNOLOGY LADKRABANG

เอกสารนี้เป็นเอกสารที่สงวนไว้สำหรับบริการเชิงงานเพื่อการศึกษาเท่านั้น ไม่อนุญาตให้นำไปใช้ประโยชน์ด้านการค้า
ไม่ว่ากรณีใดๆ ทั้งสิ้น อีกทั้งห้ามมิให้ดัดแปลงเนื้อหา และต้องอ้างอิงถึงเจ้าของเอกสารทุกครั้งที่มีการนำไปใช้

คณะวิศวกรรมศาสตร์
สถาบันเทคโนโลยีพระจอมเกล้าเจ้าคุณทหารลาดกระบัง
ใบรับรองวิทยานิพนธ์

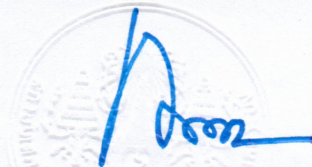
หัวข้อวิทยานิพนธ์ การตรวจจับสิ่งแปลกปลอมในเมล็ดพืชด้วยเทคนิคแอกทีฟเทอร์โมกราฟี
Thesis Title Detection of Foreign Bodies in Grains Using Active Thermography
นักศึกษา นายวราวิช พรพระ
รหัสประจำตัว 54611613
ปริญญา วิศวกรรมศาสตรมหาบัณฑิต
สาขาวิชา วิศวกรรมการวัดคุม
อาจารย์ที่ปรึกษาวิทยานิพนธ์ รศ.ดร.ทวีพล ชื้อสัตย์
หมายเลขวิทยานิพนธ์ KMITL-2015-EN-M-060-169

คณะกรรมการสอบวิทยานิพนธ์		ลายมือชื่อ
รศ.ดร.วิทยา	ทิพย์สุวรรณพร	
ดร.เกียรติศักดิ์	รุ่งพระแสง	
ดร.ยุทธพงศ์	ทัพผดุง	
รศ.ดร.นวกัทรာ	หนูนาถ	
รศ.ดร.ทวีพล	ชื้อสัตย์	

วัน / เดือน / ปี ที่สอบ วันพุธที่ 15 กรกฎาคม พ.ศ. 2558 เวลา 11.00-13.00 น.
สถานที่สอบ ณ อาคารเฉลิมพระเกียรติใหม่ ห้อง HM-303

สถาบันเทคโนโลยีพระจอมเกล้าเจ้าคุณทหารลาดกระบัง
KING MONGKUT'S INSTITUTE OF TECHNOLOGY LADKRABANG

คณะวิศวกรรมศาสตร์ รับรองแล้ว



(รองศาสตราจารย์ ดร. คมสัน มาลีสี)

คณบดี คณะวิศวกรรมศาสตร์

วันที่ 15 กรกฎาคม พ.ศ. 2558

เอกสารนี้เป็นเอกสารที่สงวนไว้สำหรับการใช้งานเพื่อการศึกษาเท่านั้น เมื่อผู้ยืมได้เห็นใบระเบียบข้อบังคับการดำเนินงาน
ไม่ว่ากรณีใดๆ ทั้งสิ้น อีกทั้งห้ามมิให้ตัดแปลงเนื้อหา และต้องอ้างอิงถึงเจ้าของเอกสารทุกครั้งที่มีการนำไปใช้

หัวข้อวิทยานิพนธ์	การตรวจจับสิ่งแปลกปลอมในเมล็ดพืชด้วยเทคนิคแอกทีฟเทอร์โมกราฟี
นักศึกษา	นายวราวิช พรพระ
รหัสประจำตัว	54611613
ปริญญา	วิศวกรรมศาสตรมหาบัณฑิต
สาขาวิชา	วิศวกรรมการวัดคุม
พ.ศ.	2558
อาจารย์ที่ปรึกษาวิทยานิพนธ์	รศ.ดร.ทวีพล ชื้อสัตย์

บทคัดย่อ

งานวิจัยนี้นำเสนอการตรวจจับสิ่งแปลกปลอมที่ปะปนในเมล็ดพืชด้วยเทคนิคแอกทีฟเทอร์โมกราฟี วิธีนี้อาศัยหลักการของการแผ่รังสีจากวัตถุที่มีการถ่ายเทความร้อนที่ต่างกัน โดยระบบนี้ประกอบด้วย กล้องถ่ายภาพความร้อน แหล่งกำเนิดความร้อน สายพานสำหรับลำเลียงถาดตัวอย่าง ซึ่งควบคุมด้วยเครื่องควบคุมแบบตรรกที่โปรแกรมได้ และคอมพิวเตอร์สำหรับประมวลผลภาพถ่ายความร้อนแบบเวลาจริง โดยใช้ซอฟต์แวร์ซึ่งพัฒนาบน Microsoft Visual Studio โดยใช้ C# (Emgu CV Library) ในการทดลองได้ทำการตรวจจับหาสิ่งแปลกปลอม เช่น หิน ไม้ และพลาสติก ที่ปะปนอยู่ในเมล็ดถั่วแดง และถั่วลิสงได้แม่นยำ ซึ่งอัตราความถูกต้องในการคัดแยกอยู่ที่ 98% ยิ่งไปกว่านั้น การประมวลผลภาพถ่ายทางความร้อนแบบเวลาจริงสามารถตรวจจับได้อย่างอัตโนมัติ

Thesis Title	Detection of Foreign Bodies in Grains Using Active Thermography
Student	Mr.Warawich Pornphra
Student ID.	54611613
Degree	Master of Engineering
Program	Instrumentation Engineering
Year	2015
Thesis Advisor	Assoc.Prof.Dr.Taweepol Suesut

ABSTRACT

This thesis presents the detection of foreign bodies in grains using active thermography. This method relies on the principle of radiation from the object that has the different heat transfer. This system consists of thermal image camera, heat source, the computer for the real time thermal images processing including the conveyor system controlled by PLC. The developed software was applied based on Microsoft Visual Studio using C# (EmguCV Library). The Experimental result found that the system could detect the foreign bodies such as rubble, wood and plastic that mixed in the red beans and peanuts as well. The classification rate was 98% of accuracy. Moreover, the real-time thermal images processing for foreign bodies detection can be done automatically.

กิตติกรรมประกาศ

วิทยานิพนธ์เล่มนี้สำเร็จไปได้ด้วยความกรุณาจากอาจารย์ที่ปรึกษาวิทยานิพนธ์ รศ.ดร.ทวีพล ชื่อสัตย์ ที่ให้ความช่วยเหลือ ให้คำชี้แนะช่วยแก้ไขปัญหาลดจนให้ความรู้และประสบการณ์ที่ดีแก่ข้าพเจ้า

ขอขอบพระคุณ รศ.ดร.นวกัทรာ หนูนาท ที่ให้ความรู้ที่เป็นประโยชน์ ให้คำปรึกษาในการดำเนินงานวิจัย และเอื้อเฟื้อห้องปฏิบัติการและอุปกรณ์ของภาควิชาวิศวกรรมอาหารในการทำงานวิจัย

ขอขอบพระคุณ ดร.ภาณุพล โขสนกระโทก ที่ให้คำปรึกษาและชี้แนะแนวทางการออกแบบและทำการทดลอง ให้ความรู้ คำแนะนำ คำปรึกษา รวมทั้งกำลังใจ

ขอขอบคุณ นายศิวักร สุขประเสริฐชัย นางสาวพรพิรุณ มงคลถาวร นางสาวเมธินี สงไทย ที่ให้ความช่วยเหลือข้าพเจ้าในทุกด้านของการดำเนินการวิจัย และให้คำปรึกษาและชี้แนะแนวทางการออกแบบและทำการทดลอง ให้ความรู้ คำแนะนำ คำปรึกษา รวมทั้งกำลังใจ

ขอขอบคุณ รุ่นพี่ เพื่อน และรุ่นน้องนักศึกษาภายใต้การควบคุมของอาจารย์ที่ปรึกษาวิทยานิพนธ์ รศ.ดร.ทวีพล ชื่อสัตย์ ทุกท่าน ที่คอยให้กำลังใจ คำแนะนำที่ดี และให้การช่วยเหลือต่างๆ

และขอกราบขอบพระคุณครอบครัว ที่คอยให้การสนับสนุนในการศึกษาในทุกๆด้าน ให้คำแนะนำ คำปรึกษา ความรัก ความห่วงใยและกำลังใจที่ดีมากเสมอมา

ข้าพเจ้าหวังเป็นอย่างยิ่งว่าวิทยานิพนธ์เล่มนี้จะเป็นประโยชน์ต่อผู้อ่านไม่มากนักน้อย และขอภัยมา ณ ที่นี้หากมีข้อผิดพลาดประการใด

วราวิช พรพระ

สารบัญ

	หน้า
บทคัดย่อภาษาไทย	I
บทคัดย่อภาษาอังกฤษ	II
กิตติกรรมประกาศ	III
สารบัญ	IV
สารบัญตาราง	VII
สารบัญรูป	VIII
บทที่ 1 บทนำ	1
1.1 ความเป็นมาและความสำคัญของปัญหา	1
1.2 วัตถุประสงค์ของงานวิจัย	2
1.3 ขอบเขตของงานวิจัย	2
1.4 ขั้นตอนดำเนินงานวิจัย.....	2
1.5 ประโยชน์ที่ได้รับ	3
1.6 รายละเอียดของวิทยานิพนธ์	3
บทที่ 2 งานวิจัยและทฤษฎีที่เกี่ยวข้อง	4
2.1 หลักการ ActiveThermography.....	4
2.1.1 Pulsed Thermography.....	4
2.1.2 Cavity Absorption Thermography.....	5
2.1.3 Lock-in Thermography.....	6
2.1.4 Thermo-Inductive Testing.....	6
2.2 สมบัติเชิงความร้อน (Thermal Properties).....	7
2.2.1 ค่าความจุความร้อนจำเพาะ (Cp).....	7
2.2.2 สัมประสิทธิ์การแผ่ความร้อน (Emissivity).....	7
2.3 การประมวลผลภาพ.....	9
สี (colour).....	9
ระบบสี RGB.....	9
ระบบสี HSV.....	10
การแปลงระบบสี RGB เป็น HSV.....	11
ภาพ gray scale.....	12
Threshold	12
2.4 การแผ่รังสีความร้อน.....	13
คลื่นรังสีอินฟราเรด (Infrared : IR).....	13
2.5 กล้องถ่ายภาพความร้อน	15
ตัวอย่างการประยุกต์ใช้งานกล้องถ่ายภาพความร้อนในอุตสาหกรรมอาหาร.....	16

เอกสารนี้เป็นเอกสารที่สงวนไว้สำหรับการใช้งานเพื่อการศึกษาเท่านั้น ไม่อนุญาตให้นำไปใช้ประโยชน์ด้านการค้า

ไม่ว่ากรณีใดๆ ทั้งสิ้น อีกทั้งห้ามมิให้ดัดแปลงเนื้อหา และต้องอ้างอิงถึงเจ้าของเอกสารทุกครั้งที่มีการนำไปใช้

สารบัญ (ต่อ)

	หน้า
2.7 งานวิจัยที่เกี่ยวข้อง	18
บทที่ 3 การออกแบบและวิธีดำเนินการวิจัย.....	19
3.1 ชุดอุปกรณ์และตัวอย่างที่ใช้ในการทดลอง.....	19
3.1.1 ชุดอุปกรณ์	19
3.1.1.1 ชุดกำเนิดความร้อนพร้อมระบบควบคุม.....	20
สายพานลำเลียง (Conveyor).....	20
มอเตอร์ (Motor)	20
พีแอลซี (PLC).....	20
เซนเซอร์ (Sensor).....	21
หลอดไฟ halogen.....	21
3.1.1.2 ชุดการวิเคราะห์ภาพ.....	21
กล้องถ่ายภาพความร้อน(Thermal Camera).....	22
กล้องเว็บแคม(webcam camera).....	22
คอมพิวเตอร์ประมวลผล(Computer System).....	23
3.1.2 ตัวอย่างและสิ่งแปลกปลอมที่ใช้ในการทดลอง.....	23
(Sample and Foreign Bodies)	
ถั่วแดง (Red Bean).....	23
ถั่วลิสง (Peanut).....	23
พลาสติก (Plastic).....	24
ไม้ (wood).....	24
หิน (Rubble).....	24
3.2 การทำงานของระบบการตรวจจับสิ่งแปลกปลอมที่ปะปนในเมล็ดพืชด้วย.....	25
เทคนิคแอดทีฟเทอร์โมกราฟี	
3.3 โปรแกรมการตรวจจับสิ่งแปลกปลอมที่ปะปนมากับเมล็ดพืชด้วยซอฟต์แวร์)....	28
3.3.1 การวิเคราะห์ภาพถ่ายความร้อนแบบระบบสี.....	28
3.3.2 การวิเคราะห์ภาพถ่ายความร้อนแบบ gray scale.....	29
3.3.3 การวิเคราะห์ภาพถ่ายความร้อนแบบ gray scale.....	31
เพื่อหาประสิทธิภาพเครื่องมือวัด	
บทที่ 4 ผลการทดลองและวิจารณ์	32
4.1 การตรวจสอบสิ่งแปลกปลอมโดยใช้ภาพสี.....	32
4.2 การตรวจสอบสิ่งแปลกปลอมโดยใช้ภาพ gray scale.....	38
4.3 การทดลองเพื่อตรวจสอบประสิทธิภาพเครื่องมือวัด.....	52

สารบัญ (ต่อ)

	หน้า
บทที่ 5 สรุปผลการวิจัยและข้อเสนอแนะ.....	56
เอกสารอ้างอิง	58
ภาคผนวก	60



เอกสารนี้เป็นเอกสารที่สงวนไว้สำหรับการใช้งานเพื่อการศึกษาเท่านั้น ไม่อนุญาตให้นำไปใช้ประโยชน์ด้านการค้า
ไม่ว่ากรณีใดๆ ทั้งสิ้น อีกทั้งห้ามมิให้ดัดแปลงเนื้อหา และต้องอ้างอิงถึงเจ้าของเอกสารทุกครั้งที่มีการนำไปใช้

สารบัญตาราง

ตารางที่	หน้า
2.1 ตัวอย่างความจุความร้อนจำเพาะของสิ่งแลกเปลี่ยนและเมล็ดพืช.....	7
2.2 ตัวอย่างสัมประสิทธิ์การแผ่รังสีความร้อนของสิ่งแลกเปลี่ยนและเมล็ดพืช	8
4.1 ผลการทดลองแสดงการปรับอัตราส่วนระหว่างจำนวนเมล็ดพืช (ถั่วแดง) และจำนวนสิ่ง... แลกเปลี่ยนในอัตราส่วน 9:1, 8:2, 7:3, 6:4 และ 5:5 ตามลำดับ	50
4.2 ผลการทดลองแสดงการปรับอัตราส่วนระหว่างจำนวนเมล็ดพืช (ถั่วลิสง) และจำนวนสิ่ง... แลกเปลี่ยนในอัตราส่วน 9:1, 8:2, 7:3, 6:4 และ 5:5 ตามลำดับ	51
4.3 เปอร์เซ็นต์ความถูกต้องของจำนวนสิ่งแลกเปลี่ยนที่โปรแกรมตรวจจับได้(ถั่วแดง-ไม้).....	52



เอกสารนี้เป็นเอกสารที่สงวนไว้สำหรับการใช้งานเพื่อการศึกษาเท่านั้น ไม่อนุญาตให้นำไปใช้ประโยชน์ด้านการค้า
ไม่ว่ากรณีใดๆ ทั้งสิ้น อีกทั้งห้ามมิให้ดัดแปลงเนื้อหา และต้องอ้างอิงถึงเจ้าของเอกสารทุกครั้งที่มีการนำไปใช้

สารบัญรูป

รูปที่	หน้า
2.1 การตรวจสอบรอยตะเข็บจากการเชื่อม.....	5
2.2 Cavity Absorption Thermography.....	5
2.3 Lock-in Thermography.....	6
2.4 Thermo-inductive Testing.....	6
2.5 แถบสีสเปกตรัม (Spectrum).....	9
2.6 ระบบสี RGB.....	10
2.7 ค่าสีในระบบ HSV.....	11
2.8 ภาพ gray scale.....	12
2.9 Threshold Image.....	12
2.10 Contour.....	13
2.11 สเปกตรัมการแผ่รังสี.....	14
2.12 การแผ่รังสีจากพื้นผิวแปรผันตามทิศทาง	14
2.13 รังสีอินฟราเรดทั้งหมดที่แผ่ออกจากพื้นผิววัตถุจริง.....	15
2.14 ระบบการวัดอุณหภูมิโดยอาศัยการแผ่รังสีอินฟราเรดของวัตถุ.....	16
2.15 การประยุกต์ใช้งานกล้องถ่ายภาพความร้อนในอุตสาหกรรมอาหาร.....	17
2.16 การประยุกต์ใช้งานกล้องถ่ายภาพความร้อนในอุตสาหกรรม.....	17
2.17 ภาพถ่ายทางความร้อนของเมล็ดพืชและสิ่งแปลกปลอม (1) เมล็ดอัลมอลต์กับหิน.....	18
(2) ลูกเกดกับไม้	
3.1 ระบบการทดลองของระบบการตรวจจับสิ่งแปลกปลอมในเมล็ดพืช.....	19
3.2 สายพานลำเลียง.....	20
3.3 มอเตอร์ รุ่น GLM-18.....	20
3.4 พีแอลซี (PLC) Omron รุ่น C200HX.....	20
3.5 เซนเซอร์แสง รุ่น E3X-DA11.....	21
3.6 หลอดไฟ halogen 50-60 Hz 100W.....	21
3.7 กล้องถ่ายภาพความร้อน (Thermal Camera) Fluke รุ่น TI 400.....	22
3.8 กล้องเว็บแคม (Webcam Camera).....	22
3.9 กล้องถ่ายภาพความร้อน (Thermal Camera) FLIR รุ่น A315.....	22
3.10 คอมพิวเตอร์ประมวลผล (Computer System).....	23
3.11 ถั่วแดง (Red Bean).....	23
3.12 ถั่วลิสง (Nut).....	23
3.13 พลาสติก (Plastic).....	24
3.14 ไม้ (wood).....	24
3.15 หิน (Rubble).....	24

เอกสารนี้เป็นเอกสารที่สงวนไว้สำหรับการใช้งานเพื่อการศึกษาเท่านั้น ไม่อนุญาตให้นำไปใช้ประโยชน์ด้านการค้า
ไม่ว่ากรณีใดๆ ทั้งสิ้น อีกทั้งห้ามมิให้ดัดแปลงเนื้อหา และต้องอ้างอิงถึงเจ้าของเอกสารทุกครั้งที่มีการนำไปใช้

สารบัญรูป (ต่อ)

รูปที่	หน้า
3.16 การทาดการทดลองขนาด 10x10 ซม.....	25
3.17 การทำงานของระบบการตรวจจับสิ่งแปลกปลอมที่ปะปนในเมล็ดพืชด้วยเทคนิค..... แอคทีฟเทอร์โมกราฟี (การทดลองแบบระบบสี)	26 29
3.18 การทำงานของระบบการตรวจจับสิ่งแปลกปลอมที่ปะปนในเมล็ดพืชด้วยเทคนิค..... แอคทีฟเทอร์โมกราฟี (การทดลองแบบ gray scale)	27 28
3.19 ตัวอย่างเมล็ดพืชและสิ่งแปลกปลอมในภาตใส่ตัวอย่าง.....	28
3.20 หน้าต่างโปรแกรมที่ใช้ในการทดลอง.....	28
3.21 ภาพถ่ายความร้อนแบบ gray scale, threshold image, contour image	29
3.22 อัลกอริทึมซอฟต์แวร์การตรวจจับสิ่งแปลกปลอมในเมล็ดพืชด้วยเทคนิค..... แอคทีฟเทอร์โมกราฟี	30 31
3.22 ตัวอย่างที่ใช้ในการทดลองถั่วแดงกับไม้.....	31
4.1 ภาพถ่ายทางความร้อนของ (1) ถั่วแดง (2) ถั่วลิสง โดยที่ไม่มีสิ่งแปลกปลอมปะปน.....	32
4.2 ภาพถ่ายทางความร้อนของสิ่งแปลกปลอมที่ไม่มีเมล็ดพืชปะปน (1) ไม้..... (2) พลาสติก (3) หิน.	33 34
4.3 ภาพถ่ายทางความร้อนของถั่วแดงกับสิ่งแปลกปลอมคือพลาสติกที่อัตราส่วนต่างๆ..... และจำนวนที่โปรแกรมตรวจจับสิ่งแปลกปลอมได้	34 35
4.4 ภาพถ่ายทางความร้อนของถั่วแดงกับสิ่งแปลกปลอมคือไม้ที่อัตราส่วนต่างๆ..... และจำนวนที่โปรแกรมตรวจจับสิ่งแปลกปลอมได้	35 35
4.5 ภาพถ่ายทางความร้อนของถั่วแดงกับสิ่งแปลกปลอมคือหินที่อัตราส่วนต่างๆ..... และจำนวนที่โปรแกรมตรวจจับสิ่งแปลกปลอมได้	35 36
4.6 ภาพถ่ายทางความร้อนของถั่วลิสงกับสิ่งแปลกปลอมคือพลาสติกที่อัตราส่วนต่างๆ..... และจำนวนที่โปรแกรมตรวจจับสิ่งแปลกปลอมได้	36 37
4.7 ภาพถ่ายทางความร้อนของถั่วลิสงกับสิ่งแปลกปลอมคือไม้ที่อัตราส่วนต่างๆ..... และจำนวนที่โปรแกรมตรวจจับสิ่งแปลกปลอมได้	37 37
4.8 ภาพถ่ายทางความร้อนของถั่วลิสงกับสิ่งแปลกปลอมคือหินที่อัตราส่วนต่างๆ..... และจำนวนที่โปรแกรมตรวจจับสิ่งแปลกปลอมได้	37 39
4.9 ภาพถ่ายทางความร้อนของ (1) ถั่วแดง (2) ถั่วลิสง โดยที่ไม่มีสิ่งแปลกปลอมปะปน..... แบบgray scale	39 40
4.10 ภาพถ่ายทางความร้อนของสิ่งแปลกปลอมที่ไม่มีเมล็ดพืชปะปน (1) ไม้ (2) พลาสติก.... และ(3) หิน แบบ gray scale	40 41
4.11 ภาพถ่ายทางความร้อนของถั่วแดงกับสิ่งแปลกปลอมคือพลาสติกที่อัตราส่วนต่างๆ..... และจำนวนที่โปรแกรมตรวจจับสิ่งแปลกปลอมได้ แบบ gray scale	41 42
4.12 ภาพถ่ายทางความร้อนของถั่วแดงกับสิ่งแปลกปลอมคือไม้ที่อัตราส่วนต่างๆ..... และจำนวนที่โปรแกรมตรวจจับสิ่งแปลกปลอมได้ แบบ gray scale	42 42

เอกสารนี้เป็นเอกสารที่สงวนไว้สำหรับการใช้งานเพื่อการศึกษาเท่านั้น ไม่อนุญาตให้นำไปใช้ประโยชน์ด้านการค้า
ไม่ว่ากรณีใดๆ ทั้งสิ้น อีกทั้งห้ามมิให้ตัดแปลงเนื้อหา และต้องอ้างอิงถึงเจ้าของเอกสารทุกครั้งที่มีการนำไปใช้

สารบัญรูป (ต่อ)

รูปที่	หน้า
4.13 ภาพถ่ายทางความร้อนของถั่วแดงกับสิ่งแปลกปลอมคือหินที่อัตราส่วนต่างๆ..... และจำนวนที่โปรแกรมตรวจจับสิ่งแปลกปลอมได้ แบบ gray scale	42
4.14 ภาพถ่ายทางความร้อนของถั่วลิสงกับสิ่งแปลกปลอมคือพลาสติกที่อัตราส่วนต่างๆ..... และจำนวนที่โปรแกรมตรวจจับสิ่งแปลกปลอมได้ แบบ gray scale	43
4.15 ภาพถ่ายทางความร้อนของถั่วลิสงกับสิ่งแปลกปลอมคือไม้ที่อัตราส่วนต่างๆ..... และจำนวนที่โปรแกรมตรวจจับสิ่งแปลกปลอมได้ แบบ gray scale	44
4.16 ภาพถ่ายทางความร้อนของถั่วลิสงกับสิ่งแปลกปลอมคือหินที่อัตราส่วนต่างๆ..... และจำนวนที่โปรแกรมตรวจจับสิ่งแปลกปลอมได้ แบบ gray scale	44
4.17 กราฟแสดงความสัมพันธ์ระหว่างค่า Intensity กับ เวลาคายความร้อน ที่เวลาให้..... ความร้อน 10 วินาที	45
4.18 กราฟแสดงความสัมพันธ์ระหว่างค่า Intensity กับ เวลาคายความร้อน ที่เวลาให้..... ความร้อน 15 วินาที	45
4.19 กราฟแสดงความสัมพันธ์ระหว่างค่า Intensity กับ เวลาคายความร้อน ที่เวลาให้..... ความร้อน 20 วินาที	46
4.20 กราฟแสดงความสัมพันธ์ระหว่างค่า Intensity กับ เวลาคายความร้อน ที่เวลาให้..... ความร้อน 25 วินาที	46
4.21 กราฟแสดงความสัมพันธ์ระหว่างค่า Intensity กับ เวลาคายความร้อน ที่เวลาให้..... ความร้อน 30 วินาที	47
4.22 ภาพถ่ายทางความร้อนของถั่วแดงกับไม้ 1 ชั้น.....	53
4.23 ภาพถ่ายทางความร้อนของถั่วแดงกับไม้ 2 ชั้น.....	53
4.24 ภาพถ่ายทางความร้อนของถั่วแดงกับไม้ 3 ชั้น.....	54
4.25 ภาพถ่ายทางความร้อนของถั่วแดงกับไม้ 4 ชั้น.....	54
4.26 ภาพถ่ายทางความร้อนของถั่วแดงกับไม้ 5 ชั้น.....	55

บทที่ 1

บทนำ

1.1 ความเป็นมาและความสำคัญของงานวิจัย

ในอุตสาหกรรมการผลิตที่เกี่ยวข้องกับเกษตรนั้น ไม่ว่าจะเป็นวัตถุดิบหรืออาหารสำเร็จรูป ในกระบวนการผลิตผู้ผลิตย่อมที่จะต้องทำให้วัตถุดิบที่ได้เหล่านั้นมีความสะอาดปราศจากสิ่งแปลกปลอมเพื่อให้ได้คุณภาพและเพิ่มมูลค่าให้กับวัตถุดิบนั้นๆ ในปัจจุบันคนให้ความสำคัญในเรื่องของการดูแลสุขภาพมากขึ้น มีการเลือกสรรวัตถุดิบที่มีประโยชน์ต่อร่างกายนำมาปรุงอาหาร เช่น เมล็ดพืชชนิดต่างๆ ที่อุดมด้วยคุณค่าถูกนำมาตัดแปดเป็นอาหาร และเครื่องดื่มที่มีประโยชน์ต่างๆ มากมาย[1] โดยเฉพาะเมล็ดพืชเป็นวัตถุดิบที่สำคัญที่นำไปใช้เพื่อการแปรรูปอาหารเป็นแป้ง แล้วนำไปแปรรูปต่อเป็นผลิตภัณฑ์อาหารต่างๆ เพราะฉะนั้นในกระบวนการผลิตหรือกระบวนการที่เกี่ยวข้องกับเมล็ดพืชจึงจำเป็นอย่างมากที่จะต้องคำนึงถึงความสะอาดปราศจากสิ่งแปลกปลอม ซึ่งสิ่งแปลกปลอมที่ปะปนอยู่ในวัตถุดิบเกิดได้จากหลายปัจจัย เช่น การเก็บเกี่ยว การขนส่ง การเก็บรักษา เป็นต้น ซึ่งปัจจัยต่างๆ เหล่านี้ทำให้มีสิ่งแปลกปลอมปะปนเข้ามาในเมล็ดพืชได้ทำให้มีผลในด้านคุณภาพของวัตถุดิบลดลง

วิธีการดั้งเดิมในการคัดแยกสิ่งแปลกปลอมออกจากวัตถุดิบคือการใช้กำลังคนในการคัดแยก แต่ปัจจัยทางด้านกายภาพของแต่ละบุคคลทำให้มีผลในการคัดแยกเช่น เพศ อายุ สภาพแวดล้อมในการทำงาน เป็นต้น[2] หรือวิธีการคัดแยกในทางเชิงกลบางวิธี เช่น การใช้ตะแกรงร่อน ไม่สามารถแยกวัตถุดิบที่มีลักษณะทางกายภาพดังเช่นขนาดที่ใกล้เคียงกันได้[3] และส่วนของวิธีการคัดแยกหรือการตรวจสอบแบบไม่สัมผัสกับวัตถุดิบมีหลากหลายวิธี เช่น วิธีการคัดแยกสี (color sorter) เป็นวิธีการคัดแยกด้วยสีที่ผิวของวัตถุ เป็นอุปกรณ์ที่ใช้เพื่อคัดแยกวัสดุที่มีสีแตกต่างกันออกจากกัน โดยใช้การถ่ายภาพและวิเคราะห์ภาพถ่าย (Image processing) เปรียบเทียบกับฐานข้อมูลที่เก็บไว้ แต่สำหรับวิธีนี้ยังคงมีข้อจำกัดคือไม่สามารถแยกวัตถุที่มีสีคล้ายคลึงกันได้อย่างชัดเจน ทำให้ประสิทธิภาพในการตรวจสอบหรือคัดแยกลดลง ทั้งนี้เพื่อให้ตอบสนองต่อความต้องการวัตถุดิบที่มีความสะอาดและได้คุณภาพต่อผู้บริโภค ปัจจัยในด้านความสะอาดและคุณภาพในกระบวนการที่เกี่ยวข้องกับสินค้าเพื่อบริโภคย่อมเป็นปัจจัยสำคัญและมีความจำเป็นอย่างมาก

วิธีการตรวจสอบแบบไม่ทำลายเป็นวิธีหนึ่งที่ไม่ต้องสัมผัสกับวัตถุซึ่งจะไม่ก่อให้เกิดความเสียหายต่อวัตถุดิบทั้งทางด้านคุณภาพและกายภาพ โดยทั่วไปมีการนำเทคนิค Active thermography ไปประยุกต์ใช้ในงานด้านอาหารหรือด้านอื่นมากมาย เช่น การนำไปตรวจจับสิ่งแปลกปลอมในอาหารโดยใช้หลักการถ่ายภาพความร้อน[4] นำหลักการ Active thermography ไปใช้ในการวิเคราะห์พื้นผิวและรอยต่อของอิฐ[5] และนำหลักการถ่ายภาพความร้อนไปตรวจจับรอยร้าวในวัสดุที่เป็นไม้[6] เป็นต้น งานวิจัยนี้นำเสนอการตรวจจับสิ่งแปลกปลอมที่ปะปนในเมล็ดพืชด้วยเทคนิคแอกทีฟเทอร์โมกราฟี การประยุกต์ใช้งานกล้องถ่ายภาพความร้อนเพื่อการวัดและการทดสอบแบ่งออกเป็น 2 ประเภท คือ Passive Thermography และ Active Thermography ซึ่งวิธี Active Thermography เป็นวิธีที่ได้เลือกนำมาทดสอบ วิธีการประยุกต์ในการใช้ระบบนี้โดยทั่วไปแล้วจะต้องมีแหล่งกระตุ้นความร้อนจากภายนอก (Heat Source) มาเป็นแหล่งให้ความร้อนกับวัตถุที่

เอกสารนี้เป็นเอกสารที่สงวนไว้สำหรับการใช้งานเพื่อการศึกษาเท่านั้น ไม่อนุญาตให้นำไปใช้ประโยชน์ด้านการค้า ไม่ว่าจะกรณีใดๆ ทั้งสิ้น อีกทั้งห้ามมิให้ตัดแปลงเนื้อหา และต้องอ้างอิงถึงเจ้าของเอกสารทุกครั้งที่มีการนำไปใช้

จะทำการตรวจสอบ ซึ่งตัวอย่างที่จะนิยมใช้เป็นแหล่งกระตุ้นความร้อนสำหรับงานตรวจสอบแบบไม่ทำลาย คือ แสงจากหลอดไฟฮาโลเจน หลอดไฟซินอน แสงเลเซอร์ กระแสไฟฟ้าหมุนวน หรือ อัลตราโซนิก เป็นต้น สำหรับวิธีการตรวจสอบแบบไม่ทำลายโดยวิธี Active thermography นี้จะมีด้วยกันอยู่หลายวิธี เช่น วิธี lock-in infrared thermography การทดสอบด้วยวิธีนี้มีความซับซ้อนมากกว่าวิธีอื่นเนื่องจาก แหล่งให้ความร้อนจะต้องป้อนเป็นลักษณะคาบเวลา เช่น สัญญาณไซน์ ผ่านไปยังอุปกรณ์กระตุ้นความร้อน เช่น หลอดไฟที่ให้ความร้อน หรือ อัลตราโซนิก จากนั้นวัดผลตอบสนองในรูปแบบของเฟส (Phase) และ แมกนิจูด (Magnitude) จากภาพที่ได้จากกล้องถ่ายภาพความร้อน ในภาพของเฟสสามารถบอกถึงความสัมพันธ์ของเวลาในการแพร่ความร้อน และความผิดปกติบนพื้นผิวได้ วิธี Pulse thermography วิธีนี้เป็นวิธีการให้ความร้อนจากแหล่งกระตุ้นเพียงแค่วินาทีสั้น ๆ ทั้งนี้ขึ้นอยู่กับชนิดของพื้นผิววัสดุ ค่าความจุความร้อนจำเพาะของวัสดุ (C_p) และค่าสัมประสิทธิ์การแผ่รังสีความร้อน (Emissivity) และสำหรับความร้อนที่ให้ไปถ้าเป็นโลหะจะมีค่าการนำความร้อนสูงซึ่งให้ความร้อนในช่วงมิลลิวินาที แต่ถ้าวัสดุเป็นพลาสติกหรือโลหะจะให้ความร้อนในช่วงวินาที ซึ่งค่าการนำความร้อน (thermal conductivity) หรือสัมประสิทธิ์การนำความร้อน เป็นสมบัติเชิงความร้อน (thermal properties) ของวัสดุ ที่บ่งบอกถึงอัตราเร็วของการส่งผ่านพลังงานความร้อนโดยการนำความร้อน (conduction) ของวัสดุต่างๆ ซึ่งเป็นการส่งผ่านความร้อนภายในโมเลกุลของวัสดุ จากโมเลกุลที่ระดับพลังงานสูงกว่า ไปยังระดับที่ต่ำกว่า ของแต่ละวัสดุก็จะไม่เท่ากัน[7]

1.2 วัตถุประสงค์ของงานวิจัย

1. เพื่อออกแบบและพัฒนาระบบการตรวจจับสิ่งแปลกปลอมที่ปะปนในเมล็ดพืชด้วยเทคนิคแอกทีฟเทอร์โมกราฟี
2. เพื่อออกแบบและพัฒนาโปรแกรมตรวจจับสิ่งแปลกปลอมที่ปะปนในเมล็ดพืช

1.3 ขอบเขตของงานวิจัย

1. ออกแบบและพัฒนาระบบการตรวจจับสิ่งแปลกปลอม (พลาสติก, ไม้ และหิน) ที่ปะปนในเมล็ดถั่วแดงและถั่วลิสงด้วยเทคนิคแอกทีฟเทอร์โมกราฟี
2. ออกแบบระบบการให้ความร้อนแก่ชิ้นงานตัวอย่าง (ถั่วแดง, ถั่วลิสง, พลาสติก, ไม้ และหิน) และออกแบบระบบการตรวจจับสิ่งแปลกปลอมด้วยกล้องถ่ายภาพความร้อน
3. ออกแบบและพัฒนาโปรแกรมตรวจจับสิ่งแปลกปลอมที่ปะปนในเมล็ดถั่วแดงและถั่วลิสงด้วย Microsoft Visual Studio (Visual C#) โดยใช้ Emgu CV Library

1.4 ขั้นตอนการดำเนินงานวิจัย

1. ศึกษาการทำงานของระบบโปรแกรมที่ควบคุมได้แบบตรรก
2. ศึกษาการทำงานของกล้องถ่ายภาพความร้อน
3. ศึกษาการประมวลผลภาพด้วยวิธีการใช้ภาพถ่ายทางความร้อน
4. ออกแบบและพัฒนาระบบการตรวจจับสิ่งแปลกปลอมที่ปะปนในเมล็ดพืชด้วยเทคนิคแอกทีฟเทอร์โมกราฟี

เอกสารนี้เป็นเอกสารที่สงวนไว้สำหรับการใช้งานเพื่อการศึกษาเท่านั้น ไม่อนุญาตให้นำไปใช้ประโยชน์ด้านการค้า ไม่ว่าจะกรณีใดๆ ทั้งสิ้น อีกทั้งห้ามมิให้ดัดแปลงเนื้อหา และต้องอ้างอิงถึงเจ้าของเอกสารทุกครั้งที่มีการนำไปใช้

5. ออกแบบและพัฒนาโปรแกรมตรวจจับสิ่งแปลกปลอมที่ปะปนในเมล็ดถั่วแดงและถั่วลันเตาด้วย Microsoft Visual Studio (Visual C#) โดยใช้ Emgu CV Library

1.5 ประโยชน์ที่ได้รับ

1. สามารถออกแบบและพัฒนากระบวนการตรวจจับสิ่งแปลกปลอมที่ปะปนในเมล็ดพืชด้วยเทคนิคแอกทีฟเทอร์โมกราฟีได้
2. ออกแบบและพัฒนาโปรแกรมตรวจจับสิ่งแปลกปลอมที่ปะปนในเมล็ดพืชได้

1.6 รายละเอียดของวิทยานิพนธ์

บทที่ 1 กล่าวถึงความเป็นมาและความสำคัญของปัญหาที่สนใจเพื่อนำมาสู่งานวิจัยวัตถุประสงค์ของงานวิจัย ขอบเขตของงานวิจัย ขั้นตอนการดำเนินงานวิจัย ประโยชน์ที่ได้รับ และรายละเอียดของวิทยานิพนธ์

บทที่ 2 กล่าวถึงงานวิจัยและทฤษฎีที่เกี่ยวข้อง ซึ่งรวบรวมแนวคิด ทฤษฎี และผลงานวิจัยที่มีความสำคัญต่องานวิจัยนี้ ทั้งทฤษฎีของหลักการแอกทีฟเทอร์โมกราฟี ค่าความจุความร้อนสัมประสิทธิ์การแผ่ความร้อน การประมวลผลภาพ หลักการสี และทฤษฎีหลักการเครื่องมือวิเคราะห์ภาพถ่ายความร้อน

บทที่ 3 กล่าวถึงการออกแบบและวิธีดำเนินการวิจัย อุปกรณ์ในการทำงานของระบบที่ออกแบบและการทำงานของระบบ การทำงานของโปรแกรมที่พัฒนาขึ้น

บทที่ 4 กล่าวถึงผลการทดลองและวิจารณ์ ซึ่งแสดงผลการทดลองในการทดสอบการทำงานของระบบการตรวจจับสิ่งแปลกปลอมที่ปะปนในเมล็ดพืชด้วยเทคนิคแอกทีฟเทอร์โมกราฟี รวมทั้งวิจารณ์ผลการทดลอง

บทที่ 5 สรุปและข้อเสนอแนะ เป็นการสรุปผลการทดลองทั้งหมดที่ได้จากงานวิจัย รวมทั้งข้อเสนอแนะเพิ่มเติมที่สามารถนำไปใช้ประกอบการพัฒนาในอนาคต

บทที่ 2

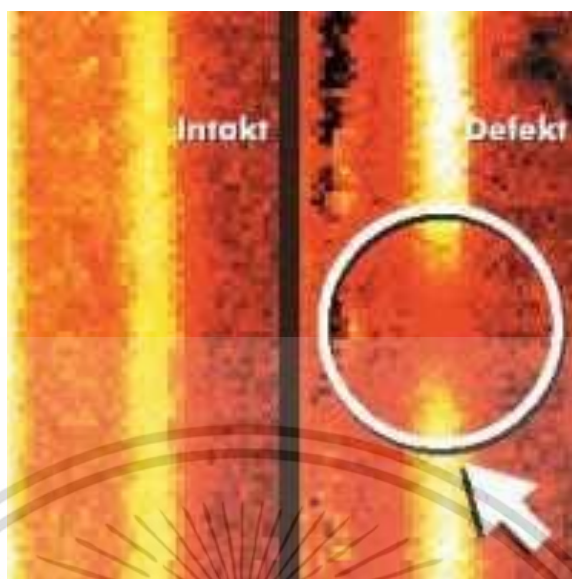
งานวิจัยและทฤษฎีที่เกี่ยวข้อง

2.1 หลักการ Active Thermography

วิธีการประยุกต์ในการใช้ระบบนี้โดยทั่วไปแล้วจะต้องมีแหล่งกระตุ้นความร้อนจากภายนอก (Heat Source) มาเป็นแหล่งให้ความร้อนกับวัตถุที่จะทำการตรวจสอบ ซึ่งตัวอย่างที่จะนิยมใช้เป็นแหล่งกระตุ้นความร้อนสำหรับงานตรวจสอบแบบไม่ทำลาย คือ แสงจากหลอดไฟฮาโลเจน หลอดไฟซีนอน แสงเลเซอร์ กระแสไฟฟ้าหมุนวน หรือ อัลตราโซนิก เป็นต้น สำหรับวิธีการตรวจสอบแบบไม่ทำลายโดยวิธี Active thermography นี้จะมีด้วยกันอยู่หลายวิธี เช่น วิธี lock-in infrared thermography การทดสอบด้วยวิธีนี้มีความซับซ้อนมากกว่าวิธีอื่นเนื่องจาก แหล่งให้ความร้อนจะต้องป้อนเป็นลักษณะคาบเวลา เช่น สัญญาณไซน์ ผ่านไปยังอุปกรณ์กระตุ้นความร้อน เช่น หลอดไฟที่ให้ความร้อน หรือ อัลตราโซนิก จากนั้นวัดผลตอบสนองในรูปแบบของเฟส (Phase) และ แมกนิจูด (Magnitude) จากภาพที่ได้จากกล้องถ่ายภาพความร้อน ในภาพของเฟสสามารถบอกถึงความสัมพันธ์ของเวลาในการแพร่ความร้อนและความผิดปกติบนพื้นผิวได้ วิธี Pulse thermography วิธีนี้เป็นวิธีการให้ความร้อนจากแหล่งกระตุ้นเพียงแค่ระยะเวลานั้น ๆ ทั้งนี้ขึ้นอยู่กับชนิดของพื้นผิววัสดุ ค่าความจุความร้อนจำเพาะของวัสดุ (C_p) และค่าสัมประสิทธิ์การแผ่รังสีความร้อน (Emissivity) และสำหรับความร้อนที่ให้ไปถ้าเป็นโลหะจะมีค่าการนำความร้อนสูงซึ่งให้ความร้อนในช่วงมิลลิวินาที แต่ถ้าวัสดุเป็นพลาสติกหรือโลหะจะให้ความร้อนในช่วงวินาที ซึ่งค่าการนำความร้อน (thermal conductivity) หรือสัมประสิทธิ์การนำความร้อน เป็นสมบัติเชิงความร้อน (thermal properties) ของวัสดุ ที่บ่งบอกถึงอัตราเร็วของการส่งผ่านพลังงานความร้อนโดยการนำความร้อน (conduction) ของวัสดุต่างๆ ซึ่งเป็นการส่งผ่านความร้อนภายในโมเลกุลของวัสดุ จากโมเลกุลที่ระดับพลังงานสูงกว่าไปยังระดับที่ต่ำกว่า ของแต่ละวัสดุก็จะไม่เท่ากัน

2.1.1 Pulsed Thermography

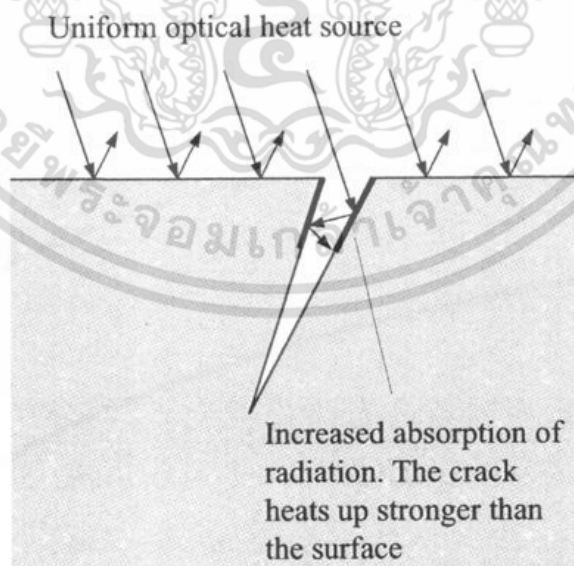
วิธีนี้ใช้การกระตุ้นด้วยความร้อนเป็นเวลานั้นๆ ซึ่งขึ้นอยู่กับชนิดของพื้นผิววัสดุ เช่น พวกเหล็กมีค่าการนำความร้อนสูงใช้เวลาเพียงไม่กี่มิลลิวินาที ส่วนวัสดุประเภทพลาสติกหรือโลหะใช้เวลาเป็นวินาที ตัวอย่างการใช้งานในการทดสอบตะเข็บรอยเชื่อม (Weld Seam Testing) ซึ่งสามารถออกแบบระบบตรวจสอบให้เป็น in-line quality control ได้ในแบบอัตโนมัติเพื่อใช้ในการหารอยเชื่อมที่ไม่สมบูรณ์ รูปที่ 2.1 นั้นแสดงให้เห็นว่า รอยเชื่อมที่ดีต้องมีการประติดประต่อกันตลอดแนว ซึ่งในการทดสอบนี้ภาพถ่ายความร้อนที่ได้ถูกนำมาทำการวิเคราะห์โดยใช้การประมวลผลภาพ (Image processing)



รูปที่ 2.1 การตรวจสอบรอยตะเข็บจากการเชื่อม

2.1.2 Cavity Absorption Thermography

วิธีนี้ใช้กับรอยแตกร้าวของโลหะที่เป็นช่องเปิดเนื่องจากค่า Emissivity และค่า Absorption ของช่องว่างที่เกิดขึ้นมีค่ามากกว่าพื้นผิวปกติ ดังนั้นจึงทำให้สามารถตรวจสอบได้ว่ามีรอยแตกร้าวเกิดขึ้น โดยบริเวณดังกล่าวจะมีลักษณะที่คล้ายกับว่ามีอุณหภูมิสูงกว่าบริเวณอื่นๆ วิธีนี้สามารถใช้ได้ทั้งแบบ Passive Thermography และ Active Thermography

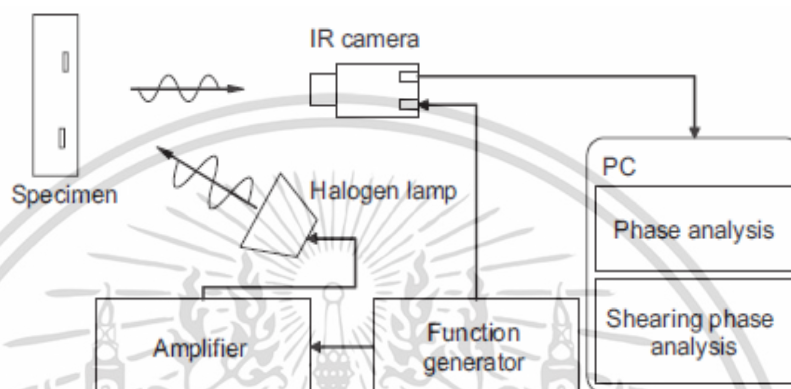


รูปที่ 2.2 Cavity Absorption Thermography

เอกสารนี้เป็นเอกสารที่สงวนไว้สำหรับการใช้งานเพื่อการศึกษาเท่านั้น ไม่อนุญาตให้นำไปใช้ประโยชน์ด้านการค้า ไม่ว่าจะกรณีใดๆ ทั้งสิ้น อีกทั้งห้ามมิให้ดัดแปลงเนื้อหา และต้องอ้างอิงถึงเจ้าของเอกสารทุกครั้งที่มีการนำไปใช้

2.1.3 Lock-In Thermography

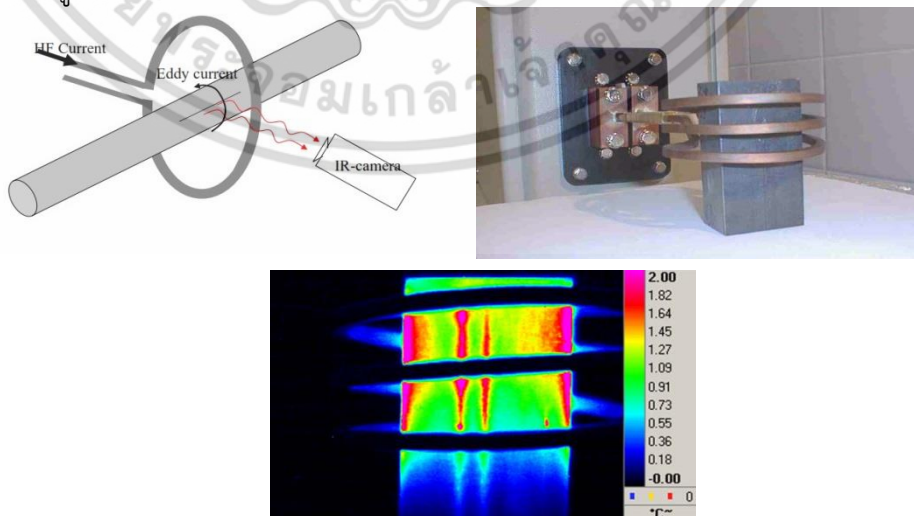
การทดสอบด้วยวิธีนี้มีความซับซ้อนมากกว่าวิธีอื่น เนื่องจากแหล่งให้ความร้อนต้องป้อนเป็นลักษณะคาบเวลา เช่น สัญญาณไซน์ผ่านไปยังอุปกรณ์กระตุ้นความร้อน เช่น หลอดไฟฮีทเตอร์หรืออัลตราโซนิก จากนั้นวัดผลตอบสนองในรูปแบบของเฟส (Phase) และแมกนิจูด (Magnitude) จากภาพที่ได้จากกล้องถ่ายภาพความร้อนในภาพของเฟสสามารถบอกถึงความสัมพันธ์ของเวลาในการแผ่ความร้อนและความผิดปกติบนพื้นผิวได้ จากรูปที่ 2.3



รูปที่ 2.3 Lock-In Thermography

2.1.4 Thermo-inductive Testing

วิธีนี้อาศัยการกระตุ้นความร้อนเพียงเล็กน้อยกับเหล็กโดยใช้ กระแสหมุนวนหรือ Eddy Current โดยปกติแล้วการทดสอบผิวของโลหะใช้หลักการของ Eddy Current ในการตรวจสอบรอยแตกร้าวบนเนื้อโลหะ และใช้กล้องถ่ายภาพความร้อนตรวจหาลักษณะรอยร้าวบนพื้นผิวโลหะ บริเวณที่มีรอยร้าวมีกระแสไหลมากกว่าปกติ จึงทำให้มีอุณหภูมิสูงกว่าบริเวณอื่นดังเห็นได้จากรูปที่ 2.4



รูปที่ 2.4 Thermo-inductive Testing

เอกสารนี้เป็นเอกสารที่สงวนไว้สำหรับกรใช้ภายในเพื่อใช้การศึกษาเท่านั้น ไม่อนุญาตให้นำไปใช้ประโยชน์ด้านการค้าไม่ว่ากรณีใดๆ ทั้งสิ้น อีกทั้งห้ามมิให้ดัดแปลงเนื้อหา และต้องอ้างอิงถึงเจ้าของเอกสารทุกครั้งที่มีการนำไปใช้

2.2 สมบัติเชิงความร้อน (Thermal Properties)

2.2.1 ค่าความจุความร้อนจำเพาะ (Cp)

ความจุความร้อนจำเพาะ (Specific Heat, Cp) คือ ค่าที่แสดงถึงคุณสมบัติในการรับความร้อนของวัตถุ โดยทั่วไปความจุความร้อนจำเพาะคือ ปริมาณความร้อนที่ทำให้วัตถุ มวล 1 หน่วย มีอุณหภูมิเพิ่มขึ้นหรือลดลงจากเดิม 1 องศา มีหน่วยเป็น ปริมาณความร้อนต่อหน่วยมวลต่อหน่วยอุณหภูมิ เช่น แคลอรีต่อกรัมต่อองศาเซลเซียส กิโลแคลอรี ต่อกิโลกรัมต่อองศาเซลเซียส หรือ จูลต่อกิโลกรัมต่อเคลวิน สำหรับสมการของการหา พลังงานความร้อนที่วัตถุได้รับจะมีรูปทั่วไปแสดงดังสมการที่ 2.1 และตัวอย่างความจุ ความร้อนจำเพาะของวัสดุแสดงดังตารางที่ 2.1

$$q = m \int_{T_1}^{T_2} c_p dT \quad (2.1)$$

ตารางที่ 2.1 ตัวอย่างความจุความร้อนจำเพาะของสิ่งแปลกปลอมและเมล็ดพืช

ชนิด	ค่าความจุความร้อน (kJ/kg K)	ที่มา
ไม้	1.26 – 2.9	[8]
หิน	0.46 – 0.9	[8]
ถั่วลิสง	1.926 – 2.912	[9]
ถั่วแดง	3.660 – 3.326	[10]
พลาสติก	1.731 ± 8.5	[11]

2.2.2 สัมประสิทธิ์การแผ่ความร้อน (Emissivity)

สัมประสิทธิ์การแผ่รังสีความร้อนของวัตถุ (Emissivity, ϵ) คือ ค่าที่แสดงถึง ความสามารถในการแผ่รังสีความร้อนของวัตถุ โดยมีค่าเท่ากับอัตราส่วนของรังสีที่แผ่ ออกจากวัตถุกับรังสีที่แผ่ออกจากวัตถุดำ ณ อุณหภูมิเดียวกัน ซึ่งสัมประสิทธิ์การแผ่รังสี ความร้อนของวัตถุจริงใด ๆ มีค่าอยู่ระหว่าง 0 ถึง 1 แต่วัตถุดำ (Black body) มี สัมประสิทธิ์การแผ่รังสีความร้อนเท่ากับ 1 เสมอ เนื่องจากวัตถุดำเป็นวัตถุทางอุดมคติ สำหรับการแผ่รังสีความร้อน มีความสามารถในการแผ่รังสีความร้อนได้สูงที่สุด และมีความสามารถในการดูดซึมรังสีที่มาจากกระทบทั้งหมดในทุกความยาวคลื่นและทุกทิศทาง ซึ่งสัมประสิทธิ์การแผ่รังสีความร้อนขึ้นอยู่กับชนิดของวัตถุ ลักษณะพื้นผิวของของวัตถุ และอุณหภูมิที่ผิวของวัตถุ [12] สำหรับการหาพลังงานการแผ่รังสีอินฟราเรดของวัตถุใด ๆ หรือวัตถุดำจริงจำเป็นต้องทราบสัมประสิทธิ์การแผ่รังสีความร้อนของวัตถุเพื่อป้อนให้กับกล้องถ่ายภาพความร้อน หากป้อนสัมประสิทธิ์การแผ่รังสี ความร้อนได้ถูกต้องจะส่งผลให้อุณหภูมิที่ได้จากกล้องถ่ายภาพความร้อนถูกต้องตามไปด้วย ซึ่งตัวอย่างสัมประสิทธิ์การแผ่รังสีความร้อนของวัสดุชนิดต่างๆ แสดงดัง

เอกสารนี้ ตารางที่ 2.2 โดยสามารถคำนวณพลังงานการแผ่รังสีอินฟราเรดได้จากความสัมพันธ์ดังสมการที่ 2.2 ไม่ว่ากรณีใดๆ ทั้งสิ้น อีกทั้งห้ามมิให้คัดแปลงเนื้อหา และต้องอ้างอิงถึงเจ้าของเอกสารทุกครั้งที่มีการนำไปใช้

$$E(T) = \epsilon \sigma T^4 \quad (2.2)$$

โดยที่ σ คือ ค่าคงที่ของสเตฟานโบลท์มานน์ มีค่าเท่ากับ $5.67 \times 10^{-8} \text{ W/m}^2 \cdot \text{K}^4$

ความสามารถในการแผ่รังสีความร้อน (thermal radiation) ของวัตถุที่อุณหภูมิใดๆ หรือค่าอัตราส่วนของพลังงานการแผ่รังสีความร้อน (emissive power) ของวัตถุใดๆ กับพลังงานการแผ่รังสีความร้อนของวัตถุดำ ณ อุณหภูมิเดียวกัน ดังแสดงความสัมพันธ์ในสมการที่ 2.3

$$\epsilon(T) = \frac{E(T)}{E_b(T)} \quad (2.3)$$

โดยที่

E_b คือ ค่าพลังงานการแผ่รังสีความร้อนจากวัตถุดำ

E คือ ค่าพลังงานการแผ่รังสีความร้อนของวัตถุใดๆ

ตารางที่ 2.2 ตัวอย่างสัมประสิทธิ์การแผ่รังสีความร้อนของสิ่งแปลกปลอมและเมล็ดพืช

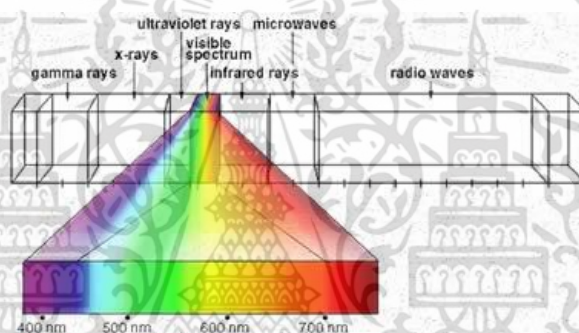
ชนิด	สัมประสิทธิ์การแผ่รังสีความร้อน	ที่มา
เศษไม้	0.82-0.92	[13]
		[14]
หิน	0.88-0.95	[15]
		[16]
พลาสติก	0.84-0.86	[11]
ถั่วลิสง	0.92-0.96	[17]
ถั่วแดง	0.93-0.96	[18]

เอกสารนี้เป็นเอกสารที่สงวนไว้สำหรับการใช้งานเพื่อการศึกษาเท่านั้น ไม่อนุญาตให้นำไปใช้ประโยชน์ด้านการค้าไม่ว่ากรณีใดๆ ทั้งสิ้น อีกทั้งห้ามมิให้ดัดแปลงเนื้อหา และต้องอ้างอิงถึงเจ้าของเอกสารทุกครั้งที่มีการนำไปใช้

2.3 การประมวลผลภาพ

สี (colour)

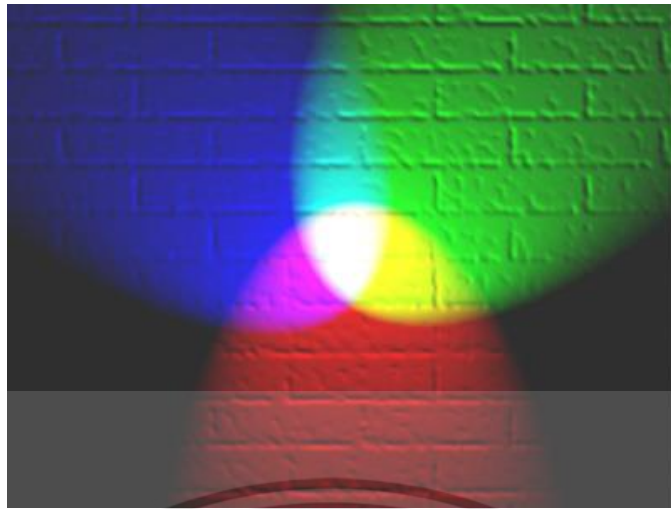
สีคือส่วนหนึ่งในธรรมชาติของแสงอาทิตย์ โดยให้ลำแสงส่องผ่านแท่งแก้วปริซึม แสงจะหักเห เพราะแท่งแก้วปริซึมความหนาแน่นมากกว่าอากาศเมื่อลำแสงหักเหผ่านปริซึมจะปรากฏแถบสีสเปกตรัม (Spectrum) หรือที่เรียกว่า สีรุ้ง (Rainbow) คือ สีม่วง คราม น้ำเงิน เขียว เหลือง แสด แดง แสดงดังรูปที่ 2.5 และเมื่อแสงตกกระทบโมเลกุลของสสาร พลังงานบางส่วนจะดูดกลืนสีจาก แสงบางส่วน และสะท้อนสีบางสีให้ปรากฏเห็นได้ พื้นผิววัตถุที่เราเห็นเป็นสีแดง เพราะ วัตถุดูดกลืนแสงสี อื่นไว้ สะท้อนเฉพาะแสงสีแดงออกมา วัตถุสีขาวจะสะท้อนแสงสีทุกสี และวัตถุสีดำ จะดูดกลืนทุกสี



รูปที่ 2.5 แถบสีสเปกตรัม (Spectrum)

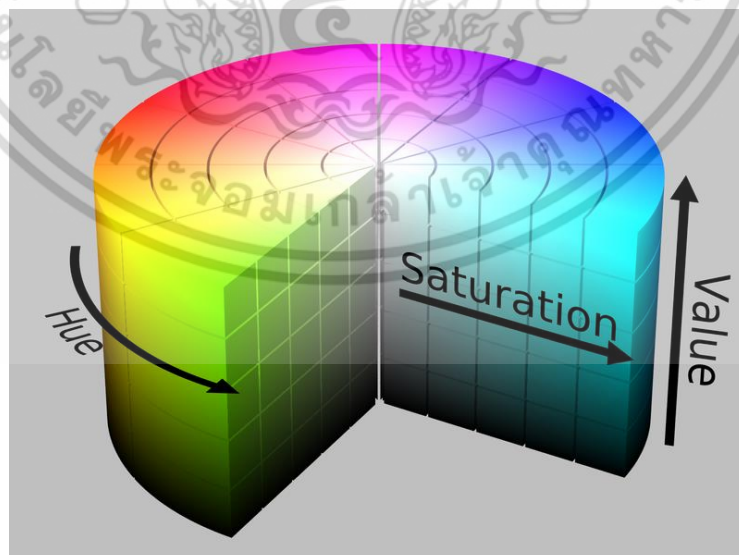
จากทฤษฎีการหักเหของแสงของ ของนิวตัน และจากสามเหลี่ยมสี CIE พบว่า แสงสีเป็นพลังงานเพียง ชนิดเดียวที่ปรากฏสี จากด้านทั้ง 3 ด้านของรูปสามเหลี่ยมสี CIE นักวิทยาศาสตร์ได้กำหนดแม่สีของแสงไว้ 3 สี คือ สีแดง (Red) สีเขียว (Green) และสีน้ำเงิน (Blue) [19]

ระบบสี RGB คือ ระบบแสงสีมีพื้นฐานจากหลักการของการมองเห็นแสงสีและการผสมของ แสงสีในอัตราส่วนต่างๆ เป็นระบบสีที่นิยมใช้กันทั่วไป โดยอาศัยหลักการการรวมแม่สีของแสงเข้า ด้วยกัน ได้แก่แสงสีแดง แสงสีเขีย และแสงสีเหลือง มีค่าตั้งแต่ 0 ถึง 225 เมื่อนำมาฉายรวมกัน จะทำให้เกิดสีใหม่อีก 3 สีคือ สีมาเจนต้า (Magenta) สีฟ้าไซแอน (Cyan) และสีเหลือง เมื่อนำ แสงสีทั้งหมดรวมกันจะได้แสงสีขาว ดังแสดงในรูปที่ 2.6

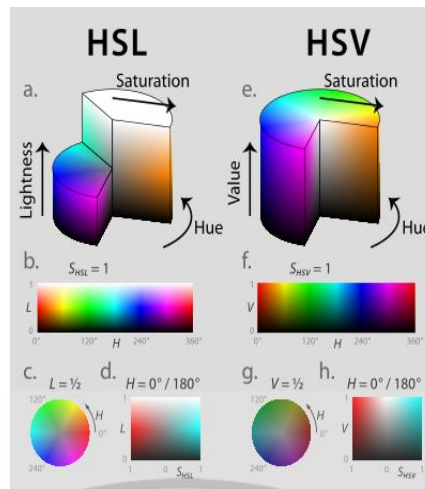


รูปที่ 2.6 ระบบสี RGB

ระบบสี HSV เป็นระบบสีที่อาศัยหลักการใช้ค่าของสี (Hue, H) ค่าความเข้มของเนื้อสีหรือค่าความบริสุทธิ์ของสี (Saturation, S) และ ค่าความสว่างของสี (Value, V) โดย Hue คือค่าสีหลัก เช่น สีแดง สีเขียว สีนํ้าเงิน มีค่าอยู่ระหว่าง 0 ถึง 255 ถ้าเกิด ค่าของสีมีค่าเท่ากับ 0 จะแทนให้เป็นสีแดง และเมื่อค่าของสีมีค่าเพิ่มขึ้นเรื่อย ๆ สีก็จะเปลี่ยนไป ตามความถี่สเปกตรัมของสีจนถึง 256 แล้วจะกลับมาเป็นสีแดงเช่นเดิมอีกครั้ง และสามารถแทน ให้อยู่ในรูปองศาได้คือ สีแดง มีค่าเท่ากับ 0 องศา สีเขียว มีค่าเท่ากับ 120 องศา และสีนํ้าเงิน มีค่าเท่ากับ 240 องศา สำหรับค่าความเข้มของเนื้อสีหรือค่าความเข้มของเนื้อสีเมื่อมีค่าเพิ่มขึ้น สีจะมีความเข้มมากขึ้นเรื่อยๆ และสุดท้ายค่าความสว่างของสีเมื่อมีค่าเพิ่มมากขึ้นภาพจะมีความสว่างเพิ่มขึ้น ค่าสีในระบบ HSV สามารถแสดงได้ดังรูป ที่ 2.7



เอกสารนี้เป็นเอกสารที่สงวนไว้สำหรับการใช้งานเพื่อการศึกษาเท่านั้น ไม่อนุญาตให้นำไปใช้ประโยชน์ด้านการค้า ไม่ว่ากรณีใดๆ ทั้งสิ้น อีกทั้งห้ามมิให้ดัดแปลงเนื้อหา และต้องอ้างอิงถึงเจ้าของเอกสารทุกครั้งที่มีการนำไปใช้



รูปที่ 2.7 ค่าสีในระบบ HSV

การแปลงระบบสี RGB เป็น HSV

เนื่องจากภาพที่นำมาใช้ในการประมวลผลนั้นเก็บค่าสีในระบบ RGB ซึ่งค่าสีที่อยู่ในระบบ RGB นั้นจะประกอบไปด้วยค่าสีค่าแสง และค่าความสว่างซึ่งจะมีความซับซ้อนใน การแยกแยะสีเนื่องจากมีค่าแสงและค่าความสว่างผสมอยู่ด้วยการแปลงระบบสีแบบ RGB ให้เป็นแบบ HSV เพื่อให้สามารถทำการแยกสีในกระบวนการทำเทรสต์โฮลด์ได้ดีกว่า โดยระบบสีแบบ RGB และ HSV สามารถแสดงความสัมพันธ์ได้ดังสมการ 2.3, 2.4 และ 2.5

R G B แทนค่าของสีในระบบ RGB มีค่าระหว่าง 0.0 – 1.0

H S V แทนค่าของสีในระบบ HSV

max = ค่าสูงสุดใน (R, G, B)

min = ค่าต่ำสุดใน (R, G, B)

$$v \leftarrow \{\max(R, G, B)\} \quad (2.3)$$

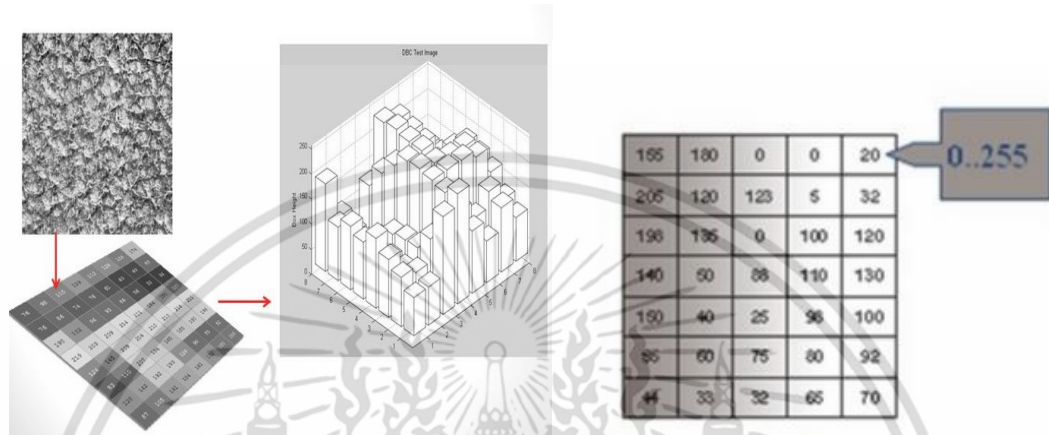
$$s \leftarrow \begin{cases} \frac{v - \min(R, G, B)}{v} & \text{if } v \neq 0 \\ 0 & \text{otherwise} \end{cases} \quad (2.4)$$

$$H \leftarrow \begin{cases} 60(G - B) / (v - \min(R, G, B)) & \text{if } v = R \\ 120 + 60(B - R) / (v - \min(R, G, B)) & \text{if } v = G \\ 240 + 60(R - G) / (v - \min(R, G, B)) & \text{if } v = B \end{cases} \quad (2.5)$$

เอกสารนี้เป็นเอกสารที่สงวนไว้สำหรับการใช้งานเพื่อการศึกษาเท่านั้น ไม่อนุญาตให้นำไปใช้ประโยชน์ด้านการค้า ไม่ว่าจะกรณีใดๆ ทั้งสิ้น อีกทั้งห้ามมิให้ดัดแปลงเนื้อหา และต้องอ้างอิงถึงเจ้าของเอกสารทุกครั้งที่มีการนำไปใช้

ภาพ gray scale

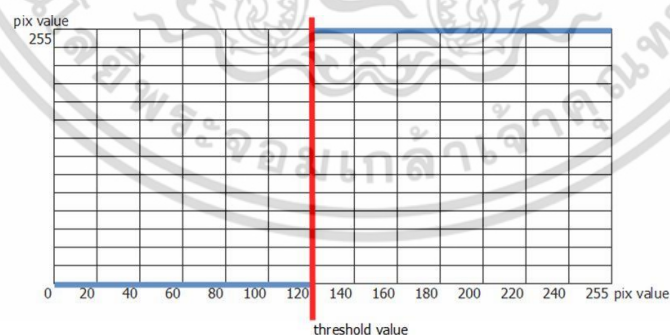
ภาพ gray scale หรือภาพระดับเฉดสีเทา คือความแตกต่างของระดับความเข้มแสง ในภาพนั้นๆ ซึ่งภาพ gray scale แบ่งระดับได้ทั้งหมด 256 ระดับ (0-255) ความเข้มหรือเป็นภาพ 8 บิตนั่นเอง โดยระดับสีขาวหรือสีขาวแทนด้วยเลข 255 และระดับสีมืดหรือสีดำแทนด้วยเลข 0 ส่วนค่าระหว่าง 0-255 ก็คือระดับเฉดของสีเทาดังรูปที่ 2.8



รูปที่ 2.8 ภาพ gray scale

Threshold (เทรลโฮล)

การเทรลโฮลเป็นกระบวนการแปลงภาพสีให้มีการแสดงผลได้แค่ 2 ระดับคือ ขาวและดำ โดยจะแปลงข้อมูลภาพให้เป็นภาพไบนารี (Binary image) มีกระบวนการแปลงภาพที่มีความเข้มหลายระดับเป็นภาพที่มีความเข้มเพียง 2 ระดับหรือ 1 บิต คือ 0 และ 1 ดังรูปที่ 2.9

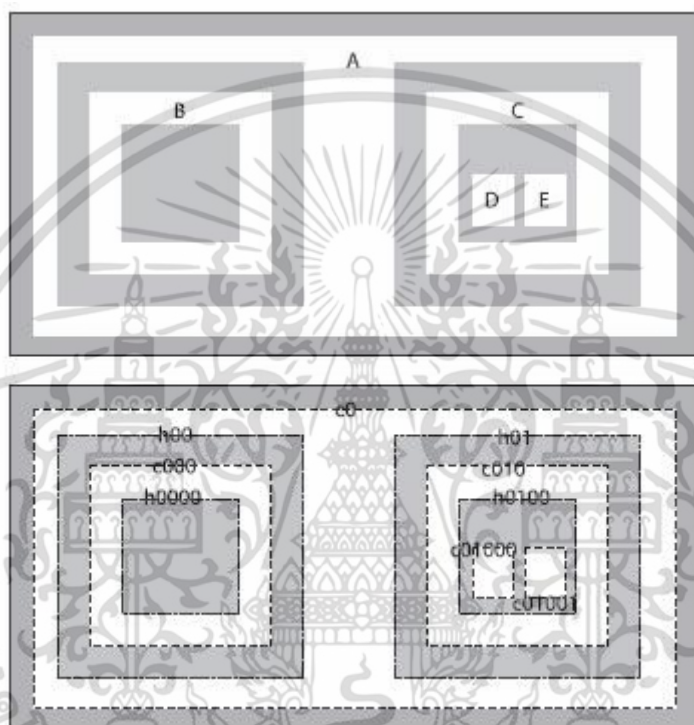


รูปที่ 2.9 Threshold image

เอกสารนี้เป็นเอกสารที่สงวนไว้สำหรับการใช้รูปที่ 2.9 Threshold image นี้ อนุญาตให้นำไปใช้ประโยชน์ด้านการค้าไม่ว่ากรณีใดๆ ทั้งสิ้น อีกทั้งห้ามมิให้ตัดแปลงเนื้อหา และต้องอ้างอิงถึงเจ้าของเอกสารทุกครั้งที่มีการนำไปใช้

Contour

contour คือ list ของจุดที่แทน curve ในรูปภาพ ในกรณีของ Contour ใน OpenCV จะเก็บไว้ใน sequence ในภาพที่ 2.10 เป็นภาพที่เราต้องการหา contour ซึ่งประกอบด้วยส่วน A-E ส่วนด้านล่างคือ contour ที่ OpenCV หามาได้ (โดยฟังก์ชัน FindContours) ซึ่งกำกับไว้ด้วยคำว่า cX หรือ hX โดย c หมายถึง contour, h หมายถึง hole ตัวที่เป็นเส้นประ เป็น exterior boundaries ของพื้นที่สีขาว (ที่ไม่ใช่ 0 ก็คือกรอบของพื้นที่ขาว) ตัวเส้นจุดนั้นเป็น interior boundaries ของพื้นที่สีขาว หรือ exterior boundary ของพื้นที่ดำ



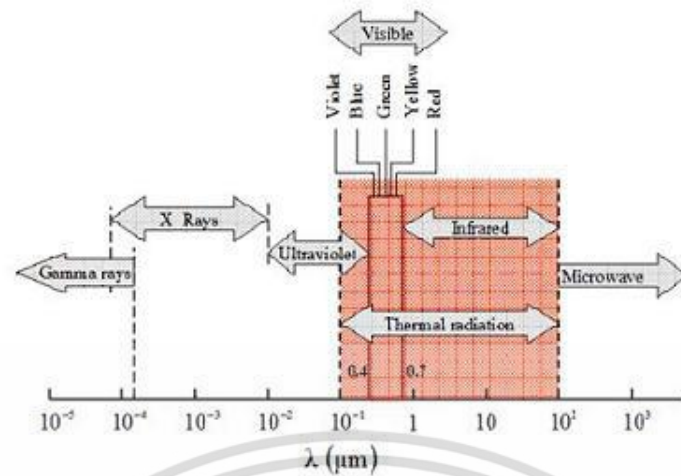
รูปที่ 2.10 Contour

2.4 การแผ่รังสีความร้อน

คลื่นรังสีอินฟราเรด (Infrared : IR) หรือคลื่นรังสีความร้อนนั้นเป็นคลื่นแม่เหล็กไฟฟ้าชนิดหนึ่งที่แผ่มาจากดวงอาทิตย์ โดยการทดลองวัดอุณหภูมิของแถบสีรุ้งจากปริซึมโดยใช้เทอร์โมมิเตอร์เลื่อนจากแถบสีม่วงไปยังสีแดง อุณหภูมิมีค่าเพิ่มขึ้นเรื่อยๆ และมีค่าสูงสุดที่แถบสีแดง ซึ่งขอบเขตดังกล่าวเรียกว่า “อินฟราเรด” ซึ่งผู้ค้นพบหลักการนี้คือนักวิทยาศาสตร์ชาวอังกฤษ Sir. William Herschel

วัตถุทุกชนิดที่มีอุณหภูมิสูงกว่าค่าศูนย์องศาสัมบูรณ์ (Absolute Zero หรือ -273.15°C หรือ 0 K) จะมีการแผ่รังสีความร้อนออกมา สำหรับกลไกของการแผ่รังสีความร้อนเกิดจากการสั่น (Oscillations) และการเคลื่อนที่ (Transition) ของอิเล็กตรอนซึ่งประกอบกันเป็นสสาร วัตถุที่มีอุณหภูมิสูงอิเล็กตรอนจะสั่นหรือเคลื่อนที่มาก ส่งผลให้พลังงานภายในวัตถุมีค่าสูง กล่าวได้ว่าพลังงานความร้อนที่แผ่ออกจากวัตถุมีความสัมพันธ์แปรผันตรงกับอุณหภูมิ และรังสีความร้อนที่แผ่ออกจากวัตถุอยู่ในช่วงความยาวคลื่นประมาณ 0.1 ไมโครเมตร ถึง 100 ไมโครเมตร [20] แสดงดังรูปที่ 2.11

เอกสารนี้เป็นเอกสารที่สงวนไว้สำหรับการใช้งานเพื่อการศึกษาเท่านั้น ไม่อนุญาตให้นำไปใช้ประโยชน์ด้านการค้า ไม่ว่ากรณีใดๆ ทั้งสิ้น อีกทั้งห้ามมิให้ดัดแปลงเนื้อหา และต้องอ้างอิงถึงเจ้าของเอกสารทุกครั้งที่มีการนำไปใช้



รูปที่ 2.11 สเปกตรัมการแผ่รังสีในย่านต่างๆ[21]

โดยความเข้มของการแผ่รังสีความร้อนออกจากวัตถุใด ๆ มีค่าสูงสุดที่มุม θ เท่ากับ 0 องศา แสดงดังรูปที่ 2.12 [12][22]

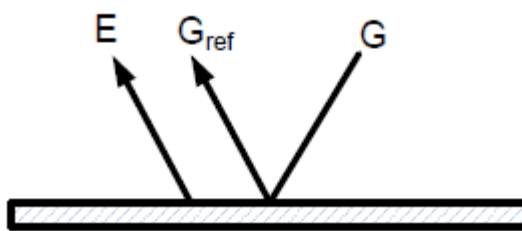


รูปที่ 2.12 การแผ่รังสีจากพื้นผิวแปรผันตามทิศทาง [12]

รังสีความร้อนทั้งหมดที่แผ่ออกจากพื้นผิววัตถุจริง (Radiosity, J) ประกอบด้วยรังสีที่เกิดจากวัตถุเอง (Emission, E) และรังสีจากสิ่งแวดล้อมโดยรอบหรือจากวัตถุอื่นมากระทบและสะท้อนออกจากวัตถุ ($G_{\lambda,ref}$) แสดงในรูปที่ 2.13 ดังนั้น Radiosity ที่ออกมาจากวัตถุตั้งสมการที่ 2.6

$$J = E + G_{\lambda,ref} \quad (2.6)$$

เอกสารนี้เป็นเอกสารที่สงวนไว้สำหรับการใช้งานเพื่อการศึกษาเท่านั้น ไม่อนุญาตให้นำไปใช้ประโยชน์ด้านการค้า ไม่ว่าจะกรณีใดๆ ทั้งสิ้น อีกทั้งห้ามมิให้ดัดแปลงเนื้อหา และต้องอ้างอิงถึงเจ้าของเอกสารทุกครั้งที่มีการนำไปใช้



รูปที่ 2.13 รังสีอินฟราเรดทั้งหมดที่แผ่ออกจากพื้นผิววัตถุจริง[12]

โดยภาพถ่ายความร้อนเป็นภาพที่ได้จากคลื่นแม่เหล็กไฟฟ้าในย่านอินฟราเรด (Infrared region) อยู่ในช่วงความยาวคลื่น 1-100 ไมโครเมตร โดยแบ่งย่านรังสีอินฟราเรดออกเป็น 5 ช่วงตามช่วงของความยาวคลื่นดังนี้ ช่วง NIR (Near-IR: 0.75-2.5 μm) ช่วงคลื่นสั้น (1.4-3 μm) ช่วงกลาง (3-8 μm) ช่วงคลื่นยาว (8-15 μm) และช่วงไกล (Extreme: 15-100 μm) โดยรังสีอินฟราเรดในช่วงคลื่นสั้นถึง ช่วงคลื่นยาว นิยมใช้วัดอุณหภูมิ หรือตรวจสอบการแผ่รังสีของวัตถุ[12]

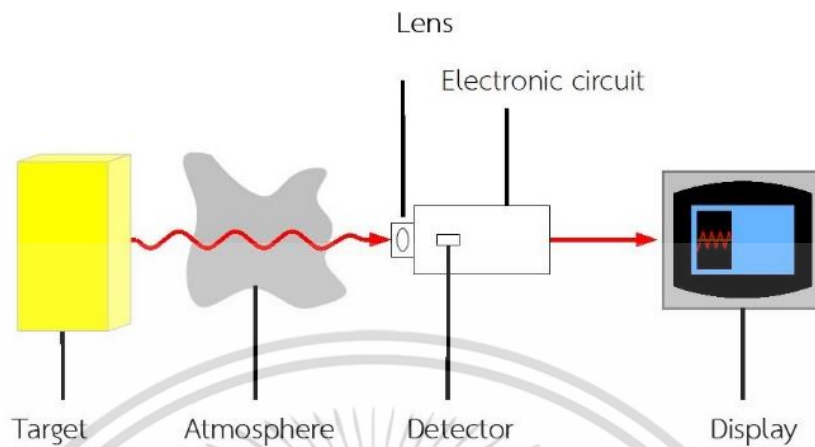
2.5 กล้องถ่ายภาพความร้อน (Thermal Camera)

กล้องถ่ายภาพความร้อน (thermal image camera หรือ thermal imager หรือ TI - camera) หรือกล้องถ่ายภาพอินฟราเรด หรือ กล้องอินฟราเรด (infrared thermography) เป็นเครื่องมือวัดอุณหภูมิที่ผิวของวัตถุ ทำงานโดยอาศัยหลักการแผ่รังสีอินฟราเรด (infrared radiation) ออกจากวัตถุซึ่งเป็นการวัดแบบไม่สัมผัสไม่ทำลายวัตถุและเป็นการวัดอุณหภูมิแบบพื้นที่ ส่วนประกอบที่สำคัญของกล้องถ่ายภาพความร้อน ประกอบด้วย เลนส์ (lens), ตัวตรวจจับรังสีอินฟราเรด (infrared detector) หรือเซนเซอร์ชนิดอินฟราเรด (Infrared sensor), วงจรอิเล็กทรอนิกส์ (Electronic circuit) และส่วนแสดงผล (display)

หลักการทำงานมีดังนี้ ตัวตรวจจับรังสีอินฟราเรด ทำหน้าที่รับรังสีอินฟราเรด (infrared) ที่แผ่ออกจากวัตถุเป้าหมาย (target) ผ่านเลนส์ของเครื่องมือวัด (instrument) แล้วแปลงรังสีอินฟราเรดเหล่านี้ให้อยู่ในรูปของสัญญาณทางไฟฟ้า โดยที่รังสีอินฟราเรดที่ตัวตรวจจับรับไปนั้น ประกอบด้วย รังสีที่วัตถุเป้าหมายแผ่ออกมารวมกับรังสีที่แผ่จากวัตถุอื่นหรือจากสิ่งแวดล้อมรอบๆ วัตถุเป้าหมาย (ตามทฤษฎีการแผ่รังสีความร้อน: Theory of thermal radiation) จากนั้นวงจรอิเล็กทรอนิกส์จะทำหน้าที่แปลงข้อมูลที่รับมาจากตัวตรวจจับ และนำไปแสดงที่ตัวแสดงผล ซึ่งอาจแสดงผลออกมาในรูปแบบของตัวเลข สี หรือกราฟ หรือทั้ง 3 รูปแบบ

กล้องถ่ายภาพความร้อนประกอบด้วยเซนเซอร์ชนิดอินฟราเรดหลายตัว แต่ละตัวแสดงผลออกมาในรูปแบบของสีที่แตกต่างกันตามอุณหภูมิของจุดนั้นๆ โดยทั่วไป สีแดงแสดงผลของบริเวณที่มีอุณหภูมิสูงและสีน้ำเงินแสดงผลของบริเวณที่มีอุณหภูมิต่ำ หรือโทนสีสว่างแสดงผลของบริเวณที่มีอุณหภูมิสูง และโทนสีมืดแสดงผลของบริเวณที่มีอุณหภูมิต่ำ ผลของแต่ละจุดที่ได้จากเซนเซอร์แต่ละตัว เมื่อนำมารวมกันประกอบขึ้นเป็นภาพ เรียกว่า “ภาพถ่ายความร้อน” (thermal image)

ซึ่งการแปลงรังสีอินฟราเรดที่เซนเซอร์ตรวจจับได้ให้อยู่ในหน่วยของอุณหภูมิ อาศัยกฎของ Planck (Planck's law) และกฎของ Stefan-Boltzmann (Stefan-Boltzmann's law)



รูปที่ 2.14 ระบบการวัดอุณหภูมิโดยอาศัยการแผ่รังสีอินฟราเรดของวัตถุ[12]

ความถูกต้อง (accuracy) ของอุณหภูมิที่วัดได้จากกล้องถ่ายภาพความร้อนขึ้นอยู่กับ

- 1) ชนิดและลักษณะพื้นผิวของวัตถุเป้าหมายหรือวัตถุที่ต้องการวัดอุณหภูมิ
- 2) ระยะห่างระหว่างเครื่องมือวัดและวัตถุเป้าหมาย โดยค่าความคลาดเคลื่อน (error) อาจ เกิดจากการเคลื่อนที่ของรังสีผ่านตัวกลาง เช่น อากาศที่มี ไอ ควั่น ก๊าซหรือฝุ่น ละอองกระจายอยู่ สิ่งต่างๆ เหล่านี้ดูดซับพลังงานบางส่วนจากรังสีก่อนถึงตัวเครื่องมือวัด ทำให้พลังงานที่เซนเซอร์ (sensor) ตรวจจับได้มีค่าลดลง ค่าที่วัดได้จึงคลาดเคลื่อน
- 3) พื้นที่การวัด หรือ ค่าขอบเขตการมองเห็นวัตถุ (field of view, FOV) ของกล้องถ่ายภาพ ความร้อน

ตัวอย่างการประยุกต์ใช้งานกล้องถ่ายภาพความร้อนในอุตสาหกรรมอาหาร ได้แก่

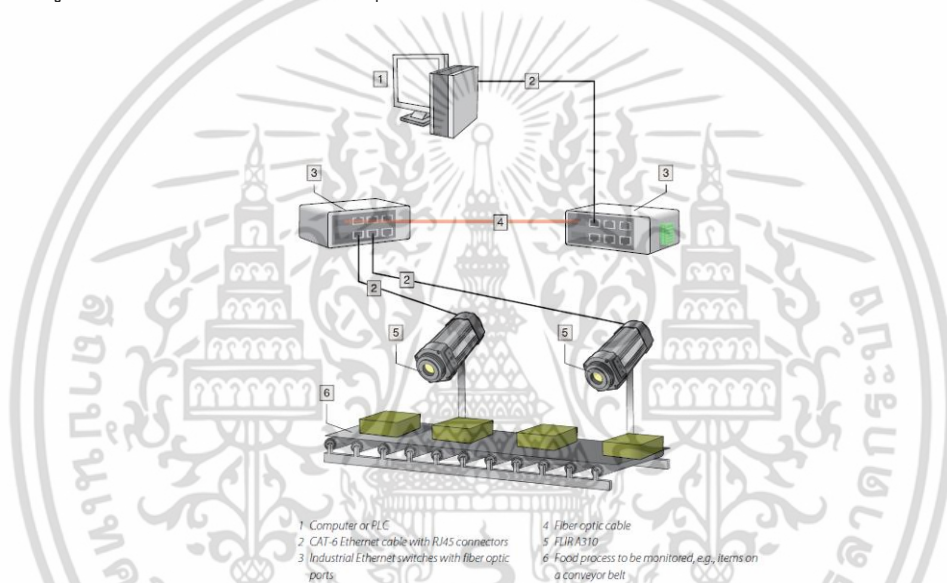
1. การตรวจสอบสภาพของฉนวนความร้อน เช่น ฉนวนห้องเย็น (cold storage) หรือห้องแช่แข็ง (freezer) ฉนวนหุ้มหม้อฆ่าเชื้อ (retort) และฉนวนหุ้มท่อไอน้ำด้วยกล้องถ่ายภาพความร้อน ซึ่งสามารถใช้ตรวจหาความผิดปกติได้อย่างรวดเร็ว โดยแสดงผลเป็นภาพถ่ายความร้อน ตัวอย่างการแปลผลการตรวจสอบสภาพฉนวนห้องเย็นด้วยกล้องถ่ายภาพความร้อน ได้แก่ การถ่ายภาพความร้อนจากภายนอกห้องเย็นแล้วปรากฏพื้นที่บางบริเวณของผนังมีอุณหภูมิต่ำกว่าผนังส่วนอื่น หรือการถ่ายภาพความร้อนภายในห้องเย็นแล้วปรากฏพื้นที่บางบริเวณมีอุณหภูมิสูง สามารถแปลผลได้ว่าอาจเกิดการเสื่อมสภาพของฉนวนที่บริเวณนั้น

2. การตรวจสอบการทำงานของมอเตอร์ ที่อยู่ในกระบวนการผลิตด้วยกล้องถ่ายภาพความร้อนเป็นการตรวจสอบแบบพื้นที่ โดยความผิดปกติที่เกิดขึ้นอาจแสดงในรูปของเฉดสีแดงปรากฏในภาพถ่ายความร้อน อย่างไรก็ตามการแปลผลที่ได้จากเครื่องมือวัดเพื่อประเมินความผิดปกติดังกล่าว ควรอาศัยข้อมูลอื่นเพิ่มเติมเพื่อประกอบการตัดสินใจ

เอกสารนี้เป็นเอกสารที่สงวนไว้สำหรับการใช้งานเพื่อการศึกษาเท่านั้น ไม่อนุญาตให้นำไปใช้ประโยชน์ด้านการค้า ไม่ว่าจะกรณีใดๆ ทั้งสิ้น อีกทั้งห้ามมิให้ดัดแปลงเนื้อหา และต้องอ้างอิงถึงเจ้าของเอกสารทุกครั้งที่มีการนำไปใช้

3. การวัดอุณหภูมิของผู้ปฏิบัติงานในสายการผลิตอาหารด้วยกล้องถ่ายภาพความร้อน ซึ่งเป็นการวัดแบบไม่สัมผัส ซึ่งในอุตสาหกรรมอาหารหากผู้ปฏิบัติงานมีการเจ็บป่วยโดยไม่แสดงอาการให้สังเกตเห็น สามารถใช้เครื่องมือวัดอุณหภูมิช่วยตรวจสอบได้ เพื่อป้องกันการแพร่กระจายเชื้อโรคจากคนไปสู่อาหาร โดยนิยมใช้เครื่องมือวัดอุณหภูมิชนิดใช้กล้องถ่ายภาพความร้อน หรือเทอร์โมมิเตอร์ชนิดอินฟราเรด (infrared thermometer) เนื่องจากสามารถวัดได้อย่างรวดเร็วโดยที่ผู้ตรวจไม่ต้องสัมผัสกับผู้ป่วย

4. การตรวจสอบคุณภาพของผลิตภัณฑ์ในกระบวนการแปรรูปโดยติดตั้งกล้องถ่ายภาพความร้อนที่บริเวณปลายสายพานลำเลียง (conveyor) เพื่อตรวจสอบอุณหภูมิของชิ้นอาหารหากพบว่ามีอุณหภูมิต่ำกว่าที่กำหนดไว้ ผู้ปฏิบัติงานสามารถนำชิ้นอาหารที่มีปัญหาออกได้ทันที หรือหากพบว่าคุณภาพผิดปกติอยู่ที่เครื่องจักรที่ใช้แปรรูป ผู้ปฏิบัติงานสามารถหยุดการปฏิบัติงานได้ทันทีเช่นกัน โดยไม่ต้องสูญเสียเวลาและสิ้นเปลืองวัตถุดิบ



รูปที่ 2.15 การประยุกต์ใช้งานกล้องถ่ายภาพความร้อนในอุตสาหกรรมอาหาร[26]



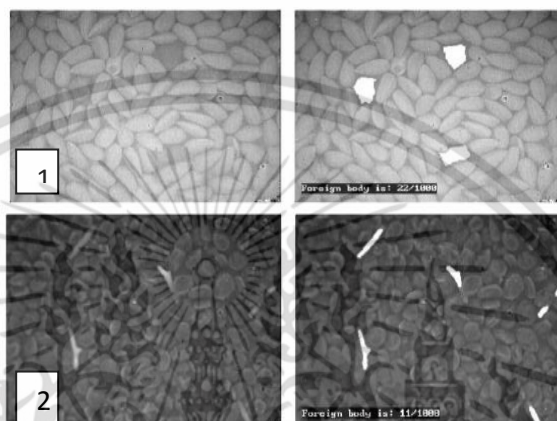
รูปที่ 2.16 การประยุกต์ใช้งานกล้องถ่ายภาพความร้อนในอุตสาหกรรม[27]

เอกสารนี้เป็นเอกสารที่สงวนไว้สำหรับการใช้งานเพื่อการศึกษาเท่านั้น ไม่อนุญาตให้นำไปใช้ประโยชน์ด้านการค้า ไม่ว่าจะกรณีใดๆ ทั้งสิ้น อีกทั้งห้ามมิให้ดัดแปลงเนื้อหา และต้องอ้างอิงถึงเจ้าของเอกสารทุกครั้งที่มีการนำไปใช้

2.7 งานวิจัยที่เกี่ยวข้อง

การตรวจจับสิ่งแปลกปลอมกับเมล็ดพืชด้วยวิธีการวิเคราะห์ภาพถ่ายทางความร้อน

Ginesu et al. [4] งานวิจัยนี้ใช้กล้องถ่ายภาพความร้อนตรวจสอบสิ่งแปลกปลอมที่ปะปนมากับเมล็ดอัลมอลต์ ลูกเกด และถั่วลิสง โดยอาศัยหลักการความแตกต่างของพลังงานที่กล้องได้รับระหว่างเมล็ดพืชกับสิ่งแปลกปลอม เนื่องจากสมบัติทางความร้อนของวัสดุมีค่าที่แตกต่างกัน ซึ่งสิ่งแปลกปลอมที่ใช้คือ กระดาษแข็ง หิน เปลือกไม้ และโลหะเล็กๆ



รูปที่ 2.17 ภาพถ่ายทางความร้อนของเมล็ดพืชและสิ่งแปลกปลอม (1) เมล็ดอัลมอลต์กับหิน (2) ลูกเกดกับไม้

Emekei et al. [23] ประยุกต์ใช้ภาพถ่ายทางความร้อนในการตรวจสอบแมลงในระยะการฟักตัว โดยอาศัยความแตกต่างของการกระจายอุณหภูมิที่ผิวของเมล็ดพืชที่มีแมลงอยู่กับอัตราการหายใจของแมลงในแต่ละช่วงระยะเวลาการเจริญเติบโต

Chandra et al. [24] ประยุกต์ใช้ภาพถ่ายทางความร้อนในการตรวจสอบแมลงที่ทำให้เมล็ดข้าวสาลีเกิดความเสียหายโดยอาศัยคลื่นสั้น เปรียบเทียบความแตกต่างของช่วงความยาวคลื่นและคุณสมบัติความแตกต่างของสี สามารถใช้ตรวจสอบแมลงได้แก่ ตัวงวงข้าว มอดข้าวเปลือก ตัวงท้องแบน มอดแป้ง

Chelladurai et al. [25] ประยุกต์ใช้ภาพถ่ายทางความร้อนในการตรวจสอบเชื้อราหลังการเก็บเกี่ยวโดยอาศัยความแตกต่างของอุณหภูมิระหว่างข้าวสาลีที่มีคุณภาพดีกับข้าวสาลีที่เกิดการติดเชื้อภาพถ่ายทางความร้อนสามารถใช้ในการตรวจสอบเชื้อราได้หลายชนิดและระบุเชื้อได้ชัดเจนมากยิ่งขึ้น เช่น *Aspergillus glaucus* และ *Penicillium spp.*

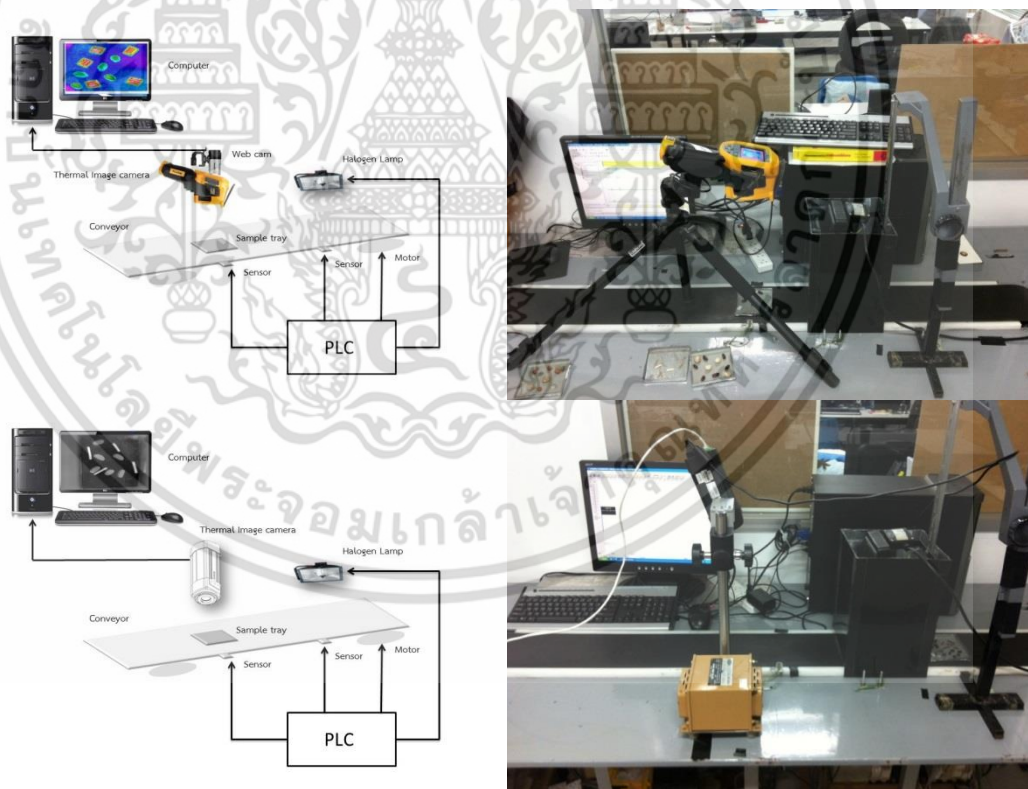
บทที่ 3 การออกแบบและวิธีดำเนินการวิจัย

ในบทนี้กล่าวถึงขั้นตอนการศึกษาวิจัยและการออกแบบชุดกำเนิดความร้อนพร้อมระบบควบคุม และชุดการวิเคราะห์ภาพ เนื้อหาประกอบด้วย ชุดอุปกรณ์และตัวอย่างที่ใช้ในการทดลองทดลองของระบบการตรวจจับสิ่งแปลกปลอมในเมล็ดพืช

3.1 ชุดอุปกรณ์และตัวอย่างที่ใช้ในการทดลอง

3.1.1 ชุดอุปกรณ์

ชุดการทดลองของระบบการตรวจจับสิ่งแปลกปลอมในเมล็ดพืชประกอบไปด้วย ส่วนประกอบหลัก 2 ส่วน คือ ชุดกำเนิดความร้อนพร้อมระบบควบคุม และชุดการวิเคราะห์ภาพ แสดงดังรูปที่ 3.1



รูปที่ 3.1 ระบบการทดลองของระบบการตรวจจับสิ่งแปลกปลอมในเมล็ดพืช

เอกสารนี้เป็นเอกสารที่สงวนไว้สำหรับการใช้งานเพื่อการศึกษาเท่านั้น ไม่อนุญาตให้นำไปใช้ประโยชน์ด้านการค้า ไม่ว่าจะกรณีใดๆ ทั้งสิ้น อีกทั้งห้ามมิให้ดัดแปลงเนื้อหา และต้องอ้างอิงถึงเจ้าของเอกสารทุกครั้งที่มีการนำไปใช้

3.1.1.1 ชุดกำเนิดความร้อนพร้อมระบบควบคุม

ชุดกำเนิดความร้อนพร้อมระบบควบคุมประกอบไปด้วยสายพานลำเลียง (รูปที่ 3.2) กลุ่มตัวอย่างที่นำมาวิเคราะห์เคลื่อนที่โดยมอเตอร์ยี่ห้อ nissei รุ่น GLM-18 220V 60Hz (รูปที่ 3.3) ที่ควบคุมการทำงานด้วยเครื่องควบคุมแบบตรรกะที่โปรแกรมได้ (Programable logic Controller; PLC) ยี่ห้อ Omron รุ่น C200HX (รูปที่ 3.4) ซึ่งมีสัญญาณขาเข้า (Input) คือ เซนเซอร์แสง ยี่ห้อ Omron รุ่น E3X-DA11 (รูปที่ 3.5) และสัญญาณขาออก คือ หลอดไฟ halogen 50-60 Hz 100W 200-240 VAC ที่ใช้เป็นแหล่งให้ความร้อนกับตัวอย่าง (รูปที่ 3.6)



รูปที่ 3.2 สายพานลำเลียง



รูปที่ 3.3 มอเตอร์ รุ่น GLM-18



รูปที่ 3.4 พีแอลซี (PLC) Omron รุ่น C200HX

เอกสารนี้เป็นเอกสารที่สงวนไว้สำหรับการใช้งานเพื่อการศึกษาเท่านั้น ไม่อนุญาตให้นำไปใช้ประโยชน์ด้านการค้า ไม่ว่าจะกรณีใดๆ ทั้งสิ้น อีกทั้งห้ามมิให้ดัดแปลงเนื้อหา และต้องอ้างอิงถึงเจ้าของเอกสารทุกครั้งที่มีการนำไปใช้



รูปที่ 3.5 เซนเซอร์แสง รุ่น E3X-DA11



รูปที่ 3.6 หลอดไฟ halogen 50-60 Hz 100W

3.1.1.2 ชุดการวิเคราะห์ภาพ

ในการทดลองได้ทำการทดลองออกเป็น 2 ส่วนหลัก ๆ คือ การทดลองโดยระบบภาพสีและการทดลองโดยระบบภาพแบบ gray scale

การทดลองและวิเคราะห์ภาพโดยใช้ระบบภาพสีเมื่อตัวอย่างได้รับความร้อนจากระบบให้ความร้อนแล้ว จากนั้นใช้กล้องถ่ายภาพความร้อน Fluke รุ่น TI 400 (รูปที่ 3.7) ซึ่งมีความละเอียด 320 x 240 พิกเซล รับรังสีอินฟราเรดในช่วงความยาวคลื่น 7.5-14 μm ช่วงการวัดอุณหภูมิ -20°C ถึง $1,200^{\circ}\text{C}$ ความไวต่ออุณหภูมิ (Thermal sensitivity) เท่ากับ 0.05 K ค่า FOV เท่ากับ $24^{\circ}\text{H} \times 17^{\circ}\text{V}$ ค่า IFOV เท่ากับ 1.31 mRad และความถูกต้องของการวัดเท่ากับ $\pm 2^{\circ}\text{C}$ ทำการถ่ายภาพวัตถุตัวอย่าง ซึ่งภาพที่ได้จากกล้องถ่ายภาพความร้อนจะมีลักษณะภาพที่เป็นเฉดสีต่างๆ จากนั้นนำกล้องเว็บแคม (รูปที่ 3.8) รับภาพจากกล้องถ่ายภาพความร้อนเพื่อนำภาพที่ได้ไปประมวลผลโดยโปรแกรมที่พัฒนาขึ้น

เอกสารนี้เป็นเอกสารที่สงวนไว้สำหรับการใช้งานเพื่อการศึกษาเท่านั้น ไม่อนุญาตให้นำไปใช้ประโยชน์ด้านการค้าไม่ว่ากรณีใดๆ ทั้งสิ้น อีกทั้งห้ามมิให้ดัดแปลงเนื้อหา และต้องอ้างอิงถึงเจ้าของเอกสารทุกครั้งที่มีการนำไปใช้



รูปที่ 3.7 กล้องถ่ายภาพความร้อน (Thermal Camera) Fluke รุ่น TI 400



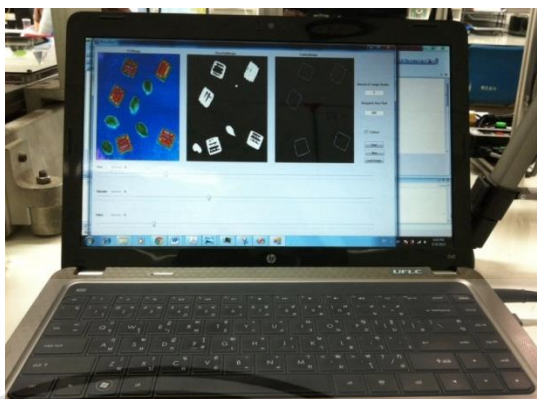
รูปที่ 3.8 กล้องเว็บแคม (Webcam Camera)

การทดลองและวิเคราะห์ภาพโดยใช้ระบบภาพแบบ gray scale เมื่อตัวอย่างได้รับความร้อนจากระบบให้ความร้อนแล้ว จากนั้นทำการรับภาพตัวอย่างที่ได้โดยใช้กล้องถ่ายภาพความร้อน FLIR รุ่น A315 (รูปที่ 3.9) ซึ่งมีความละเอียด 16-bit 320 x 240 พิกเซล 60 Hz รับรังสีอินฟราเรดในช่วงความยาวคลื่น 7.5-13 μm ช่วงการวัดอุณหภูมิ -20°C ถึง 120°C ความไวต่ออุณหภูมิ (Thermal sensitivity) น้อยกว่า 0.05°C ค่า FOV เท่ากับ $25^{\circ}\text{H} \times 18.8^{\circ}\text{V}$ ค่า IFOV เท่ากับ 1.36 mRad และความถูกต้องของการวัดเท่ากับ $\pm 2^{\circ}\text{C}$ เชื่อมต่อผ่านพอร์ต RJ-45 (IEEE 802.3) Gigabit Ethernet ไปยังคอมพิวเตอร์ (รูปที่ 3.10) เพื่อประมวลผลภาพที่ได้ด้วยโปรแกรมที่พัฒนาขึ้นด้วยซอฟต์แวร์ Microsoft Visual Studio C#



รูปที่ 3.9 กล้องถ่ายภาพความร้อน (Thermal Camera) FLIR รุ่น A315

เอกสารนี้เป็นเอกสารที่สงวนไว้สำหรับการใช้งานเพื่อการศึกษาเท่านั้น ไม่อนุญาตให้นำไปใช้ประโยชน์ด้านการค้าไม่ว่ากรณีใดๆ ทั้งสิ้น อีกทั้งห้ามมิให้ดัดแปลงเนื้อหา และต้องอ้างอิงถึงเจ้าของเอกสารทุกครั้งที่มีการนำไปใช้



รูปที่ 3.10 คอมพิวเตอร์ประมวลผล (Computer System) ด้วยซอฟต์แวร์ Microsoft Visual Studio C#

3.1.2 ตัวอย่างและสิ่งแปลกปลอมที่ใช้ในการทดลอง (Sample and Foreign Bodies)

ในการทดลองได้ทำการทดลองโดยใช้เมล็ดพืช 2 ชนิด คือ ถั่วแดง และถั่วลิสง ยี่ห้อ tops และกำหนดสิ่งแปลกปลอมขึ้นมา 3 ชนิด ได้แก่ พลาสติก ไม้ และหิน (รูปที่ 3.11-3.15)



รูปที่ 3.11 ถั่วแดง



รูปที่ 3.12 ถั่วลิสง

เอกสารนี้เป็นเอกสารที่สงวนไว้สำหรับการใช้งานเพื่อการศึกษาเท่านั้น ไม่อนุญาตให้นำไปใช้ประโยชน์ด้านการค้า ไม่ว่าจะกรณีใดๆ ทั้งสิ้น อีกทั้งห้ามมิให้ดัดแปลงเนื้อหา และต้องอ้างอิงถึงเจ้าของเอกสารทุกครั้งที่มีการนำไปใช้



รูปที่ 3.13 พลาสติก



รูปที่ 3.14 ไม้

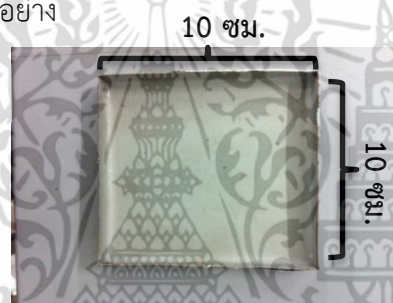


รูปที่ 3.15 หิน

เอกสารนี้เป็นเอกสารที่สงวนไว้สำหรับการใช้งานเพื่อการศึกษาเท่านั้น ไม่อนุญาตให้นำไปใช้ประโยชน์ด้านการค้า
ไม่ว่ากรณีใดๆ ทั้งสิ้น อีกทั้งห้ามมิให้ดัดแปลงเนื้อหา และต้องอ้างอิงถึงเจ้าของเอกสารทุกครั้งที่มีการนำไปใช้

3.2 การทำงานของระบบการตรวจจับสิ่งแปลกปลอมที่ปะปนในเมล็ดพืชด้วยเทคนิค แอคทีฟเทอร์โมกราฟี

ในการทดลองได้นำตัวอย่างเมล็ดพืชมาทั้งหมด 2 ชนิด คือ ถั่วแดงและถั่วลิสง และสิ่งแปลกปลอมกำหนดขึ้นมา 3 ชนิด คือ ไม้ หิน และพลาสติก โดยในการทดลองกำหนดให้กลุ่มตัวอย่างเมล็ดพืชและสิ่งแปลกปลอมที่ปะปนกันวางอยู่ในภาดทดลองขนาด 10x10 ซม. (รูปที่ 3.16) วางบนสายพานซึ่งเคลื่อนที่ด้วยมอเตอร์ที่ถูควบคุมจาก PLC ภาดทดลองเคลื่อนบนสายพานจนกระทั่งเซนเซอร์ตัวที่ 1 ซึ่งเป็นตำแหน่งของแหล่งกำเนิดแสงความร้อน (halogen lamp) ตรวจจับได้จากนั้นสายพานหยุดเพื่อให้ความร้อน 5 วินาที (การทดลองแบบระบบสี) และ 10 วินาที (การทดลองแบบ gray scale) ภาดกลุ่มตัวอย่างเคลื่อนที่จากตำแหน่งเซนเซอร์ตัวที่ 1 ไปยังเซนเซอร์ตัวที่ 2 ซึ่งเป็นตำแหน่งติดตั้งกล้องถ่ายภาพความร้อน โดยใช้เวลา 3 วินาที ซึ่งเป็นช่วงเย็นตัวลง (cooling) ของกลุ่มตัวอย่าง เมื่อเซนเซอร์ตัวที่ 2 ตรวจจับได้ สายพานจะหยุด 1 วินาที เพื่อให้กล้องถ่ายภาพความร้อนทำการจับภาพกลุ่มตัวอย่าง



รูปที่ 3.16 ภาดทดลองขนาด 10x10 ซม.

การทดลองแบบระบบสี กลุ่มตัวอย่างที่ตรวจจับได้จะมีสีที่แตกต่างกัน เนื่องจากคุณสมบัติการแผ่รังสีความร้อนที่แตกต่างกันของวัตถุ และใช้กล้อง webcam จับภาพที่ได้จากกล้องถ่ายภาพความร้อน รุ่น Fluke Ti400 เพื่อนำมาทำการวิเคราะห์หาจำนวนของสิ่งแปลกปลอมที่ปะปนมาในเมล็ดพืชด้วยซอฟต์แวร์ Microsoft Visual Studio โดยใช้ภาษา C# (Emgu CV Library) ซึ่งอัลกอริทึมจะมีการตรวจจับสิ่งแปลกปลอมที่ปะปนในเมล็ดพืชด้วยเทคนิคแอคทีฟเทอร์โมกราฟี แสดงดังรูปที่ 3.17

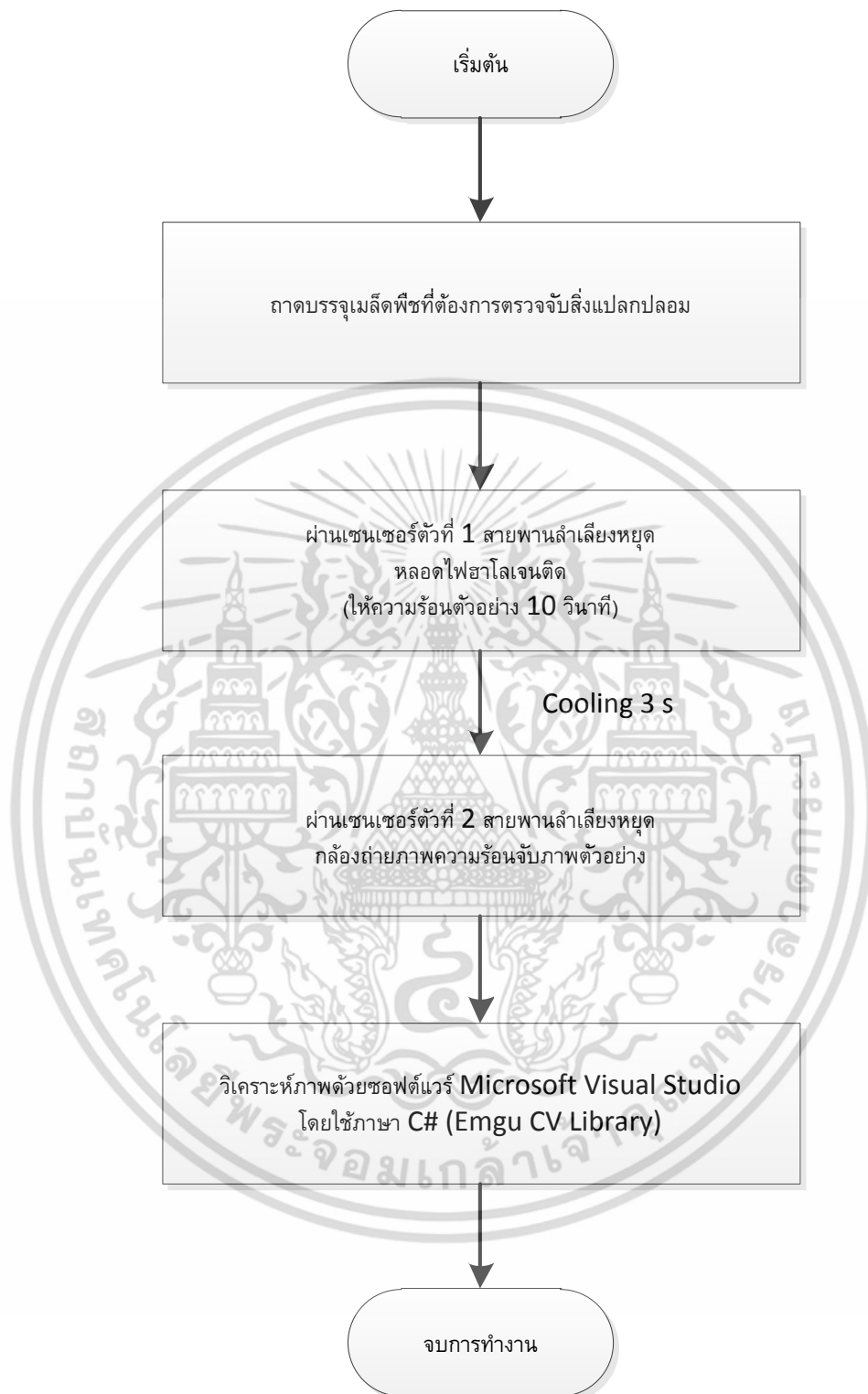
การทดลองแบบ gray scale กลุ่มตัวอย่างที่ตรวจจับได้จะมีระดับความเข้มของสีเทาแตกต่างกัน เนื่องจากคุณสมบัติการแผ่รังสีความร้อนที่แตกต่างกันของวัตถุ และใช้กล้องถ่ายภาพความร้อน รุ่น FLIR A315 จับภาพที่ได้เพื่อนำมาทำการวิเคราะห์หาจำนวนของสิ่งแปลกปลอมที่ปะปนมาในเมล็ดพืชด้วยซอฟต์แวร์ Microsoft Visual Studio โดยใช้ภาษา C# (Emgu CV Library) ซึ่งอัลกอริทึมจะมีการตรวจจับสิ่งแปลกปลอมที่ปะปนในเมล็ดพืชด้วยเทคนิคแอคทีฟเทอร์โมกราฟี แสดงดังรูปที่ 3.18

การทดลองหาประสิทธิภาพเครื่องมือวัด นำแนวทางการทดลองแบบ gray scale มาทำการทดลองเพื่อตรวจสอบประสิทธิภาพของระบบการทดลองและอัลกอริทึมของโปรแกรมที่พัฒนาขึ้น เอกสารนี้เป็นเอกสารลิขสิทธิ์สงวนไว้สำหรับการใช้งานเพื่อการศึกษาเท่านั้น เมื่อผู้ใดได้เห็นว่าเอกสารนี้มีการค้าไม่ว่ากรณีใดๆ ทั้งสิ้น อีกทั้งห้ามมิให้ดัดแปลงเนื้อหา และต้องอ้างอิงถึงเจ้าของเอกสารทุกครั้งที่มีการนำไปใช้



รูปที่ 3.17 การทำงานของระบบการตรวจจับสิ่งแปลกปลอมที่ปะปนในแม่ลีดพีชด้วยเทคนิค
แอกทีฟเทอร์โมกราฟี (การทดลองแบบระบบสี)

เอกสารนี้เป็นเอกสารที่สงวนไว้สำหรับการใช้งานเพื่อการศึกษาเท่านั้น ไม่อนุญาตให้นำไปใช้ประโยชน์ด้านการค้า
ไม่ว่ากรณีใดๆ ทั้งสิ้น อีกทั้งห้ามมิให้ดัดแปลงเนื้อหา และต้องอ้างอิงถึงเจ้าของเอกสารทุกครั้งที่มีการนำไปใช้



รูปที่ 3.18 การทำงานของระบบการตรวจจับสิ่งแปลกปลอมที่ปะปนในแม่เหล็กพีซีด้วยเทคนิคแอดทีฟเทอร์โมกราฟี (การทดลองแบบ gray scale)

เอกสารนี้เป็นเอกสารที่สงวนไว้สำหรับการใช้งานเพื่อการศึกษาเท่านั้น ไม่อนุญาตให้นำไปใช้ประโยชน์ด้านการค้าไม่ว่ากรณีใดๆ ทั้งสิ้น อีกทั้งห้ามมิให้ดัดแปลงเนื้อหา และต้องอ้างอิงถึงเจ้าของเอกสารทุกครั้งที่มีการนำไปใช้

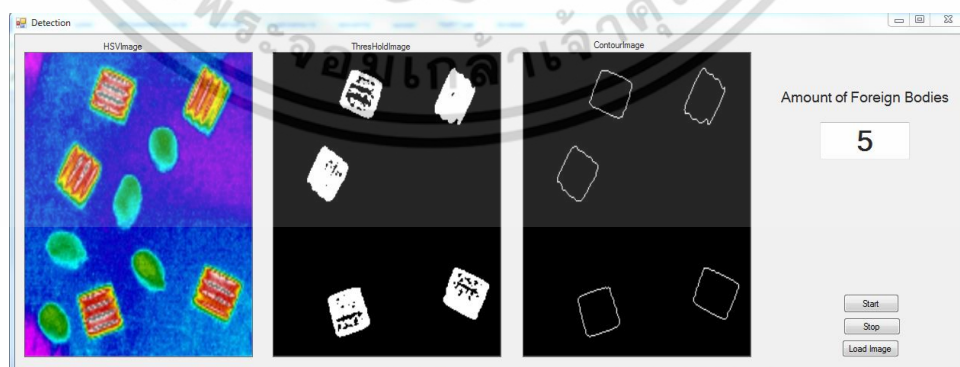
3.3 โปรแกรมการตรวจจับสิ่งแปลกปลอมที่ปะปนมากับเมล็ดพืชด้วยซอฟต์แวร์ Microsoft Visual Studio โดยใช้ภาษา C# (Emgu CV Library)

3.3.1 การวิเคราะห์ภาพถ่ายความร้อนแบบระบบสี

การทดลองโปรแกรมการตรวจจับสิ่งแปลกปลอมที่ปะปนมากับเมล็ดพืชด้วยซอฟต์แวร์ Microsoft Visual Studio โดยใช้ภาษา C# (Emgu CV Library) ด้วยภาพถ่ายทางความร้อน โดยการนำเมล็ดพืชมา 2 ชนิด คือ ถั่วแดงและถั่วลิสง และสิ่งแปลกปลอมกำหนดมา 3 ชนิด คือ ไม้ หิน และพลาสติก ใส่ในภาตทดลอง 10 เมล็ด เทียบเป็น 100 % โดยที่จะปรับอัตราส่วนการทดลองของเมล็ดพืชและสิ่งแปลกปลอมดังนี้ 10:0, 9:1, 8:2, 7:3, 6:4, 5:5 และ 0:10 แสดงตัวอย่างดังรูปที่ 3.19 และทำการวิเคราะห์ผ่านระบบการตรวจจับสิ่งแปลกปลอม โดยที่ซอฟต์แวร์จะรับภาพจากกล้องเว็บแคมที่ได้จากกล้องถ่ายภาพความร้อน ทำการเปลี่ยนระบบสีจาก RGB เป็น HSV ซึ่งภาพที่ได้จะมีโทนสีทั้งหมด 2 เฉดสี คือ โทนสีเย็นคือสีฟ้า และโทนสีร้อนคือสีแดง จากนั้นจะทำการเทรชโฮล (Threshold) เฉพาะสีแดงซึ่งเป็นสีของสิ่งแปลกปลอมเมื่อได้รับความร้อนและผ่านการเย็นตัวลง จากนั้นซอฟต์แวร์จะทำการวาดเส้นขอบ (Contour) ให้กับวัตถุที่เทรชโฮลออกมาได้ เพื่อให้ซอฟต์แวร์ทำการวิเคราะห์นับจำนวนของสิ่งแปลกปลอม แสดงดังรูปที่ 3.20



รูปที่ 3.19 ตัวอย่างเมล็ดพืชและสิ่งแปลกปลอมในภาตใส่ตัวอย่าง

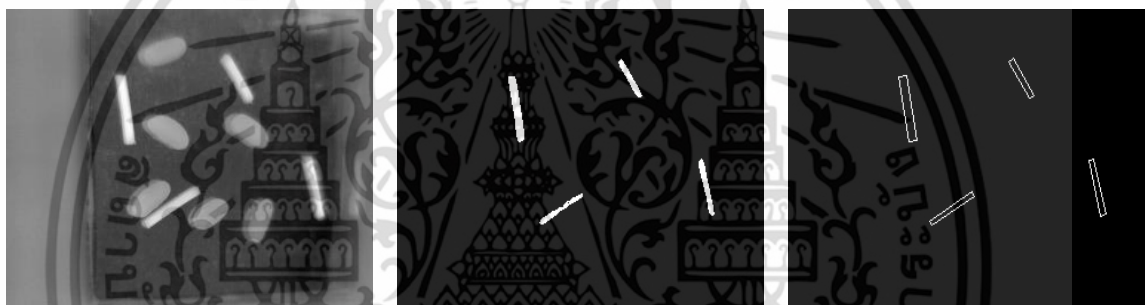


รูปที่ 3.20 หน้าต่างโปรแกรมที่ใช้ในการทดลอง

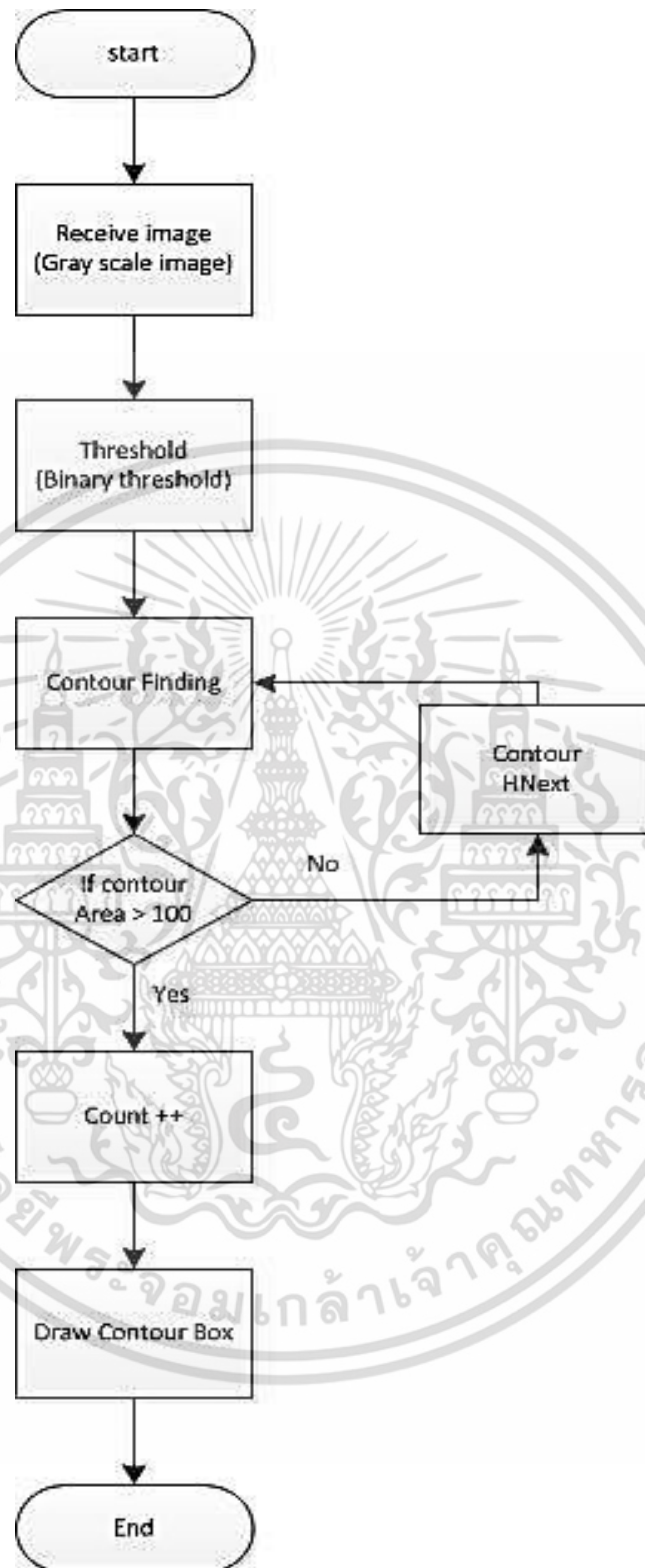
เอกสารนี้เป็นเอกสารที่สงวนไว้สำหรับการใช้งานเพื่อการศึกษาเท่านั้น ไม่อนุญาตให้นำไปใช้ประโยชน์ด้านการค้า ไม่ว่าจะกรณีใดๆ ทั้งสิ้น อีกทั้งห้ามมิให้ดัดแปลงเนื้อหา และต้องอ้างอิงถึงเจ้าของเอกสารทุกครั้งที่มีการนำไปใช้

3.3.2 การวิเคราะห์ภาพถ่ายความร้อนแบบ Gray scale

การทดลองโปรแกรมการตรวจจับสิ่งแปลกปลอมที่ปะปนมากับเมล็ดพืชด้วยซอฟต์แวร์ Microsoft Visual Studio โดยใช้ภาษา C# (Emgu CV Library) ด้วยภาพถ่ายทางความร้อน โดยการนำเมล็ดพืชมา 2 ชนิด คือ ถั่วแดงและถั่วลิสง และสิ่งแปลกปลอมกำหนดมา 3 ชนิด คือ ไม้ หิน และพลาสติก ใส่ในภาตทดลอง 10 เมล็ด เทียบเป็น 100 % โดยที่จะปรับอัตราส่วนการทดลองของเมล็ดพืชและสิ่งแปลกปลอมดังนี้ 10:0, 9:1, 8:2, 7:3, 6:4, 5:5 และ 0:10 และทำการวิเคราะห์ผ่านระบบการตรวจจับสิ่งแปลกปลอม โดยที่ซอฟต์แวร์จะรับภาพจากกล้องถ่ายภาพความร้อน ที่เป็นภาพแบบ gray scale โดยที่ภาพจะแบ่งออกเป็น 256 ระดับ (0-255) จากนั้นอัลกอริทึมซอฟต์แวร์จะทำการเทรชโฮล (Threshold) และเมื่อได้ภาพเทรชโฮลที่เป็นภาพแบบไบนารีแล้วอัลกอริทึมซอฟต์แวร์จะทำการวาดเส้นขอบ (Contour) ให้กับวัตถุที่เทรชโฮลออกมาได้ เพื่อให้ซอฟต์แวร์ทำการวิเคราะห์และนับจำนวนของสิ่งแปลกปลอม แสดงดังรูปที่ 3.21



รูปที่ 3.21 ภาพถ่ายความร้อนแบบ gray scale, threshold image, contour image



รูปที่ 3.22 อัลกอริทึมซอฟต์แวร์การตรวจจับสิ่งแปลกปลอมในเมล็ดพืชด้วยเทคนิคแอดทีฟเทอร์โมกราฟฟี

เอกสารนี้เป็นเอกสารที่สงวนไว้สำหรับการใช้งานเพื่อการศึกษาเท่านั้น ไม่อนุญาตให้นำไปใช้ประโยชน์ด้านการค้า ไม่ว่าจะกรณีใดๆ ทั้งสิ้น อีกทั้งห้ามมิให้ดัดแปลงเนื้อหา และต้องอ้างอิงถึงเจ้าของเอกสารทุกครั้งที่มีการนำไปใช้

3.3.3 การวิเคราะห์ภาพถ่ายความร้อนแบบ Gray scale เพื่อหาประสิทธิภาพเครื่องมือวัด

นำการทดลองส่วนที่ 2 มาทำการทดลองเพื่อทำการตรวจสอบประสิทธิภาพของระบบการทดลองและอัลกอริทึมของโปรแกรมที่พัฒนาขึ้น ซึ่งได้ทำการเลือกถั่วแดงกับสิ่งแปลกปลอมคือไม้มาทำการทดลอง ทำการทดลองโดยการใส่เมล็ดถั่วแดงกระจายทั่วทั้งภาดการทดลองเพื่อเทียบปริมาณเป็น 100% และทำการใส่สิ่งแปลกปลอมเข้าไป 1 ชิ้นเทียบเป็น 1% โดยได้ทำการทดลองซ้ำ 100 ครั้ง จากนั้นทำการเพิ่มสิ่งแปลกปลอมเป็น 2 ,3 ,4 และ 5 ตามลำดับ ตัวอย่างที่ใช้ในการทดลองแสดงดังรูปที่ 3.23



รูปที่ 3.23 ตัวอย่างที่ใช้ในการทดลองถั่วแดงกับไม้

บทที่ 4

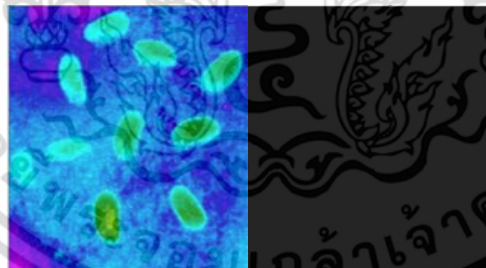
ผลการทดลองและวิจารณ์

4.1 การตรวจสอบสิ่งแปลกปลอมโดยใช้ภาพสี

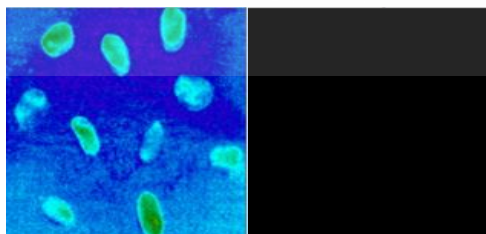
จากการทดลองการตรวจจับสิ่งแปลกปลอมที่ปะปนมากับเมล็ดพืชโดยใช้ระบบภาพสี ได้ทำการรับภาพต้นฉบับเข้ามาเป็นภาพถ่ายความร้อนตามเฉดสีของระบบสี RGB เช่นภาพโทนสีร้อนจะให้ภาพเป็นเฉดสีแดงและภาพโทนสีเย็นจะให้ภาพเป็นสีน้ำเงิน จากการทดลองพบว่าภาพที่ได้เมล็ดพืชจะมีเฉดสีโทนเย็นและสิ่งแปลกปลอมมีเฉดสีโทนร้อนเนื่องจากค่าความจุความร้อนจำเพาะของเมล็ดพืชมีค่ามากแต่เนื่องจากมีมวลมากกว่าสิ่งแปลกปลอมจึงทำให้ภาพความร้อนที่ได้มีเฉดสีโทนเย็นและเห็นสิ่งแปลกปลอมเป็นเฉดสีโทนร้อน จึงสามารถนำความแตกต่างของเฉดสีมาแยกสิ่งแปลกปลอมออกจากเมล็ดพืชได้ โดยทำการทดลองทั้งหมด 3 กลุ่มได้แก่ กลุ่มเมล็ดพืช กลุ่มสิ่งแปลกปลอม และกลุ่มสิ่งแปลกปลอมปะปนกับเมล็ดพืช

4.1.1 กลุ่มเมล็ดพืช

จากการประมวลผลภาพถ่ายทางความร้อนของเมล็ดพืช ได้แก่ ถั่วแดง และถั่วลิสง เมื่อไม่มีสิ่งแปลกปลอมปะปนมาแสดงดังรูปที่ 4.1 โดยภาพทางด้านซ้ายคือภาพถ่ายทางความร้อนและด้านขวาคือภาพที่ได้จากการเทรสโฮล จากรูปแสดงให้เห็นว่าโปรแกรมไม่สามารถนับจำนวนของสิ่งแปลกปลอมได้ เนื่องจากภาพที่ได้ไม่มีเฉดสีแดงซึ่งเป็นสีของสิ่งแปลกปลอม โปรแกรมจึงไม่สามารถเทรสโฮลได้



(1)



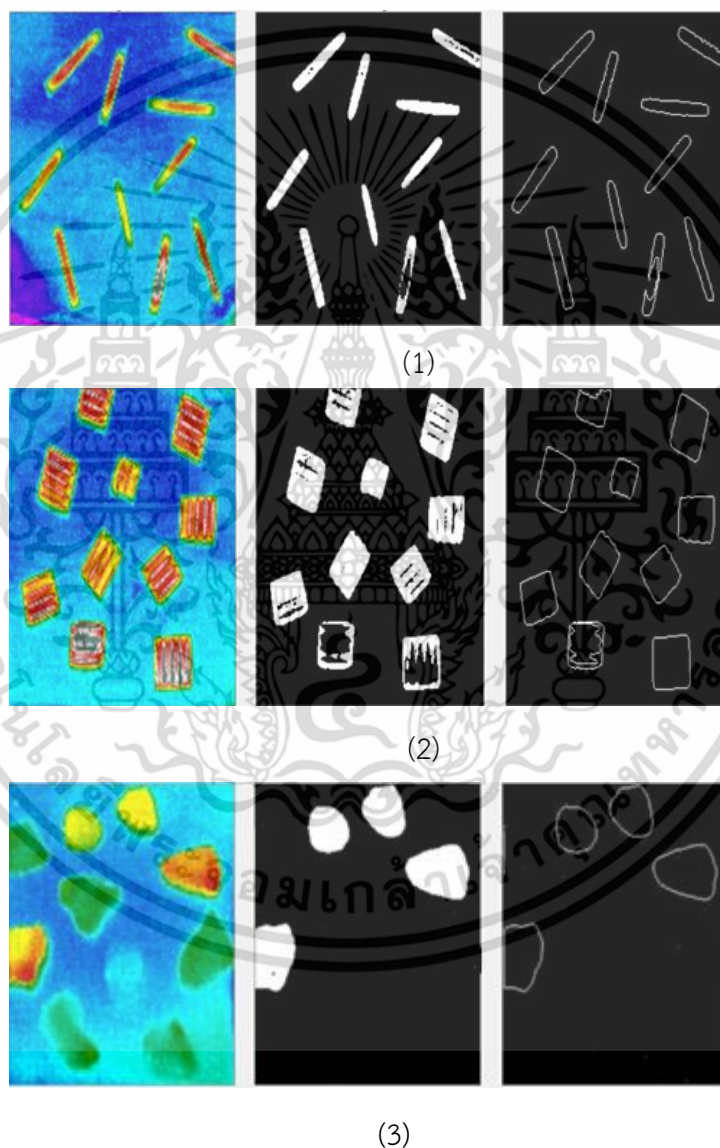
(2)

รูปที่ 4.1 ภาพถ่ายทางความร้อนของ (1) ถั่วแดง (2) ถั่วลิสง โดยที่ไม่มีสิ่งแปลกปลอมปะปน

เอกสารนี้เป็นเอกสารที่สงวนไว้สำหรับการใช้งานเพื่อการศึกษาเท่านั้น ไม่อนุญาตให้นำไปใช้ประโยชน์ด้านการค้า ไม่ว่ากรณีใดๆ ทั้งสิ้น อีกทั้งห้ามมิให้ดัดแปลงเนื้อหา และต้องอ้างอิงถึงเจ้าของเอกสารทุกครั้งที่มีการนำไปใช้

4.1.2 กลุ่มสิ่งแปลกปลอม

จากการประมวลผลภาพถ่ายทางความร้อนของสิ่งแปลกปลอม ได้แก่ ไม้ พลาสติก และหิน แสดงดังรูปที่ 4.2 โดยภาพเรียงจากด้านซ้ายไปขวา ได้แก่ ภาพถ่ายทางความร้อน ภาพที่ได้จากการเทรสโฮล และภาพที่ได้จากการ contour ตามลำดับ โดยโปรแกรมสามารถนับจำนวนของสิ่งแปลกปลอมได้ เนื่องจากภาพที่ได้มีเฉดสีแดงซึ่งเป็นสีของสิ่งแปลกปลอมจึงสามารถเทรสโฮลได้ แต่ในตัวอย่างหิน ไม่สามารถตรวจจับได้หมดเนื่องจากภาพความร้อนของหินบางก้อนมีเฉดสีโทนเย็นซึ่งเป็นเฉดสีที่ได้ไม่ได้อยู่ในช่วงของการเทรสโฮล จึงไม่สามารถเทรสโฮลและวาดกรอบของวัตถุได้



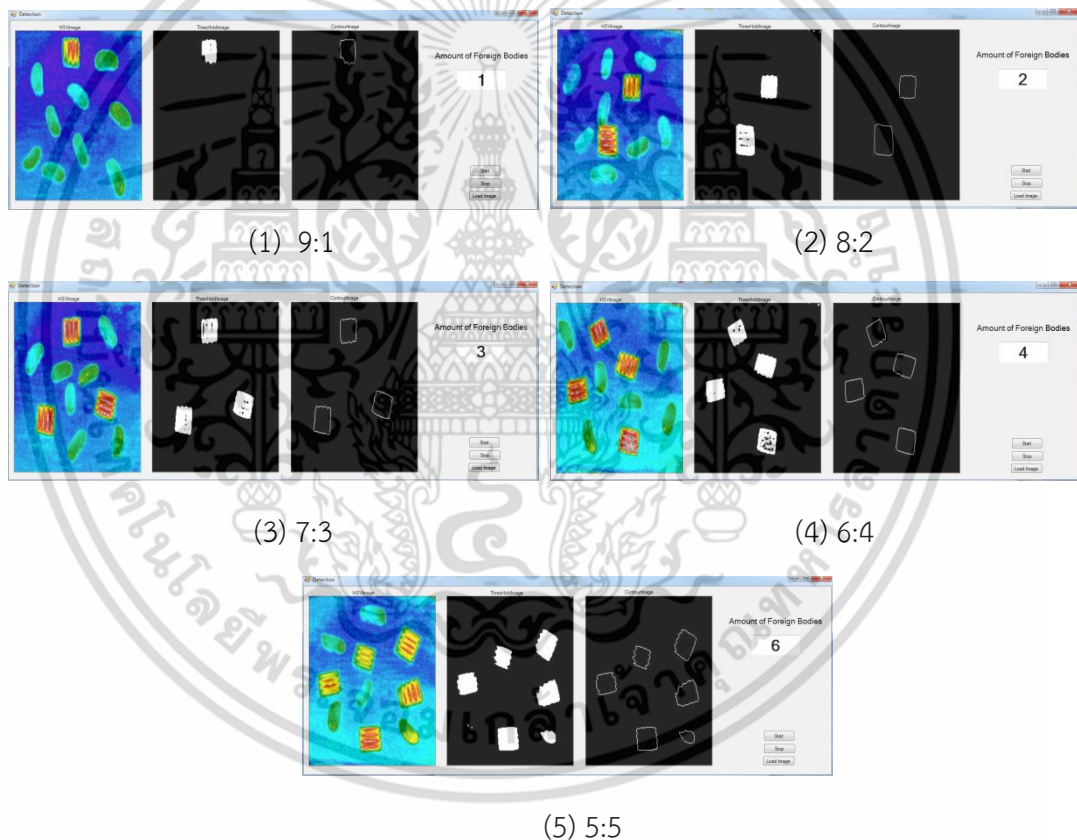
รูปที่ 4.2 ภาพถ่ายทางความร้อนของสิ่งแปลกปลอมที่ไม่มีเมล็ดพืชปะปน (1) ไม้ (2) พลาสติก (3) หิน

เอกสารนี้เป็นเอกสารที่สงวนไว้สำหรับการใช้งานเพื่อการศึกษาเท่านั้น ไม่อนุญาตให้นำไปใช้ประโยชน์ด้านการค้า ไม่ว่าจะกรณีใดๆ ทั้งสิ้น อีกทั้งห้ามมิให้ดัดแปลงเนื้อหา และต้องอ้างอิงถึงเจ้าของเอกสารทุกครั้งที่มีการนำไปใช้

4.1.3 กลุ่มสิ่งแปลกปลอมปะปนกับเมล็ดพืช

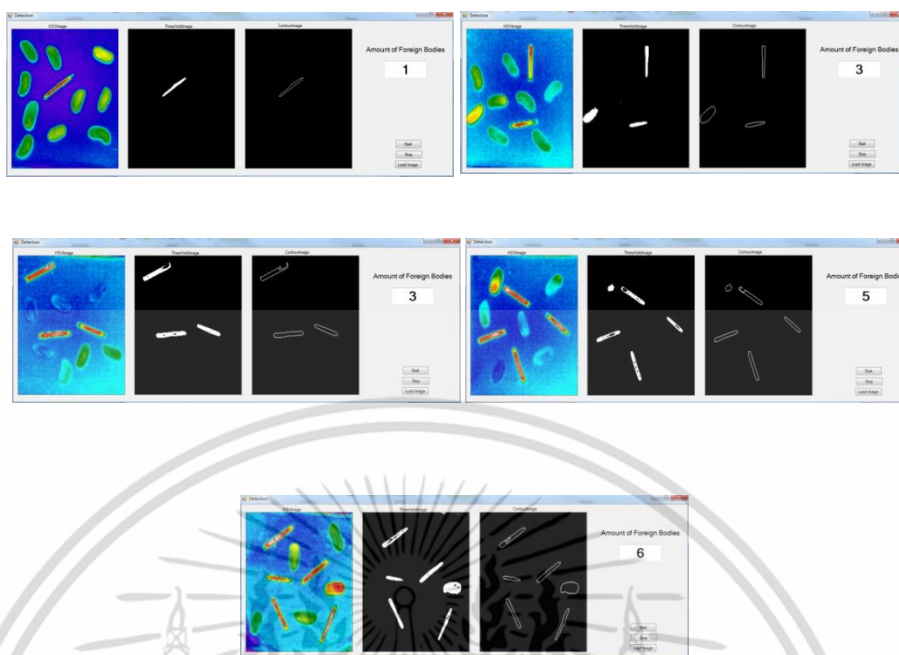
4.1.3.1 ถั่วแดงกับสิ่งแปลกปลอม

จากการประมวลผลภาพถ่ายทางความร้อนของถั่วแดงกับสิ่งแปลกปลอม ได้แก่ พลาสติก ไม้ และหิน แสดงดังรูปที่ 4.3–4.5 ตามลำดับ โดยปรับอัตราส่วนระหว่างเมล็ดพืชและสิ่งแปลกปลอม คือ 9:1, 8:2, 7:3, 6:4 และ 5:5 จากรูปแสดงให้เห็นว่าโปรแกรมสามารถนับจำนวนของสิ่งแปลกปลอมได้ตามจำนวนที่มีอยู่จริง แต่ในตัวอย่างของถั่วแดงกับพลาสติกโปรแกรมทำการนับจำนวนได้เกินมา 1 จำนวนที่อัตราส่วน 5:5 ตัวอย่างถั่วแดงกับไม้ในอัตราส่วนที่ 8:2, 6:4 และ 5:5 โปรแกรมทำการนับจำนวนได้เกินมาอย่างละ 1 จำนวน และตัวอย่างถั่วแดงกับหินในอัตราส่วนที่ 5:5 โปรแกรมทำการนับจำนวนได้น้อยกว่า 1 จำนวน เนื่องจากเมล็ดพืชมีเฉดสีที่ใกล้เคียงกันกับสิ่งแปลกปลอม ทำให้โปรแกรมทำการตรวจจับเมล็ดพืชนั้นด้วย

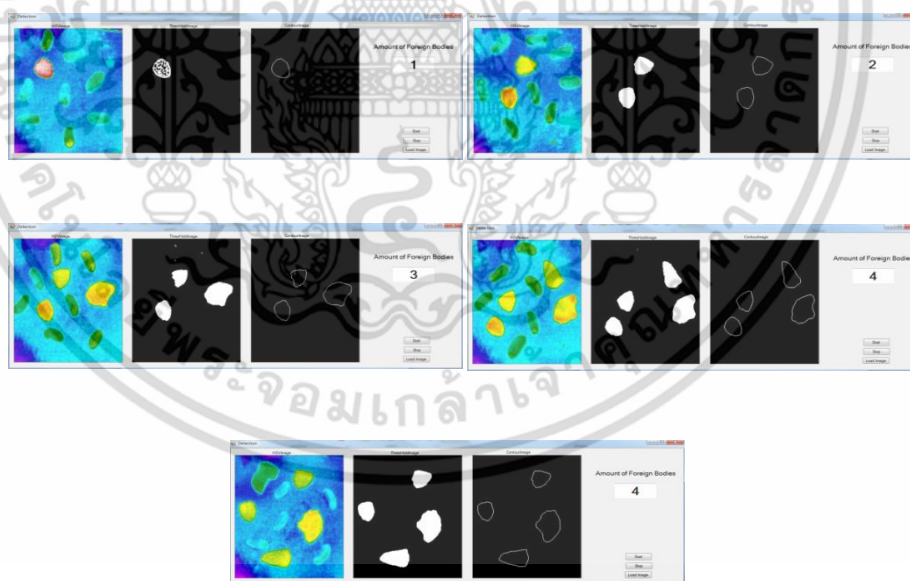


รูปที่ 4.3 ภาพถ่ายทางความร้อนของถั่วแดงกับสิ่งแปลกปลอมคือพลาสติกที่อัตราส่วนต่างๆ และจำนวนที่โปรแกรมตรวจจับสิ่งแปลกปลอมได้

เอกสารนี้เป็นเอกสารที่สงวนไว้สำหรับการใช้งานเพื่อการศึกษาเท่านั้น ไม่อนุญาตให้นำไปใช้ประโยชน์ด้านการค้า ไม่ว่าจะกรณีใดๆ ทั้งสิ้น อีกทั้งห้ามมิให้ดัดแปลงเนื้อหา และต้องอ้างอิงถึงเจ้าของเอกสารทุกครั้งที่มีการนำไปใช้



รูปที่ 4.4 ภาพถ่ายทางความร้อนของฝ่ามือร่วมกับสิ่งแปลกปลอมคือไม้ที่อัตราส่วนต่างๆ และจำนวนที่โปรแกรมตรวจจับสิ่งแปลกปลอมได้



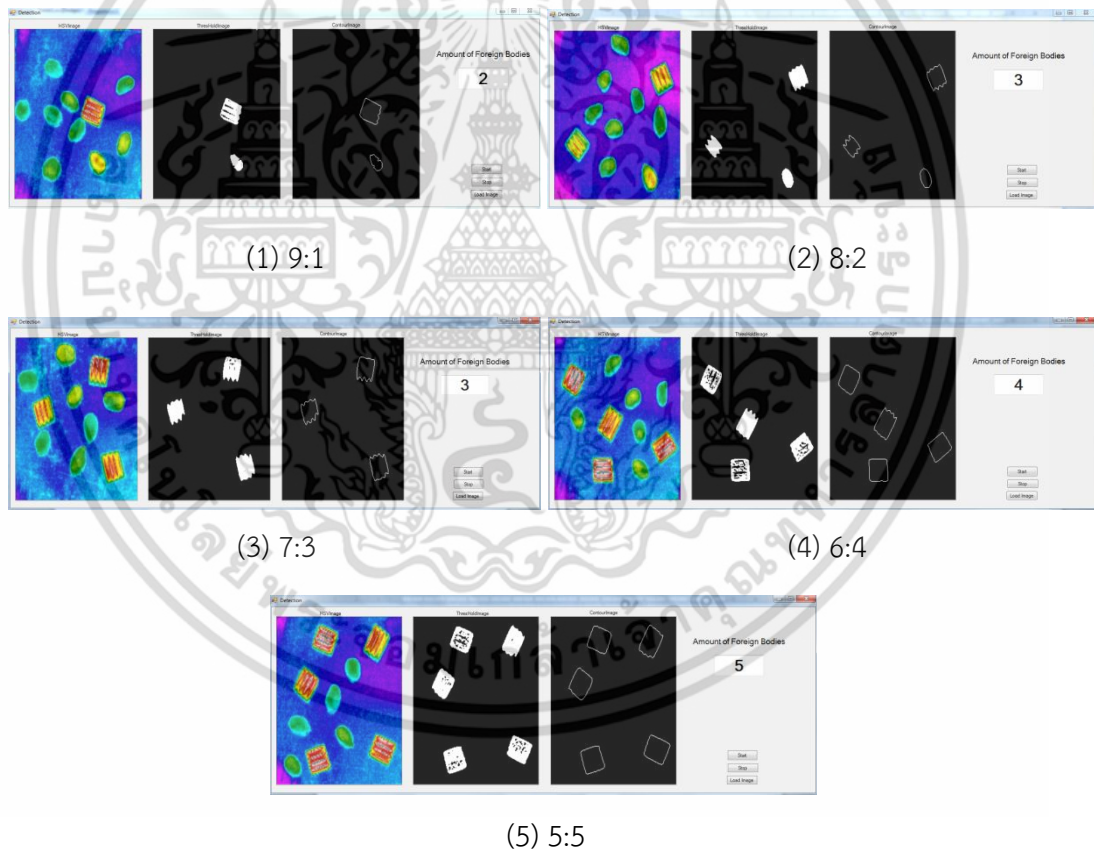
รูปที่ 4.5 ภาพถ่ายทางความร้อนของฝ่ามือร่วมกับสิ่งแปลกปลอมคือหินที่อัตราส่วนต่างๆ และจำนวนที่โปรแกรมตรวจจับสิ่งแปลกปลอมได้

เอกสารนี้เป็นเอกสารที่สงวนไว้สำหรับการใช้งานเพื่อการศึกษาเท่านั้น ไม่อนุญาตให้นำไปใช้ประโยชน์ด้านการค้า ไม่ว่าจะกรณีใดๆ ทั้งสิ้น อีกทั้งห้ามมิให้ดัดแปลงเนื้อหา และต้องอ้างอิงถึงเจ้าของเอกสารทุกครั้งที่มีการนำไปใช้

4.1.3.2 ถั่วลิสงกับสิ่งแปลกปลอม

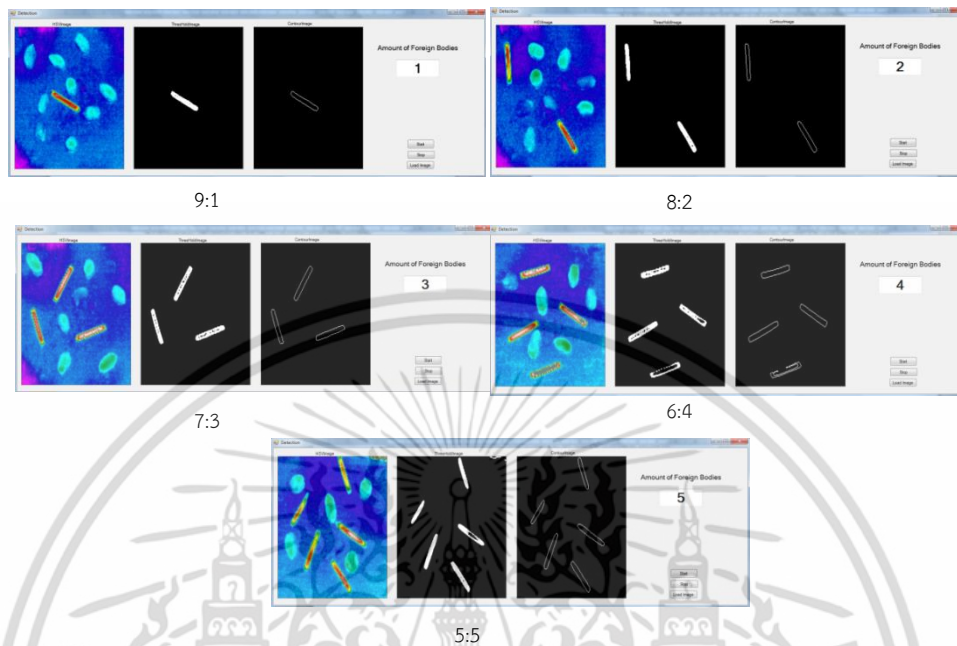
จากการประมวลผลภาพถ่ายทางความร้อนของถั่วลิสงกับสิ่งแปลกปลอม ได้แก่ พลาสติก ไม้ และหิน แสดงดังรูปที่ 4.6–4.8 ตามลำดับ โดยปรับอัตราส่วนระหว่างเมล็ดพืชและสิ่งแปลกปลอม คือ 9:1, 8:2, 7:3, 6:4 และ 5:5 จากรูปแสดงให้เห็นว่าโปรแกรมสามารถนับจำนวนของสิ่งแปลกปลอมได้ตามจำนวนที่มีอยู่จริง แต่ในตัวอย่างของถั่วลิสงกับพลาสติกโปรแกรมทำการนับจำนวนได้เกินมา 1 จำนวนที่อัตราส่วน 9:1 และ 8:2 เนื่องจากเมล็ดพืชมีเฉดสีที่ใกล้เคียงกันกับสิ่งแปลกปลอม ทำให้โปรแกรมทำการตรวจจับเมล็ดพืชนั้นด้วย

จากการทดลองโดยใช้ภาพสีพบว่าเมื่อวิเคราะห์ด้วยระบบสีนั้นจำเป็นต้องมีการตั้งค่าระดับ (level) และความเข้ม (span) ของภาพถ่ายทางความร้อนทุกครั้งเมื่อมีการเปลี่ยนกลุ่มตัวอย่าง ซึ่งค่าที่ได้จะมีช่วงไม่แน่นอนจึงทำให้สีของตัวอย่างที่ทำการวิเคราะห์ค่อนข้างยาก

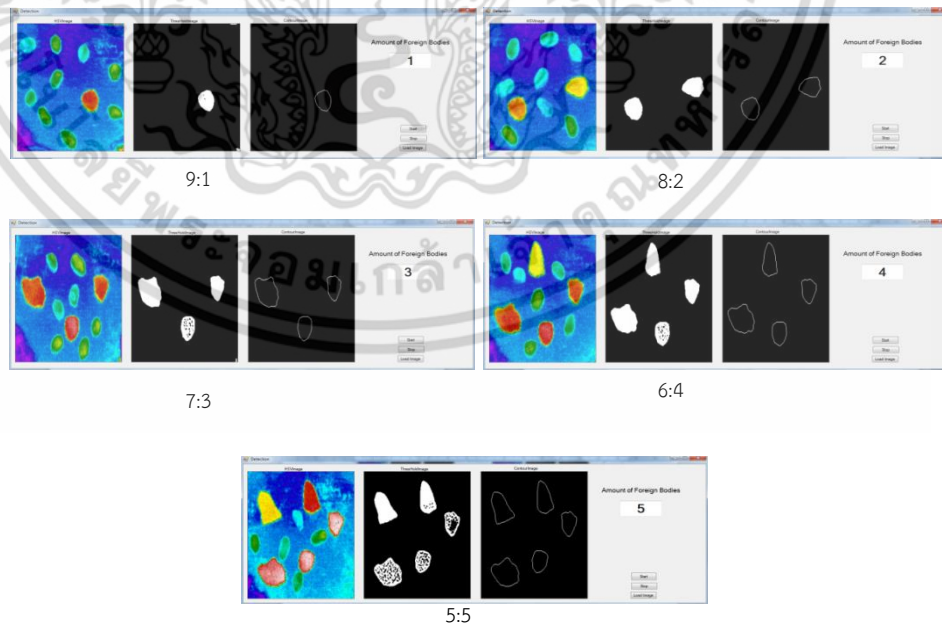


รูปที่ 4.6 ภาพถ่ายทางความร้อนของถั่วลิสงกับสิ่งแปลกปลอมคือพลาสติกที่อัตราส่วนต่างๆ และจำนวนที่โปรแกรมตรวจจับสิ่งแปลกปลอมได้

เอกสารนี้เป็นเอกสารที่สงวนไว้สำหรับการใช้งานเพื่อการศึกษาเท่านั้น ไม่อนุญาตให้นำไปใช้ประโยชน์ด้านการค้า ไม่ว่าจะกรณีใดๆ ทั้งสิ้น อีกทั้งห้ามมิให้ดัดแปลงเนื้อหา และต้องอ้างอิงถึงเจ้าของเอกสารทุกครั้งที่มีการนำไปใช้



รูปที่ 4.7 ภาพถ่ายทางความร้อนของถั่วลิสงกับสิ่งแปลกปลอมคือไม้ที่อัตราส่วนต่างๆ และจำนวนที่โปรแกรมตรวจจับสิ่งแปลกปลอมได้



รูปที่ 4.8 ภาพถ่ายทางความร้อนของถั่วลิสงกับสิ่งแปลกปลอมคือหินที่อัตราส่วนต่างๆ และจำนวนที่โปรแกรมตรวจจับสิ่งแปลกปลอมได้

เอกสารนี้เป็นเอกสารที่สงวนไว้สำหรับการใช้งานเพื่อการศึกษาเท่านั้น ไม่อนุญาตให้นำไปใช้ประโยชน์ด้านการค้า ไม่ว่าจะกรณีใดๆ ทั้งสิ้น อีกทั้งห้ามมิให้ดัดแปลงเนื้อหา และต้องอ้างอิงถึงเจ้าของเอกสารทุกครั้งที่มีการนำไปใช้

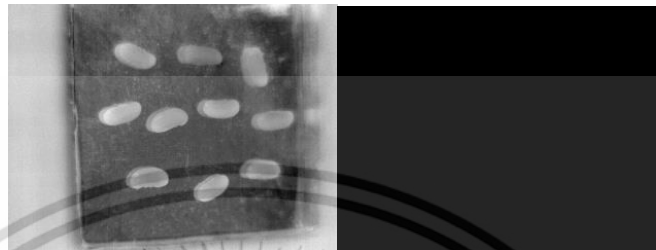
4.2 การตรวจสอบสิ่งแปลกปลอมโดยใช้ภาพ gray scale

การทดลองนี้ได้ทำการทดสอบการตรวจจับสิ่งแปลกปลอม ซึ่งภาพที่รับมานั้นเป็นภาพแบบ gray scale โดยใช้ซอฟต์แวร์ที่พัฒนาขึ้นในการวิเคราะห์ภาพและทำการตรวจจับหาสิ่งแปลกปลอมที่ปะปนมากับเมล็ดพืช เพื่อให้แน่ใจว่าซอฟต์แวร์ที่พัฒนาขึ้นนั้น สามารถตรวจจับสิ่งแปลกปลอมที่ปะปนมากับเมล็ดพืชได้จริง และก่อนทำการทดลองหาจำนวนสิ่งแปลกปลอม ได้ทำการทดลองหาเวลาที่ดียิ่งที่สุดใน การให้ความร้อนและช่วงคายความร้อนแก่ตัวอย่าง เพื่อหาค่าความเข้มข้นหรือค่าระดับเฉดสีเทาของ เมล็ดพืชและสิ่งแปลกปลอมชนิดต่าง ๆ ที่จะนำไปใช้กำหนดเป็นค่าเทรสโธลสำหรับแยกเฉดสีที่เราไม่ ต้องการออกไปในโปรแกรมที่พัฒนาขึ้น และค่าการให้ความร้อนที่สามารถเห็นความแตกต่างของค่า ความเข้มของสีเทาได้ชัดเจนคือ 10 ,15 ,20 ,25 และ 30 วินาที และช่วงคายความร้อนคือ 3 วินาที แต่งานวิจัยนี้ได้เลือกทำการทดลองที่ 10 วินาทีในการให้ความร้อนเพื่อเป็นการประหยัดพลังงานของ ระบบ และค่าเทรสโธลที่ได้จากการทดลองคือ 40 ตามรูปที่ 4.17

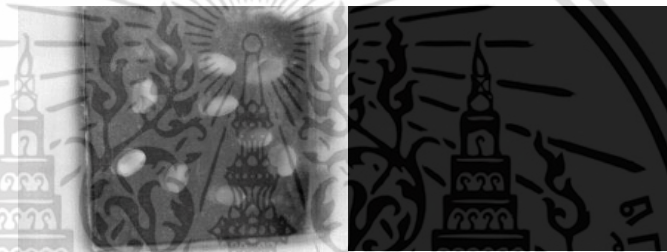
การทดลองนี้ได้ทำการปรับอัตราส่วนการทดลองระหว่างเมล็ดพืชก็คือ ถั่วแดงและถั่วลิสง กับสิ่งแปลกปลอมก็คือ ไม้ หิน และพลาสติก ในภาคการทดลอง ดังนี้ 10:0 ,9:1 ,8:2 ,7:3 ,6:4 ,5:5 และ 0:10 ซึ่งเทียบอัตราส่วนเป็น 100% ซึ่งทำการทดลองอัตราส่วนละ 10 ครั้ง จากผลการทดลอง พบว่า การใช้ซอฟต์แวร์ที่พัฒนาขึ้นตรวจจับสิ่งแปลกปลอมระหว่างเมล็ดพืชกับพลาสติกและไม้ จะ ดีกว่าเมล็ดพืชกับหิน แต่อย่างไรก็ตามซอฟต์แวร์ที่พัฒนาขึ้นนี้สามารถตรวจจับสิ่งแปลกปลอมที่ปะปน มากับเมล็ดพืชได้จริงและค่อนข้างแม่นยำ

4.2.1 กลุ่มเมล็ดพืช

จากการประมวลผลภาพถ่ายทางความร้อนของเมล็ดพืช ได้แก่ ถั่วแดง และถั่วลิสง เมื่อไม่มีสิ่งแปลกปลอมปะปนมา แสดงดังรูปที่ 4.9 จากรูปแสดงให้เห็นว่าโปรแกรมไม่สามารถนับจำนวนของสิ่งแปลกปลอมได้ เนื่องจากเมล็ดพืชนั้นมีค่าระดับเฉดสีเทาต่ำกว่าค่าการเทรสโฮลของสิ่งแปลกปลอม โปรแกรมจึงไม่สามารถตรวจจับได้



(1)

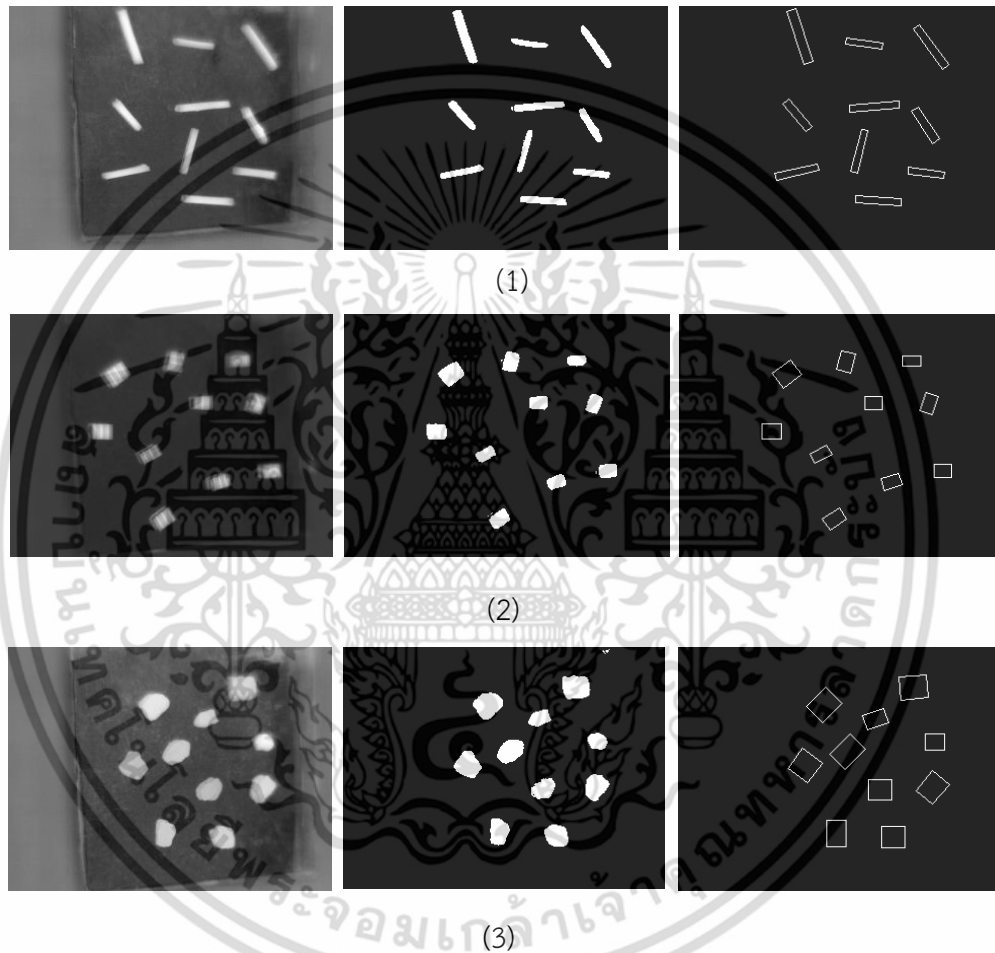


(2)

รูปที่ 4.9 ภาพถ่ายทางความร้อนของ (1) ถั่วแดง (2) ถั่วลิสง โดยที่ไม่มีสิ่งแปลกปลอมปะปน

4.2.2 กลุ่มสิ่งแปลกปลอม

จากการประมวลผลภาพถ่ายทางความร้อนของสิ่งแปลกปลอม ได้แก่ ไม้ พลาสติกและหิน เมื่อไม่มีเมล็ดพีชปะปนสิ่งแปลกปลอม แสดงดังรูปที่ 4.10 จากรูปแสดงให้เห็นว่าโปรแกรมสามารถเทรซโฮลสิ่งแปลกปลอมได้ เนื่องจากภาพที่ได้มีระดับเฉดสีเทาของสิ่งแปลกปลอมแต่ละชนิด โปรแกรมจึงสามารถเทรซโฮลและวาดขอบหาตำแหน่งของสิ่งแปลกปลอมและนับจำนวนได้



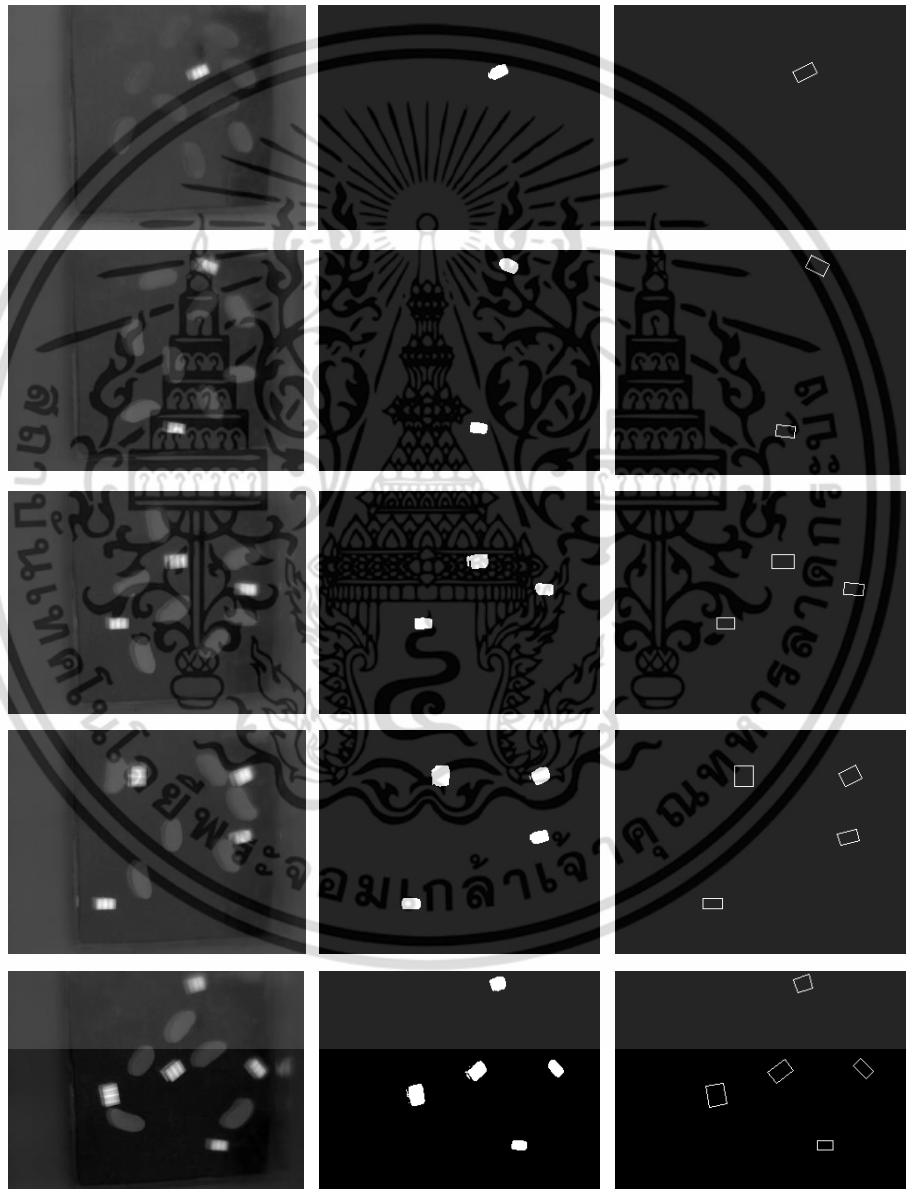
รูปที่ 4.10 ภาพถ่ายทางความร้อนของสิ่งแปลกปลอมที่ไม่มีเมล็ดพีชปะปน (1) ไม้ (2) พลาสติก และ (3) หิน

เอกสารนี้เป็นเอกสารที่สงวนไว้สำหรับการใช้งานเพื่อการศึกษาเท่านั้น ไม่อนุญาตให้นำไปใช้ประโยชน์ด้านการค้าไม่ว่ากรณีใดๆ ทั้งสิ้น อีกทั้งห้ามมิให้ดัดแปลงเนื้อหา และต้องอ้างอิงถึงเจ้าของเอกสารทุกครั้งที่มีการนำไปใช้

4.2.3 กลุ่มสิ่งแปลกปลอมปะปนกับเมล็ดพืช

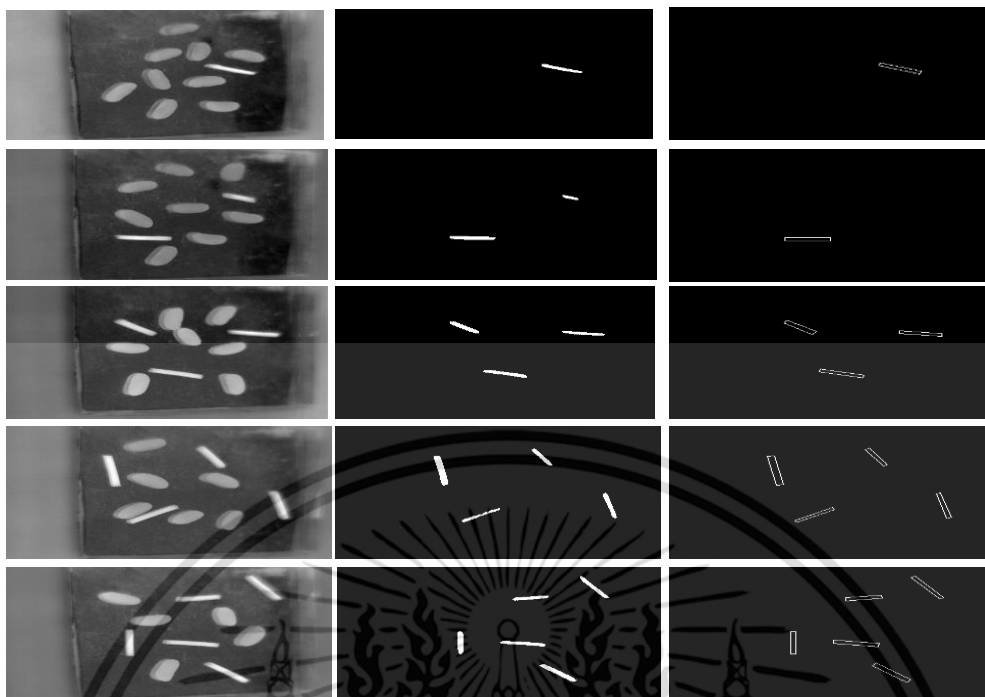
4.2.3.1 ถั่วแดงกับสิ่งแปลกปลอม

จากการประมวลผลภาพถ่ายทางความร้อนของถั่วแดงกับสิ่งแปลกปลอม ได้แก่ พลาสติก ไม้ และหิน แสดงดังรูปที่ 4.11-4.13 ตามลำดับ โดยปรับอัตราส่วนระหว่างเมล็ดพืชและสิ่งแปลกปลอมคือ 9:1, 8:2, 7:3, 6:4 และ 5:5 จากรูปแสดงให้เห็นว่าโปรแกรมสามารถนับจำนวนของสิ่งแปลกปลอมได้ตามจำนวนที่มีอยู่จริง แต่ในตัวอย่างของถั่วแดงกับไม้และหินที่อัตราส่วน 8:2 โปรแกรมตรวจจับสิ่งแปลกปลอมได้แค่ 1 เนื่องจากเมล็ดพืชกับสิ่งแปลกปลอมมีระดับเฉดสีเทาที่ใกล้เคียงกัน

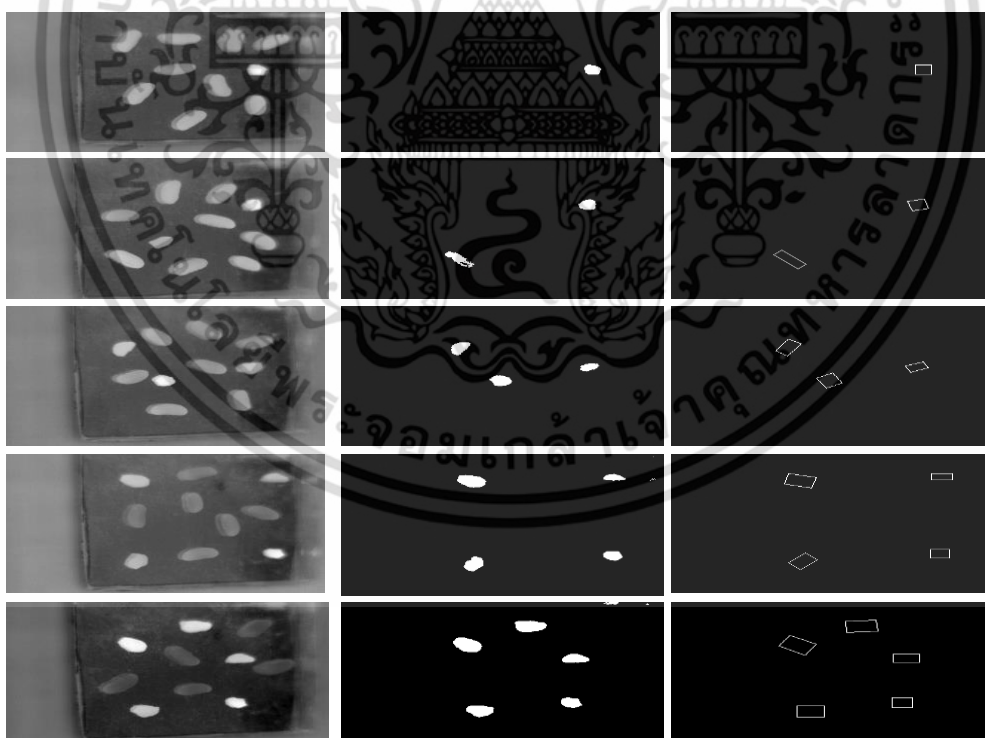


รูปที่ 4.11 ภาพถ่ายทางความร้อนของถั่วแดงกับสิ่งแปลกปลอมคือพลาสติกที่อัตราส่วนต่างๆ และจำนวนที่โปรแกรมตรวจจับสิ่งแปลกปลอมได้

เอกสารนี้เป็นเอกสารที่สงวนไว้สำหรับการใช้งานเพื่อการศึกษาเท่านั้น ไม่อนุญาตให้นำไปใช้ประโยชน์ด้านการค้า ไม่ว่าจะกรณีใดๆ ทั้งสิ้น อีกทั้งห้ามมิให้ดัดแปลงเนื้อหา และต้องอ้างอิงถึงเจ้าของเอกสารทุกครั้งที่มีการนำไปใช้



รูปที่ 4.12 ภาพถ่ายทางความร้อนของถั่วแดงกับสิ่งแปลกปลอมคือไม้ที่อัตราส่วนต่างๆ และจำนวนที่โปรแกรมตรวจจับสิ่งแปลกปลอมได้

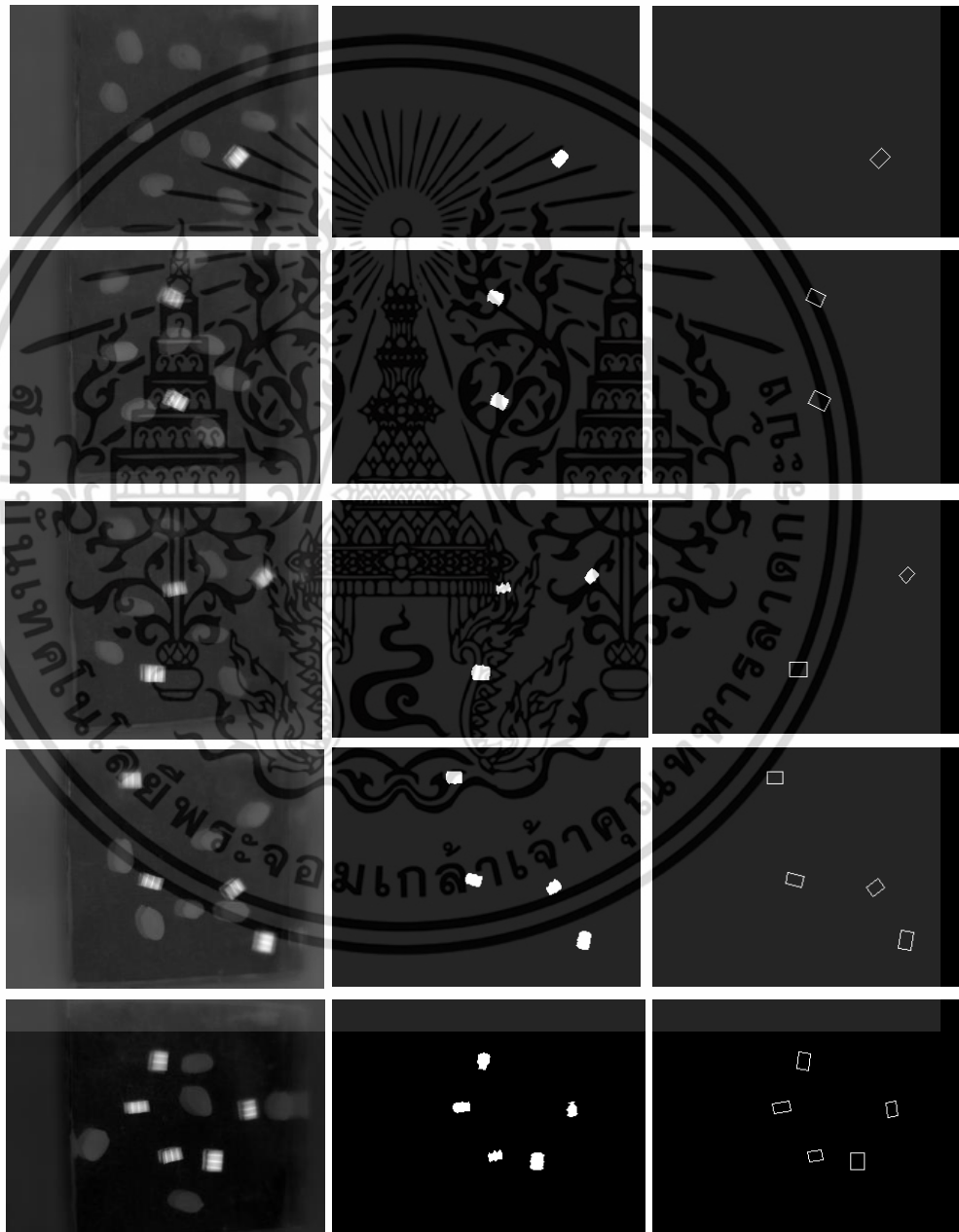


รูปที่ 4.13 ภาพถ่ายทางความร้อนของถั่วแดงกับสิ่งแปลกปลอมคือหินที่อัตราส่วนต่างๆ และจำนวนที่โปรแกรมตรวจจับสิ่งแปลกปลอมได้

เอกสารนี้เป็นเอกสารที่สงวนไว้สำหรับการใช้งานเพื่อการศึกษาเท่านั้น ไม่อนุญาตให้นำไปใช้ประโยชน์ด้านการค้า ไม่ว่าจะกรณีใดๆ ทั้งสิ้น อีกทั้งห้ามมิให้ดัดแปลงเนื้อหา และต้องอ้างอิงถึงเจ้าของเอกสารทุกครั้งที่มีการนำไปใช้

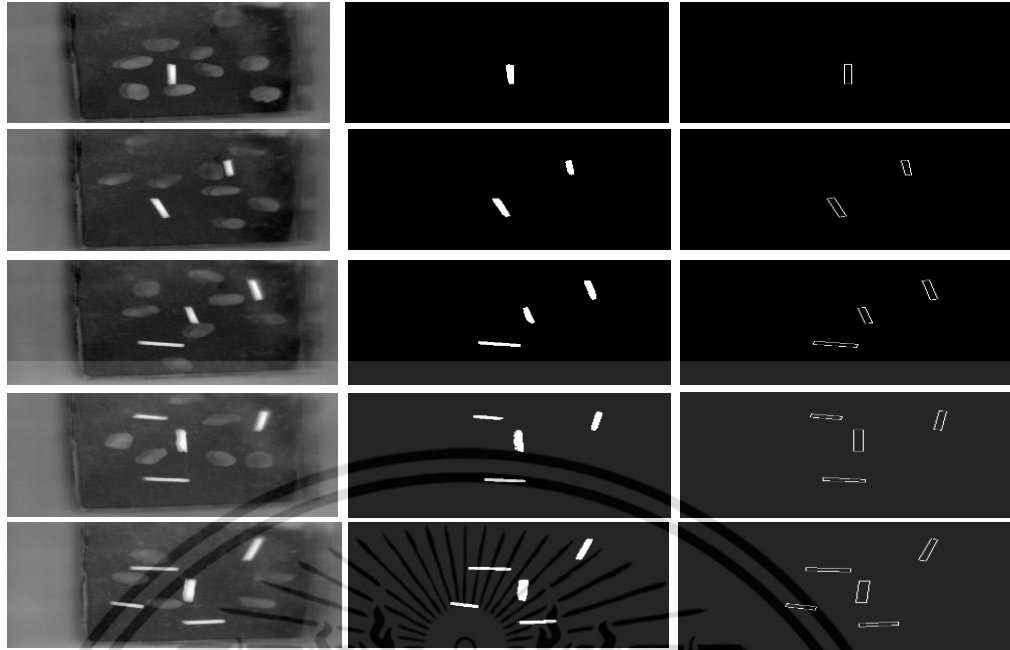
4.2.3.2 ถั่วลิสงกับสิ่งแปลกปลอม

จากการประมวลผลภาพถ่ายทางความร้อนของถั่วลิสงกับสิ่งแปลกปลอม ได้แก่ พลาสติก ไม้ และหิน แสดงดังรูปที่ 4.14–4.16 ตามลำดับ โดยปรับอัตราส่วนระหว่างเมล็ดพืชและสิ่งแปลกปลอมคือ 9:1, 8:2, 7:3, 6:4 และ 5:5 จากรูปแสดงให้เห็นว่าโปรแกรมสามารถนับจำนวนของสิ่งแปลกปลอมได้ตามจำนวนที่มีอยู่จริง แต่ในตัวอย่างของถั่วลิสงกับหินที่อัตราส่วน 7:3 และ 6:4 โปรแกรมไม่สามารถเทรสโฮลวัตถุที่เป็นสิ่งแปลกปลอมบางชิ้นได้ เนื่องจากค่าระดับเฉดสีเทามีค่าน้อยกว่าค่าเทรสโฮลที่ได้โปรแกรมไว้

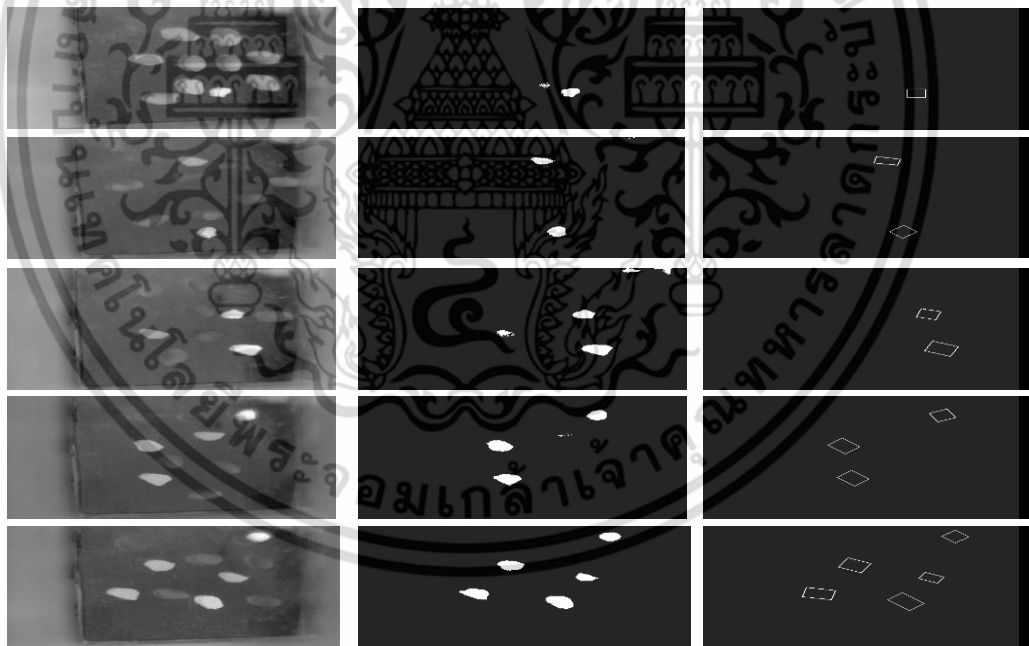


รูปที่ 4.14 ภาพถ่ายทางความร้อนของถั่วลิสงกับสิ่งแปลกปลอมคือพลาสติกที่อัตราส่วนต่างๆ และจำนวนที่โปรแกรมตรวจจับสิ่งแปลกปลอมได้

เอกสารนี้เป็นเอกสารที่สงวนไว้สำหรับการใช้งานเพื่อการศึกษาเท่านั้น ไม่อนุญาตให้นำไปใช้ประโยชน์ด้านการค้า ไม่ว่าจะกรณีใดๆ ทั้งสิ้น อีกทั้งห้ามมิให้ดัดแปลงเนื้อหา และต้องอ้างอิงถึงเจ้าของเอกสารทุกครั้งที่มีการนำไปใช้

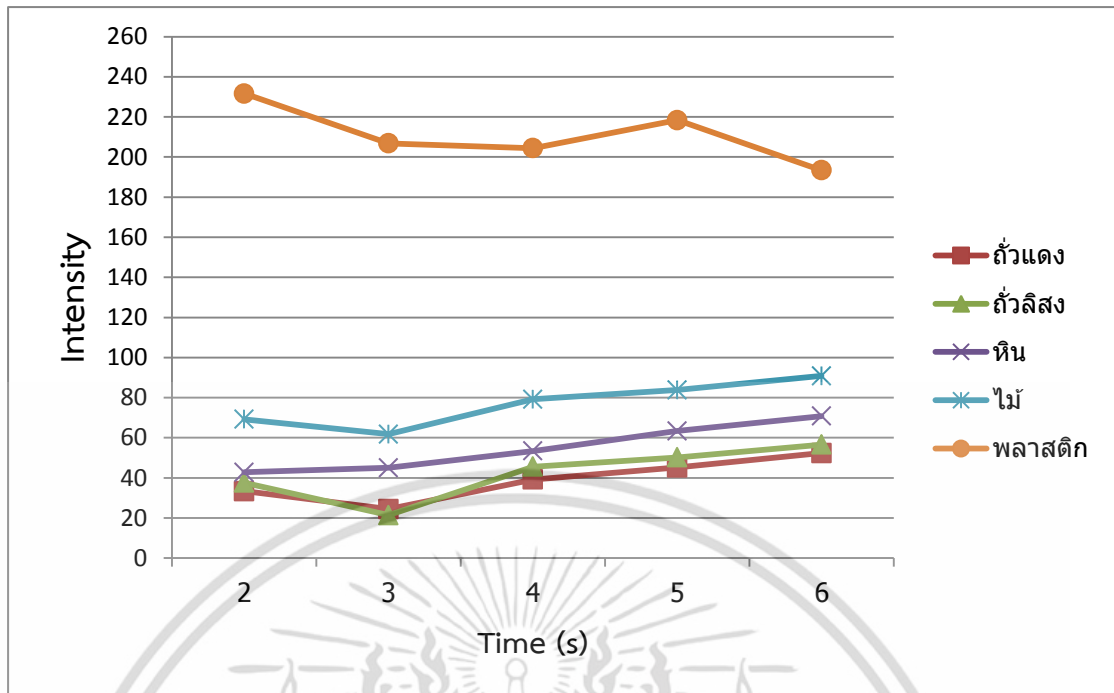


รูปที่ 4.15 ภาพถ่ายทางความร้อนของถั่วลิสงกับสิ่งแปลกปลอมคือไม้ที่อัตราส่วนต่างๆ และจำนวนที่โปรแกรมตรวจจับสิ่งแปลกปลอมได้

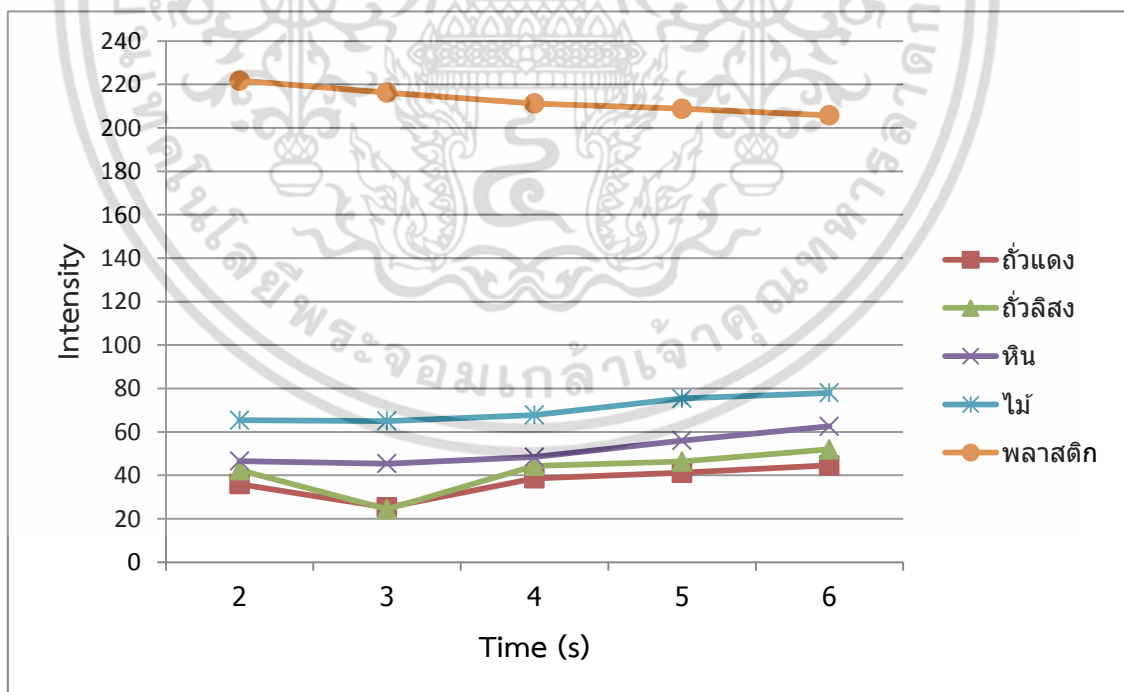


รูปที่ 4.16 ภาพถ่ายทางความร้อนของถั่วลิสงกับสิ่งแปลกปลอมคือหินที่อัตราส่วนต่างๆ และจำนวนที่โปรแกรมตรวจจับสิ่งแปลกปลอมได้

เอกสารนี้เป็นเอกสารที่สงวนไว้สำหรับการใช้งานเพื่อการศึกษาเท่านั้น ไม่อนุญาตให้นำไปใช้ประโยชน์ด้านการค้า ไม่ว่าจะกรณีใดๆ ทั้งสิ้น อีกทั้งห้ามมิให้ดัดแปลงเนื้อหา และต้องอ้างอิงถึงเจ้าของเอกสารทุกครั้งที่มีการนำไปใช้

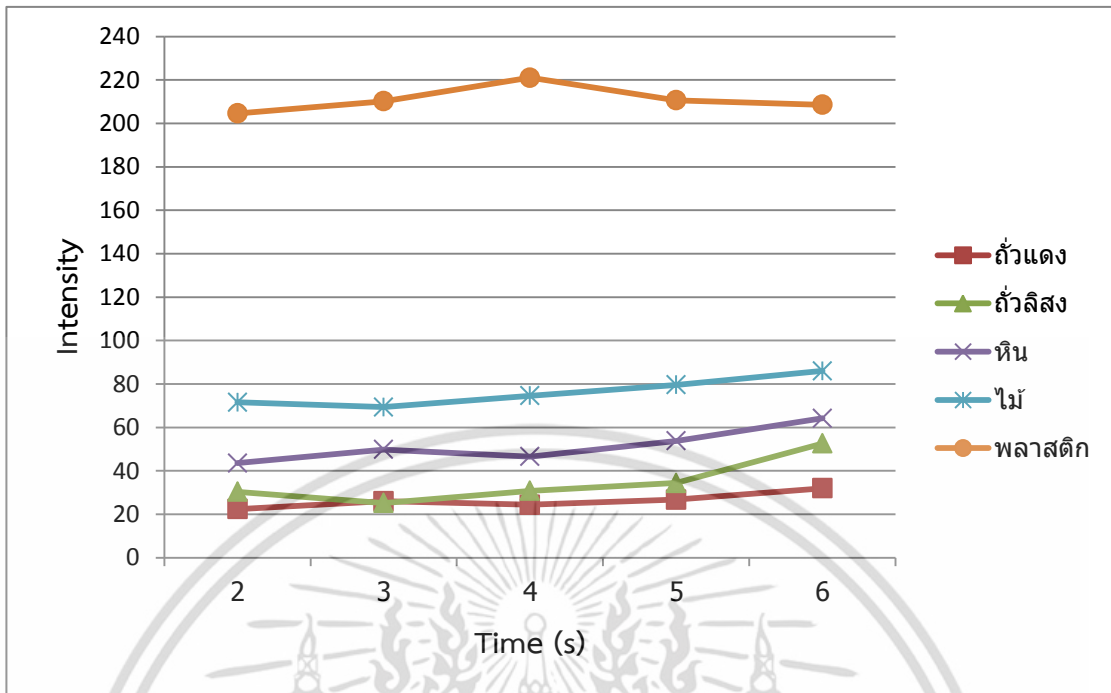


รูปที่ 4.17 กราฟแสดงความสัมพันธ์ระหว่างค่า Intensity กับ เวลาคายความร้อน ที่เวลาให้ความร้อน 10 วินาที

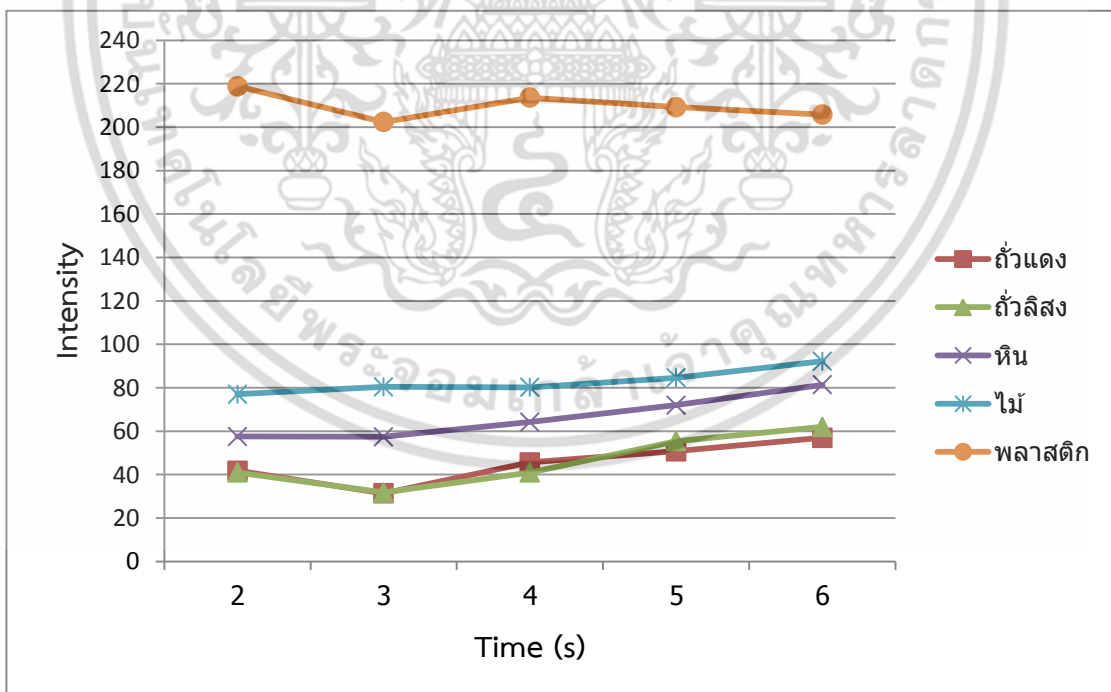


รูปที่ 4.18 กราฟแสดงความสัมพันธ์ระหว่างค่า Intensity กับ เวลาคายความร้อน ที่เวลาให้ความร้อน 15 วินาที

เอกสารนี้เป็นเอกสารที่สงวนไว้สำหรับการใช้งานเพื่อการศึกษาเท่านั้น ไม่อนุญาตให้นำไปใช้ประโยชน์ด้านการค้า ไม่ว่าจะกรณีใดๆ ทั้งสิ้น อีกทั้งห้ามมิให้ดัดแปลงเนื้อหา และต้องอ้างอิงถึงเจ้าของเอกสารทุกครั้งที่มีการนำไปใช้

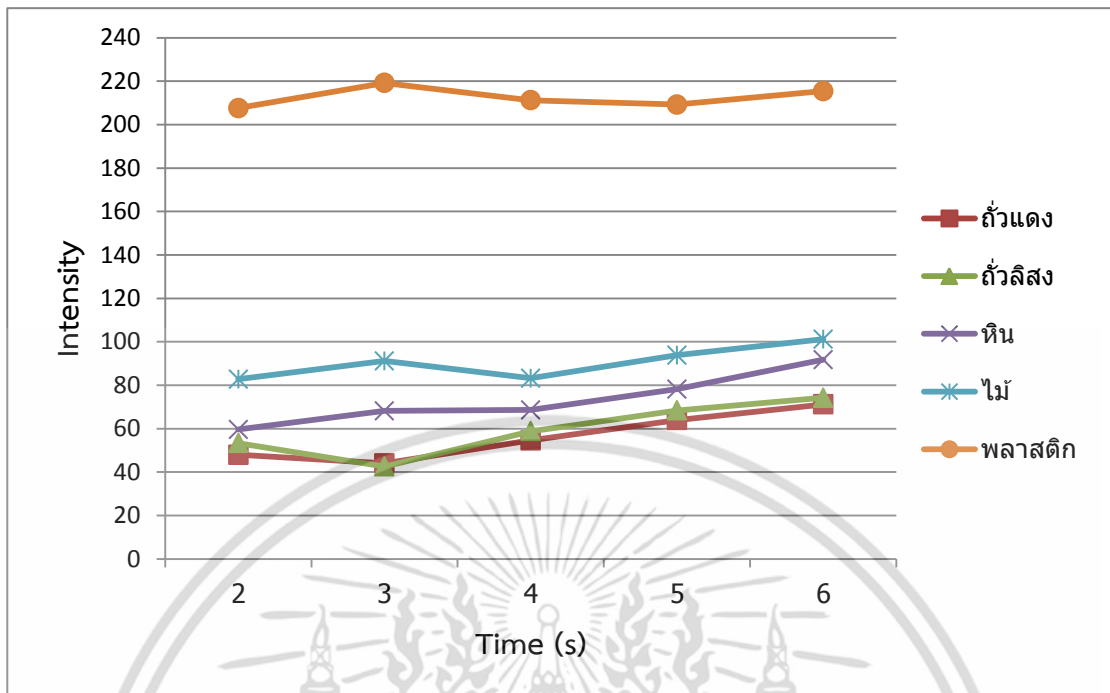


รูปที่ 4.19 กราฟแสดงความสัมพันธ์ระหว่างค่า Intensity กับ เวลาคายความร้อน ที่เวลาให้ความร้อน 20 วินาที



รูปที่ 4.20 กราฟแสดงความสัมพันธ์ระหว่างค่า Intensity กับ เวลาคายความร้อน ที่เวลาให้ความร้อน 25 วินาที

เอกสารนี้เป็นเอกสารที่สงวนไว้สำหรับการใช้งานเพื่อการศึกษาเท่านั้น ไม่อนุญาตให้นำไปใช้ประโยชน์ด้านการค้า ไม่ว่ากรณีใดๆ ทั้งสิ้น อีกทั้งห้ามมิให้ดัดแปลงเนื้อหา และต้องอ้างอิงถึงเจ้าของเอกสารทุกครั้งที่มีการนำไปใช้



รูปที่ 4.21 กราฟแสดงความสัมพันธ์ระหว่างค่า Intensity กับ เวลาคายความร้อน ที่เวลาให้ความร้อน 30 วินาที

เอกสารนี้เป็นเอกสารที่สงวนไว้สำหรับการใช้งานเพื่อการศึกษาเท่านั้น ไม่อนุญาตให้นำไปใช้ประโยชน์ด้านการค้า ไม่ว่าจะกรณีใดๆ ทั้งสิ้น อีกทั้งห้ามมิให้ดัดแปลงเนื้อหา และต้องอ้างอิงถึงเจ้าของเอกสารทุกครั้งที่มีการนำไปใช้

ตารางที่ 4.1 ผลการทดลองแสดงการปรับอัตราส่วนระหว่างจำนวนเมล็ดพืช (ถั่วแดง) และจำนวนสิ่งแปลกปลอมในอัตราส่วน 9:1, 8:2, 7:3, 6:4 และ 5:5 ตามลำดับ

ชนิดของเมล็ด ธัญพืช	สิ่ง แปลกปลอม	จำนวนอัตราส่วนจริง (เมล็ด)		จำนวนสิ่งแปลกปลอมที่โปรแกรมตรวจจับได้										
		เมล็ด ธัญพืช	สิ่ง แปลกปลอม	ครั้งที่	ครั้งที่	ครั้งที่	ครั้งที่	ครั้งที่	ครั้งที่	ครั้งที่	ครั้งที่	ครั้งที่	ครั้งที่	
				1	2	3	4	5	6	7	8	9	10	
ถั่วแดง	พลาสติก			1	1	1	1	1	1	1	1	1	1	1
	ไม้	9	1	1	1	1	1	1	1	1	1	1	1	1
	หิน			1	2	1	1	2	2	1	1	1	1	1
	พลาสติก			2	2	2	2	2	2	2	2	2	2	2
	ไม้	8	2	1	2	2	2	2	2	2	2	2	2	2
	หิน			2	2	4	3	2	1	2	2	2	2	2
	พลาสติก			3	3	3	3	3	3	3	3	3	3	3
	ไม้	7	3	2	3	3	3	3	3	3	2	3	3	3
	หิน			3	3	2	2	3	3	2	3	3	3	3
	พลาสติก			4	4	4	4	4	4	4	4	4	4	4
	ไม้	6	4	4	4	4	4	4	4	4	4	4	4	4
	หิน			4	4	4	3	4	4	3	4	4	4	4
	พลาสติก			5	5	5	5	5	5	5	5	5	5	5
	ไม้	5	5	4	5	5	5	5	5	5	5	5	5	5
	หิน			5	5	5	5	5	5	4	4	5	5	5

ตารางที่ 4.2 ผลการทดลองแสดงการปรับอัตราส่วนระหว่างจำนวนเมล็ดพืช (ถั่วลิสง) และจำนวนสิ่งแปลกปลอมในอัตราส่วน 9:1, 8:2, 7:3, 6:4 และ 5:5 ตามลำดับ

ชนิดของเมล็ด ธัญพืช	สิ่ง แปลกปลอม	จำนวนอัตราส่วนจริง (เมล็ด)		จำนวนสิ่งแปลกปลอมที่โปรแกรมตรวจจับได้										
		เมล็ด ธัญพืช	สิ่ง แปลกปลอม	ครั้งที่	ครั้งที่	ครั้งที่	ครั้งที่	ครั้งที่	ครั้งที่	ครั้งที่	ครั้งที่	ครั้งที่	ครั้งที่	ครั้งที่
				1	2	3	4	5	6	7	8	9	10	
ถั่วลิสง	พลาสติก			1	1	1	1	1	1	1	1	1	1	1
	ไม้	9	1	1	1	1	1	1	1	1	1	1	1	1
	หิน			1	1	1	1	2	2	1	1	1	1	1
	พลาสติก			2	2	2	2	2	2	2	2	2	2	2
	ไม้	8	2	2	2	2	2	2	2	2	2	2	2	2
	หิน			2	2	3	2	2	3	2	2	2	2	2
	พลาสติก			3	3	3	3	3	3	3	3	3	3	3
	ไม้	7	3	3	3	3	3	3	3	3	3	3	2	3
	หิน			2	3	3	3	2	3	3	3	3	3	3
	พลาสติก			4	4	4	4	4	4	4	4	4	4	4
	ไม้	6	4	4	3	4	4	4	4	4	4	4	4	4
	หิน			4	3	3	4	4	3	4	4	4	4	4
	พลาสติก			5	5	5	5	5	5	5	5	5	5	5
	ไม้	5	5	5	5	5	5	5	5	5	5	5	5	5
	หิน			4	5	5	5	5	5	5	5	5	4	4

4.3 การทดลองเพื่อตรวจสอบประสิทธิภาพเครื่องมือวัด

ในการทดลองนี้ได้นำการทดลองแบบ gray scale มาทำการทดลองเพื่อทำการตรวจสอบประสิทธิภาพของระบบการทดลองและอัลกอริทึมของโปรแกรมที่พัฒนาขึ้น ซึ่งได้ทำการเลือกถั่วแดงกับสิ่งแปลกปลอมคือไม้มาทำการทดลอง เนื่องจากความเป็นไปได้ของไม้ที่เป็นสิ่งแปลกปลอมที่จะเกิดขึ้นได้จากการเก็บเกี่ยวผลผลิตอีกทั้งสีและลักษณะทางกายภาพที่คล้ายกับถั่วแดง ในการทดลองนี้ทำการทดลองโดยการใส่เมล็ดถั่วแดงกระจายทั่วทั้งถาดการทดลองเพื่อเทียบปริมาณเป็น 100% และทำการใส่สิ่งแปลกปลอมเข้าไป 1 ชิ้นเทียบเป็น 1% โดยได้ทำการทดลองซ้ำ 100 ครั้ง จากนั้นทำการเพิ่มสิ่งแปลกปลอมเป็น 2, 3, 4 และ 5 ตามลำดับและทำการทดลองอย่างละ 100 ครั้งเช่นเดียวกัน จากผลการทดลองตามตารางที่ 4.3 พบว่าโปรแกรมสามารถตรวจจับสิ่งแปลกปลอมที่มีปริมาณน้อยได้ดีกว่าสิ่งแปลกปลอมที่ปริมาณมาก เพราะตัวอย่างการทดลองที่มีจำนวนสิ่งแปลกปลอมมากนั้น โปรแกรมไม่สามารถตรวจจับได้บ้างขึ้นเนื่องจากเมล็ดถั่วแดงซ้อนทับสิ่งแปลกปลอมทำให้สิ่งแปลกปลอมชิ้นนั้นได้รับความร้อนไม่เต็มที่และกล้องถ่ายภาพความร้อนไม่สามารถจับภาพจับภาพสิ่งแปลกปลอมชิ้นนั้นได้ จากผลการทดลองสามารถทราบได้ถึงเวลาในการตรวจจับสิ่งแปลกปลอมในระบบ ในกรณีให้ความร้อนแก่ตัวอย่าง 10 วินาที และช่วงเวลาในการคายความร้อน 3 วินาที ความเร็วของสายพาน 10 วินาทีต่อ 1 เมตร เมื่อทำการทดสอบกับตัวอย่างทั้งหมด 100 ครั้งโดยพื้นที่ในการทดสอบคือ 10x10 ซม. จะใช้เวลาทั้งหมด 20 นาที ตามสมการความสัมพันธ์

$$T_h + T_c = T_t \quad (4.1)$$

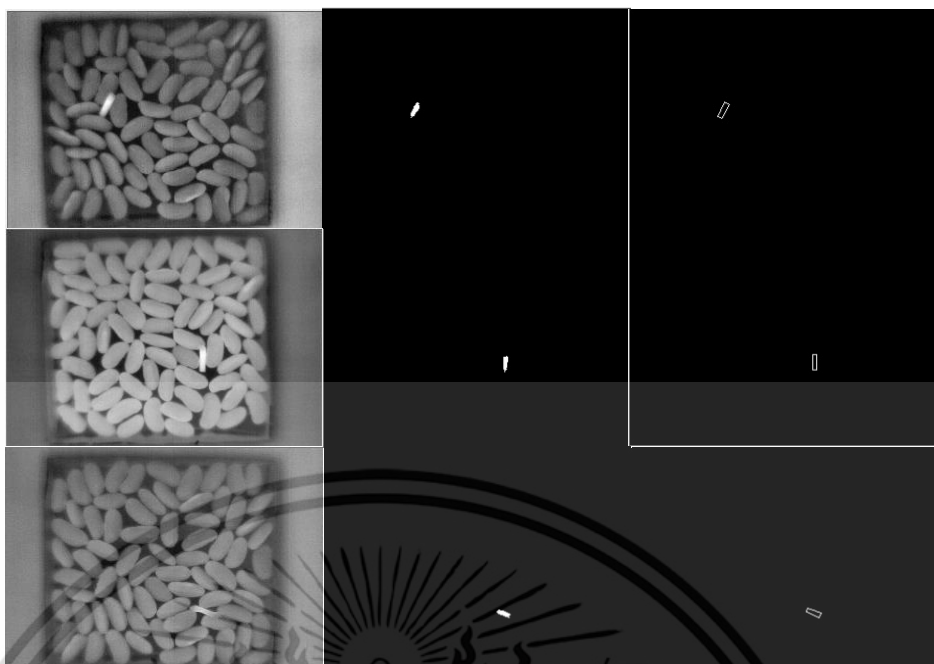
โดยที่ T_t คือ เวลารวมที่ใช้ในระบบ (วินาที)
 T_h คือ เวลาให้ความร้อนแก่ตัวอย่าง (วินาที)
 T_c คือ ช่วงเวลาในการคายความร้อน (วินาที)

ในกระบวนการทางอุตสาหกรรมถ้าต้องการให้เวลาในการตรวจสอบน้อยลงนั้น ต้องทำการเพิ่มจำนวนของแหล่งกำเนิดความร้อนเนื่องจากปริมาณความร้อนที่มากขึ้นทำให้เวลาในการให้ความร้อนให้กับตัวอย่างลดลงและเพิ่มอัตราการเคลื่อนที่ของสายพานที่จะทำการทดสอบ

ตารางที่ 4.3 เปอร์เซ็นต์ความถูกต้องของจำนวนสิ่งแปลกปลอมที่โปรแกรมตรวจจับได้ (ถั่วแดง-ไม้)

จำนวนสิ่งแปลกปลอม	% Accuracy
1	98
2	98
3	97
4	95
5	94

เอกสารนี้เป็นเอกสารที่สงวนไว้สำหรับการใช้งานเพื่อการศึกษาเท่านั้น ไม่อนุญาตให้นำไปใช้ประโยชน์ด้านการค้าไม่ว่ากรณีใดๆ ทั้งสิ้น อีกทั้งห้ามมิให้ดัดแปลงเนื้อหา และต้องอ้างอิงถึงเจ้าของเอกสารทุกครั้งที่มีการนำไปใช้

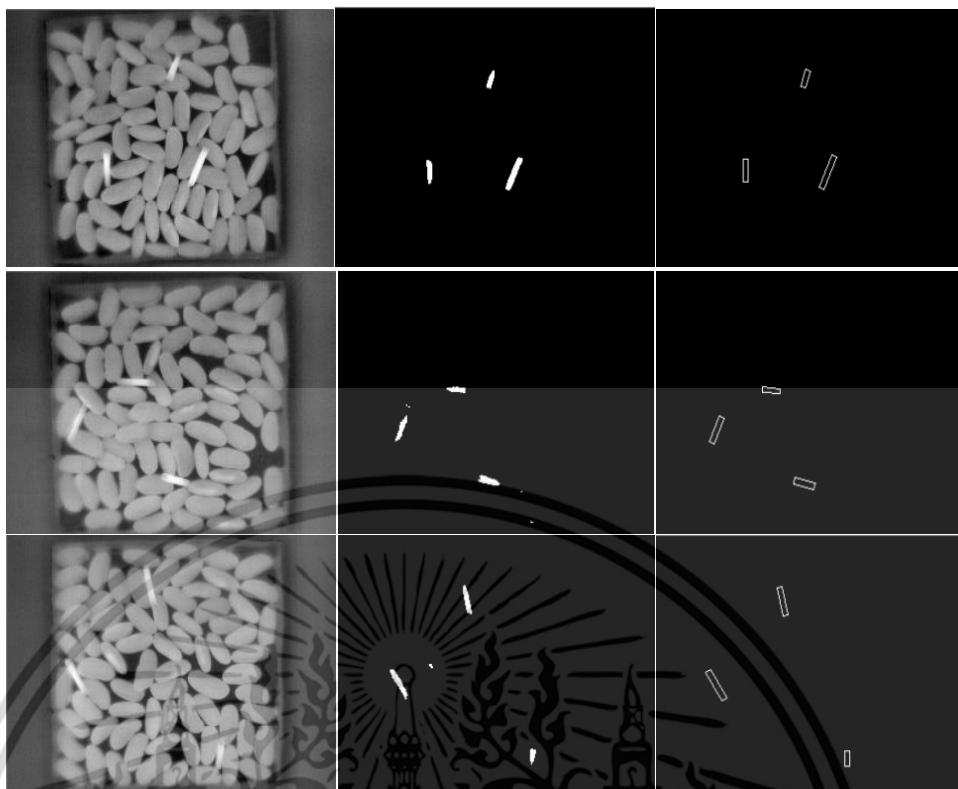


รูปที่ 4.22 ภาพถ่ายทางความร้อนของถั่วแดงกับไม้ 1 ชั้น

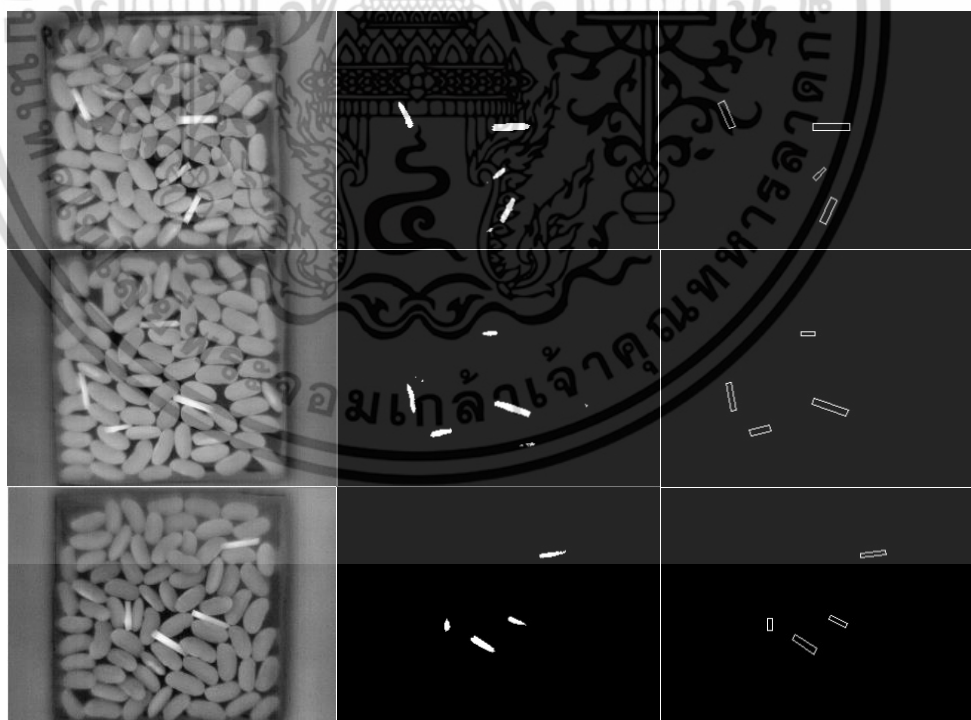


รูปที่ 4.23 ภาพถ่ายทางความร้อนของถั่วแดงกับไม้ 2 ชั้น

เอกสารนี้เป็นเอกสารที่สงวนไว้สำหรับการใช้งานเพื่อการศึกษาเท่านั้น ไม่อนุญาตให้นำไปใช้ประโยชน์ด้านการค้า ไม่ว่าจะกรณีใดๆ ทั้งสิ้น อีกทั้งห้ามมิให้ดัดแปลงเนื้อหา และต้องอ้างอิงถึงเจ้าของเอกสารทุกครั้งที่มีการนำไปใช้

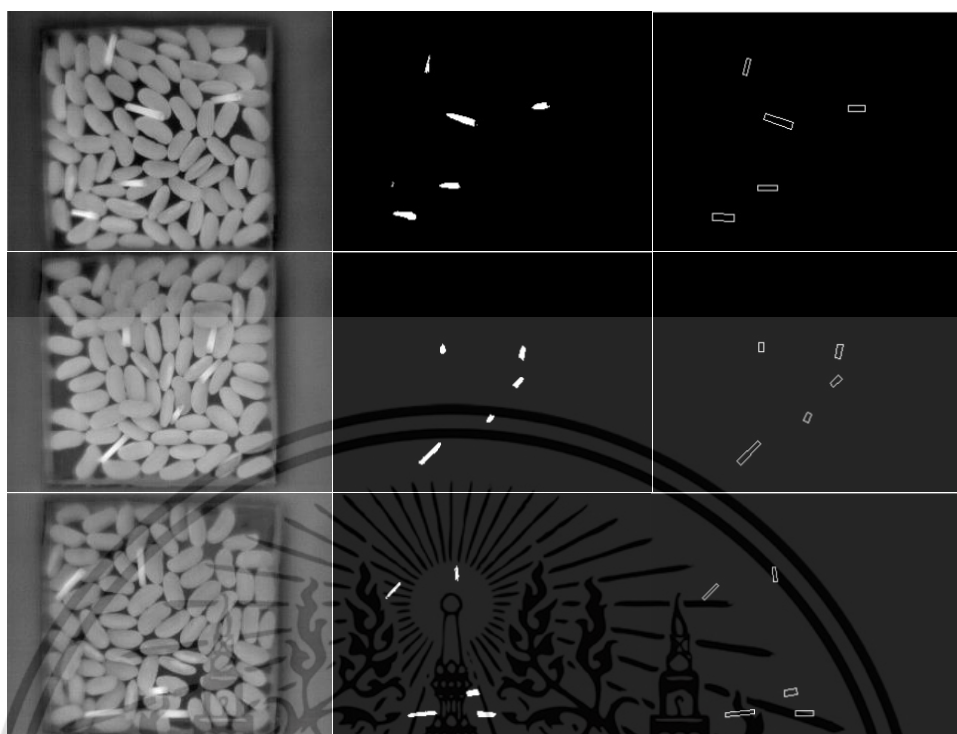


รูปที่ 4.24 ภาพถ่ายทางความร้อนของข้าวแดงกับไม้ 3 ชั้น



รูปที่ 4.25 ภาพถ่ายทางความร้อนของข้าวแดงกับไม้ 4 ชั้น

เอกสารนี้เป็นเอกสารที่สงวนไว้สำหรับการใช้งานเพื่อการศึกษาเท่านั้น ไม่อนุญาตให้นำไปใช้ประโยชน์ด้านการค้า ไม่ว่าจะกรณีใดๆ ทั้งสิ้น อีกทั้งห้ามมิให้ดัดแปลงเนื้อหา และต้องอ้างอิงถึงเจ้าของเอกสารทุกครั้งที่มีการนำไปใช้



รูปที่ 4.26 ภาพถ่ายทางความร้อนของข้าวแดงกับไม้ 5 ชั้น

เอกสารนี้เป็นเอกสารที่สงวนไว้สำหรับการใช้งานเพื่อการศึกษาเท่านั้น ไม่อนุญาตให้นำไปใช้ประโยชน์ด้านการค้า ไม่ว่าจะกรณีใดๆ ทั้งสิ้น อีกทั้งห้ามมิให้ดัดแปลงเนื้อหา และต้องอ้างอิงถึงเจ้าของเอกสารทุกครั้งที่มีการนำไปใช้

บทที่ 5

สรุปและข้อเสนอแนะ

งานวิจัยนี้นำเสนอการตรวจจับและนับจำนวนสิ่งแปลกปลอมที่ปะปนในเมล็ดพืชด้วยเทคนิคแอกทีฟเทอร์โมกราฟี ในการทดลองได้ทำการทดลอง 3 ส่วนคือ การวิเคราะห์ภาพถ่ายความร้อนแบบสี และการวิเคราะห์ภาพถ่ายความร้อนแบบ gray scale และการทดลองเพื่อตรวจสอบประสิทธิภาพของระบบและซอฟต์แวร์ที่พัฒนา และนำภาพที่ได้มาทำการตรวจจับสิ่งแปลกปลอมที่ปะปนในเมล็ดถั่วแดงและถั่วลิสง โดยกำหนดสิ่งแปลกปลอม 3 ชนิด คือ หิน ไม้ และพลาสติก และทำการกำหนดให้เมล็ดพืชเทียบปริมาณเป็น 100 เปอร์เซ็นต์ทั้ง 2 ตัวอย่างเมล็ดพืช โดยที่ไม่มีสิ่งแปลกปลอมมาปะปนอยู่ โดยกำหนดปริมาณจริงเท่ากับ 10 เมล็ด จากนั้นทำการปรับอัตราส่วนระหว่างจำนวนเมล็ดพืชและสิ่งแปลกปลอมในอัตราส่วนดังนี้ 9:1, 8:2, 7:3, 6:4, 5:5 และ 0:10 ตามลำดับ ซึ่งระยะเวลาที่เหมาะสมในการให้ความร้อนแก่เมล็ดพืชและสิ่งแปลกปลอม คือ 10 วินาที และช่วงเวลาคายความร้อน คือ 3 วินาที ซึ่งเวลาดังกล่าวทำให้ได้ภาพถ่ายความร้อนที่ชัดเจนเพื่อนำมาวิเคราะห์และหาจำนวนสิ่งแปลกปลอมด้วยซอฟต์แวร์ Microsoft Visual Studio โดยใช้ภาษา C# (Emgu CV Library)

ผลการทดลองที่ได้พบว่าการตรวจจับสิ่งแปลกปลอมด้วยระบบสีสามารถตรวจจับและนับจำนวนได้แม่นยำแต่ในบางอัตราส่วนเช่น ถั่วแดงกับพลาสติก (5:5) ถั่วแดงกับไม้ (8:2) และ (5:5) ถั่วแดงกับหิน (5:5) และถั่วลิสงกับพลาสติก (9:1) และ (8:2) มีค่าความคลาดเคลื่อนของโปรแกรมในการตรวจจับและนับจำนวนของสิ่งแปลกปลอม เนื่องจากเฉดสีของเมล็ดพืชและสิ่งแปลกปลอมมีเฉดสีที่ใกล้เคียงกันซึ่งการวิเคราะห์ด้วยระบบสีนั้นจำเป็นต้องมีการตั้งค่า level : span ทุกครั้งเมื่อมีการเปลี่ยนกลุ่มตัวอย่างทำให้การวิเคราะห์ค่อนข้างยากเนื่องจากค่าสีของตัวอย่างที่ได้มีช่วงไม่แน่นอน จากนั้นทำการตรวจจับสิ่งแปลกปลอมด้วยระบบ gray scale เพื่อแก้ไขข้อจำกัดดังกล่าว และทำการทดลอง gray scale เพื่อวิเคราะห์หาค่าความเข้มของระดับสีเทา (intensity) ของกลุ่มตัวอย่างและทำการเทรซโฮลเพื่อแยกสิ่งแปลกปลอมออกจากเมล็ดซึ่งผลการทดลองในการแยกสิ่งแปลกปลอมที่ได้ค่อนข้างแม่นยำมากเมื่อค่า intensity ต่างกันมาก เช่นถั่วกับพลาสติก จากนั้นทดลองหาประสิทธิภาพของเครื่องมือวัด โดยใช้ตัวอย่างถั่วแดงกับไม้ในการทดลองเนื่องจากความเป็นไปได้ของไม้ที่เป็นสิ่งแปลกปลอมที่จะเกิดขึ้นได้จากการเก็บเกี่ยวผลผลิตอีกทั้งสีและลักษณะทางกายภาพที่คล้ายกับถั่วแดง จากผลการทดลองที่ได้พบว่าเปอร์เซ็นต์ความถูกต้องของจำนวนสิ่งแปลกปลอมที่โปรแกรมตรวจจับได้คือ 98% ซึ่งค่อนข้างแม่นยำมาก และค่าความคลาดเคลื่อนในการตรวจจับสิ่งแปลกปลอมของซอฟต์แวร์นั้นเกิดจากที่เมล็ดพืชซ้อนทับสิ่งแปลกปลอมทำให้กล้องถ่ายภาพความร้อนมองไม่เห็นเนื่องจากกล้องถ่ายภาพความร้อนเป็นเครื่องมือวัดอุณหภูมิที่ผิวจึงทำให้ไม่สามารถเห็นภาพสิ่งแปลกปลอมดังกล่าวได้ส่งผลให้ซอฟต์แวร์ไม่สามารถตรวจจับสิ่งแปลกปลอมได้ และในกรณีที่

เอกสารนี้เป็นเอกสารที่สงวนไว้สำหรับการใช้งานเพื่อการศึกษาเท่านั้น ไม่อนุญาตให้นำไปใช้ประโยชน์ด้านการค้า ไม่ว่าจะกรณีใดๆ ทั้งสิ้น อีกทั้งห้ามมิให้ตัดแปลงเนื้อหา และต้องอ้างอิงถึงเจ้าของเอกสารทุกครั้งที่มีการนำไปใช้

เมล็ดพืชและสิ่งแปลกปลอมมีค่าความจุความร้อนจำเพาะ และขนาดที่ใกล้เคียงกันนั้นก็เป็นอีกปัจจัยที่จะส่งผลให้กล้องถ่ายภาพความร้อนแยกความแตกต่างของวัตถุได้ยาก

ในการพัฒนาเพื่อใช้ในระบบอุตสาหกรรมจริงอาจจะต้องมีเครื่องมือในการเคลื่อนย้ายตัวอย่างเพื่อไม่ให้ตัวอย่างซ้อนทับกันเพื่อให้ผลการวิเคราะห์ภาพนั้นแม่นยำยิ่งขึ้นและอาจจะมีการคัดแยกสิ่งแปลกปลอมอัตโนมัติโดยวิธีการใช้ลมเป่าหรือเครื่องมือในการคัดออกจากระบบก่อนทำการบรรจุภัณฑ์ และระบบที่พัฒนาขึ้นนี้สามารถนำหลักการไปประยุกต์ใช้งานเพื่อตรวจหาสิ่งแปลกปลอมในผลิตภัณฑ์อื่นๆ ต่อไปในอนาคตได้



เอกสารนี้เป็นเอกสารที่สงวนไว้สำหรับการใช้งานเพื่อการศึกษาเท่านั้น ไม่อนุญาตให้นำไปใช้ประโยชน์ด้านการค้าไม่ว่ากรณีใดๆ ทั้งสิ้น อีกทั้งห้ามมิให้ดัดแปลงเนื้อหา และต้องอ้างอิงถึงเจ้าของเอกสารทุกครั้งที่มีการนำไปใช้

เอกสารอ้างอิง

- [1] เพ็ญญา ทรัพย์เจริญ 2544. การศึกษาทางมานุษยวิทยาโภชนาการ : กรณีถั่ว สถาบันการแพทย์แผน ไทย กรมการแพทย์กรุงเทพฯ
- [2] พงษ์เทพ เกิดดอนแฝก และคณะ. 2545. การศึกษาการใช้ แรงของสนามแม่เหล็กในการตัดแยกเมล็ดพืช. พิมพ์ครั้งที่ 6. (หน้า 330-334)
- [3] สุพรรณ ยั่งยืน และเสรี วงศ์พิเชษฐ์. 2550. การศึกษาและ พัฒนาเครื่องแยกดินทรายออกจากอ้อยลำ . Postharvest Newsletter. ปีที่ 6 ฉบับที่ 4
- [4] G.Ginesu, D.D. Giusto, V.Margner V., 2004. Dection of Foreign Bodies in Food by Thermal Image Processing.IEEE Trasactions on Industrial Electronics.51, 480-490.
- [5] Christiane MAIERHOFER, Mathias ROELLIG 2009 Active thermography for the characterization of surfaces and interfaces of historic masonry structures, Federal Institute for Materials Research and Testing (BAM), Berlin, Germany
- [6] P. Meinschmidt 2005, Thermographic detection of defects in wood and wood-based materials, Wilhelm-Klauditz-Institut (WKI), Fraunhofer-Institute for wood research, Braunschweig Germany
- [7] พิมพ์เพ็ญ พรเฉลิมพงศ์ และนิธิยา รัตนापนนท์. 2556. Thermal conductivity Food Network–Solution.[online]. Avaliable : <http://www.foodnetworksolution.com/wiki/word/0564/thermal-conductivity>,
- [8] Tan, P. V. 2010. **Specific Heat Capacities**. [online]. Avaliaable. http://www.polytee.com.vn/wysiwyg/file_up/Specific%20Heat%20Capacities%20-%20Solids.PDF.
- [9] ASHRAE. 1989. **Thermal Properties of Foods**. In A: ASHRAE Handbook of Fundamentals, American Society of Heating, Refrigeration, and Air Conditioning Engineers, Atlanta, Georgia: (N.P.)
- [10] Ramstad, P. E. and Geddes, W. F. 1942. **The respiration and storage behavior of soybeans**. Univ. Minn. Tech. Bul. p. 156.
- [11] Boudenne, A., Ibos, L., Fois, M., Majeste, J. and Gehin, C. E. 2005. **Electrical and thermal behavior of polypropylene filled with copper particles**. Composites: Part A, (36), p. 1545–1554
- [12] นวภัทรา หนูขนาด และทวีพล ชื้อสตัย. 2555. **การวัดและเครื่องมือวัด MEASUREMENT & INSTRUMENTATION**. กรุงเทพฯ : โรงพิมพ์ มิน เซอร์วิส ซัพพลาย.
- [13] Touloukian, Y. S. and Ho, C. Y. 1972. **Thermophysical Properties of Matter**. 8(1), **Thermal Radiative Properties of Nonmatallic Solids**. New York; Plenum Press
- [14] Mallory, J. F. 1969. **Thermal Insulation**. New York: Van Nostrand Reinhold

เอกสารนี้เป็นเอกสารที่สงวนไว้สำหรับการใช้งานเพื่อการศึกษาเท่านั้น ไม่อนุญาตให้นำไปใช้ประโยชน์ด้านการค้า ไม่ว่าจะกรณีใดๆ ทั้งสิ้น อีกทั้งห้ามมิให้ดัดแปลงเนื้อหา และต้องอ้างอิงถึงเจ้าของเอกสารทุกครั้งที่มีการนำไปใช้

- [15] Gubareff, G. G., Janssen, J. E. and Torborg, R. H. 1960. **Thermal Radiation Properties Survey**. Minneapolis-Honeywell Regulation Company, Minneapolis, MN: (N.P.)
- [16] Kreith, F. and Kreider, J. F. 1978. **Principle of solar Energy**. New York: Hemisphere Publishing
- [17] Jeng, L. L., Chuen, S. L. and Chung, T. S. 1998. **Measurement and analysis of ignition behavior for peanut shell during combustion**. Agricultural Machinery Engineering, China: National Chung-Hsing University, 7(3), p. 63-73.
- [18] Kazarian, E. A. and Hall, C. W. 1965. **Thermal properties of grains**. Transactions of the ASAE, 48(8), p. 33-37.
- [19] แสงสี [online]. Available. <http://www.prc.ac.th/newart/webart/colour06.html>
- [20] ประวิทย์ วัฒนากร. 2553. **กล้องถ่ายภาพความร้อนบอกที่ซ่อนอุณหภูมิ**. [online]. Available. <http://www.vcharkarn.com/varticle/39579>
- [21] Gruner, K.D. 2553. **Principles of Non-Contact Temperature Measurement**. [online]. Available. http://support.fluke.com/raytek-sales/Download/Asset/IR_THEORY_55514_ENG_REVB_LR.PDF.
- [22] มนตรี พิรุณเกษตร. 2548. **การถ่ายเทความร้อน ฉบับเตรียมสอบและเสริมประสบการณ์**. พิมพ์ครั้งที่ 4. กรุงเทพฯ: วิทยาพัฒนา
- [23] Emekci, M., Navarro, S., Donahaye, E., Rindner, M. and Azrieli A. 2002. **Respiration of Rhyzopertha dominica (F.) at reduced oxygen concentrations**. Journal of Stored Products, (40), p. 27-38.
- [24] Chandra, B. S., Paliwal, J., Jayas, D. S. and White, N. D. G. 2010. **Identification of insect-damaged wheat kernels using short-wave near-infrared hyperspectral and digital colour imaging**. Computers and Electronics in Agriculture, (73), p. 118-125.
- [25] Chelladurai, V., Jayas, D. S. and White, N. D. G. 2010. **Thermal imaging for detecting fungal infection in stored wheat**. Journal of Stored Products, (46), p. 174-179.
- [26] FLIR [online]. Available. <http://www.flir.com/cs/emea/en/view/?id=41781>
- [27] Fluke [online]. Available. <http://www.fluke.com/fluke>



ภาคผนวก

เอกสารนี้เป็นเอกสารที่สงวนไว้สำหรับการใช้งานเพื่อการศึกษาเท่านั้น ไม่อนุญาตให้นำไปใช้ประโยชน์ด้านการค้า
ไม่ว่ากรณีใดๆ ทั้งสิ้น อีกทั้งห้ามมิให้ดัดแปลงเนื้อหา และต้องอ้างอิงถึงเจ้าของเอกสารทุกครั้งที่มีการนำไปใช้



ภาคผนวก
ผลงานวิจัยที่เกี่ยวข้องกับการทำวิทยานิพนธ์และได้รับการตีพิมพ์

เอกสารนี้เป็นเอกสารที่สงวนไว้สำหรับการใช้งานเพื่อการศึกษาเท่านั้น ไม่อนุญาตให้นำไปใช้ประโยชน์ด้านการค้า
ไม่ว่ากรณีใดๆ ทั้งสิ้น อีกทั้งห้ามมิให้ดัดแปลงเนื้อหา และต้องอ้างอิงถึงเจ้าของเอกสารทุกครั้งที่มีการนำไปใช้

TSAE

2013

การประชุมวิชาการ
สมาคมวิศวกรรมเกษตรแห่งประเทศไทย
ระดับชาติ ครั้งที่ 14 และระดับนานาชาติ ครั้งที่ 6
The 14th TSAE National Conference and
the 6th TSAE International Conference
(TSAE 2013)

โรงแรมหัวหินแกรนด์ แอเม็ค สาขา
จังหวัดประจวบคีรีขันธ์
1-4 เมษายน 2556



ด้วย

กระทรวงเกษตรและสหกรณ์
ร่วมกับ วิศวกรรมเกษตร





TFE-31	ผลของอุณหภูมิและเวลาในการอบต่อคุณภาพข้าวที่มีปริมาณอะไมโลสต่ำ	565
TOT-02	การเพิ่มการถ่ายเทความร้อนภายในเครื่องแลกเปลี่ยนความร้อนด้วยครีบบางขวาง	570
TOT-03	พฤติกรรมการถ่ายเทความร้อนในท่อสี่เหลี่ยมจัตุรัสโดยใช้ครีบบรูปตัว-W	577
TOT-04	อิทธิพลของมุมปะทะของครีบบางขวางต่อการเผาไหม้เชื้อเพลิงชีวมวลภายในเตาเผาฟลูอิดไธซ์เบด	583
TOT-05	การเพิ่มการถ่ายเทความร้อนในช่องแผ่นขนานโดยใช้ครีบบหัก	590
TPT-01	ปัจจัยที่มีผลต่อการแตกหักของข้าวขาวดอกมะลิ 105 ในขั้นตอนการขัดขาว	596
TPT-03	การทดสอบประสิทธิภาพของบำบัดก๊าซซัลเฟอร์ไดออกไซด์ของโรงรมล้าไยสดจำลองในเขตภาคเหนือตอนบน	599
TPT-04	เครื่องต้นแบบเพื่อตรวจวัดปริมาณเนื้อเยื่อแห้ง (DRC) โดยวิธีวัดค่าความหนืด	605
TPT-05	ผลของการจุ่มด้วยโซเดียมไฮโปคลอไรต์ต่อคุณภาพของลองกองพร้อมบริโภค	608
TPT-06	ผลของสารเคลือบผิวที่รับประทานได้ต่อโครงสร้างเซลล์เนื้อเยื่อลำไยแช่แข็ง	615
TPT-07	การปรับปรุงคุณภาพเนื้อสัมผัสของข้าวงอกด้วยวิธีการขัดขาว	621
TPT-08	การถ่ายเทมวลสารในระหว่างการย้อมสีผ้าที่ใช้ฟางข้าวเป็นตัวดูดซับชีวภาพ และผลกระทบของการดูดซับต่อคุณภาพสีของผ้า	626
TPT-09	การปรับปรุงสมบัติทางกลของฟิล์มบริโอคได้จากโคโตซานโดยวิธีการทางกายภาพ	632
TPT-12	การวิเคราะห์การเกิดด่างวงข้าว (มอด) ในข้าวด้วย NIRS.	637
TPT-13	การใช้คลื่นแสงอินฟราเรดย่านใกล้แบบฟูเรียร์ทรานส์ฟอร์มและห้วงวัดไฟเบอร์ออปติกทำนายค่าความชื้นยาสมุนไพรชนิดผง (จันทน์ลีลา)	644
TPT-14	การจำแนกความสุก - แก่ของทุเรียนพันธุ์ “หมอนทอง” แบบไม่ทำลาย ด้วยสเปกโทรสโกปีช่วงแสงที่มองเห็นได้ที่เปลือก	650
TPT-17	การตรวจจับสิ่งแปลกปลอมในเมล็ดพืชด้วยเทคนิคแอกทีฟเทอร์โมกราฟี	655
TPT-18	การปกป้องผลแอปเปิ้ลด้วยวัสดุกันกระแทกจากฟางข้าว	662
TPT-19	การจำแนกมังคุดที่เกิดอาการเนื้อแก้วโดยการวิเคราะห์ข้อมูลตัวแปรพหุคูณ จากสมบัติเชิงกล และทางกายภาพ	668
TPT-21	การศึกษาสมบัติเชิงกลและสมบัติทางกายภาพในการตรวจสอบ ความแตกต่างทางสรีรวิทยาของชิง	674
TPT-22	ผลของความชื้นต่อสมบัติทางกายภาพของเมล็ดถั่วลิสงพันธุ์ขอนแก่น 84-8	681
TSWE-01	ผลกระทบของการเปลี่ยนแปลงการใช้ที่ดินและสภาพอากาศต่อปริมาณน้ำท่าผิวดิน (กรณีศึกษาลุ่มน้ำฝาง จังหวัดเชียงใหม่)	691
TSWE-02	การเพิ่มประสิทธิภาพของการปลูกไม้ผลบนที่ลาดชันโดยใช้ระบบการให้น้ำแบบหยด ร่วมกับสารดูดความชื้นโพลีเมอร์	695
TSWE-04	การเปรียบเทียบการออกแบบระบบชลประทานชนิดฝอยสำหรับภูมิทัศน์ด้วยโปรแกรม EAGLE POINT 2009, LAND F/X 2009 และ RAINCAD V.5	703
TSWE-05	การประยุกต์ใช้แบบจำลอง HEC-RESSIM ช่วยในการบริหารงานอ่างเก็บน้ำ โครงการส่งน้ำและบำรุงรักษาลำพระเพลิง	709
TSWE-08	การทดสอบและประเมินผลการให้น้ำหยดสำหรับไร้อ่อนนอกเขตชลประทานในภาคกลาง	715

เอกสารนี้เป็นเอกสารที่สงวนไว้สำหรับการใช้งานเพื่อการศึกษาเท่านั้น ไม่อนุญาตให้นำไปใช้ประโยชน์ด้านการค้า ไม่ว่าจะกรณีใดๆ ทั้งสิ้น อีกทั้งห้ามมิให้ตัดแปลงเนื้อหา และต้องอ้างอิงถึงเจ้าของเอกสารทุกครั้งที่มีการนำไปใช้

การตรวจจับสิ่งแปลกปลอมในเมล็ดพืชด้วยเทคนิคแอกทีฟเทอร์โมกราฟี

*วารวิช พรพระ¹ ทวีพล ชื่อสัตย์¹ และ นวภัทรา หนูนา²

¹ภาควิชาวิศวกรรมการวัดและควบคุมคณะวิศวกรรมศาสตร์ สถาบันเทคโนโลยีพระจอมเกล้าเจ้าคุณทหารลาดกระบัง

ถนนฉลองกรุง เขตลาดกระบัง กรุงเทพมหานคร 10520

²ภาควิชาวิศวกรรมอาหาร คณะวิศวกรรมศาสตร์ สถาบันเทคโนโลยีพระจอมเกล้าเจ้าคุณทหารลาดกระบัง

ถนนฉลองกรุง เขตลาดกระบัง กรุงเทพมหานคร 10520

ผู้เขียนติดต่อ: วารวิช พรพระ E-mail: king_hakker@hotmail.com

บทคัดย่อ

งานวิจัยนี้นำเสนอการตรวจจับสิ่งแปลกปลอมที่ปะปนในเมล็ดพืชด้วยเทคนิคแอกทีฟเทอร์โมกราฟีวิธีนี้อาศัยหลักการของการแผ่รังสีจากวัตถุที่มีการถ่ายเทความร้อนที่ต่างกัน โดยระบบนี้ประกอบด้วย กล้องถ่ายภาพความร้อน แหล่งกำเนิดความร้อน สายพานสำหรับลำเลียงเมล็ดตัวอย่าง ซึ่งควบคุมด้วยเครื่องควบคุมแบบตรรก ที่โปรแกรมได้ และ คอมพิวเตอร์สำหรับประมวลผลภาพถ่ายความร้อนแบบเวลาจริงในการทดลองได้ทำการตรวจจับหาสิ่งแปลกปลอม เช่น หิน ไม้ และพลาสติก ที่ปะปนอยู่ในเมล็ดถั่วแดง และถั่วลิสง การทดลองแบ่งออกเป็น 2 ส่วน ส่วนแรก คือ การหาระยะเวลาที่เหมาะสมในการให้ความร้อนแก่ตัวอย่างและระยะเวลาในการตรวจจับด้วยกล้องถ่ายภาพความร้อน จากนั้นนำภาพถ่ายความร้อนมาวิเคราะห์ด้วยการประมวลผลภาพแบบเวลาจริงเพื่อแยกแยะและหาปริมาณสิ่งแปลกปลอมกับเมล็ดพืช โดยใช้ซอฟต์แวร์ซึ่งพัฒนาบน Vision Builder AI ของบริษัท National Instruments จากผลการทดลองได้เปรียบเทียบความแตกต่างระหว่างธัญพืชกับสิ่งแปลกปลอมได้ และสามารถแยกแยะและหาปริมาณสิ่งแปลกปลอมกับเมล็ดพืชได้อย่างอัตโนมัติ

คำสำคัญ: ภาพถ่ายทางความร้อน; ธัญพืช; สิ่งแปลกปลอม; การตรวจสอบแบบไม่ทำลาย

1. บทนำ

ในอุตสาหกรรมการผลิตที่เกี่ยวข้องกับเกษตรกรรม ไม่ว่าจะ เป็นวัตถุดิบหรืออาหารสำเร็จรูป ในกระบวนการผลิต ผู้ผลิตย่อมที่จะต้องทำให้วัตถุดิบที่ได้เหล่านั้นมีความสะอาดปราศจากสิ่งแปลกปลอมเพื่อให้ได้คุณภาพและเพิ่มมูลค่าให้กับวัตถุดิบนั้นๆ ในปัจจุบันคนให้ความสำคัญในเรื่องของการดูแลสุขภาพมากขึ้น มีการเลือกสรรวัตถุดิบที่มีประโยชน์ต่อร่างกายนำมาปรุงอาหาร เช่น เมล็ดพืชชนิดต่างๆ ที่อุดมด้วยคุณค่าถูกนำมาแปรรูปเป็นอาหาร และเครื่องดื่มที่มีประโยชน์ต่างๆ มากมาย[1] โดยเฉพาะเมล็ดพืชเป็นวัตถุดิบที่สำคัญที่นำไปใช้เพื่อการแปรรูปอาหารเป็นแป้งแล้วนำไปแปรรูปต่อเป็นผลิตภัณฑ์อาหารต่างๆ เพราะฉะนั้นในกระบวนการผลิตหรือกระบวนการที่เกี่ยวข้องกับเมล็ดพืชจึงจำเป็นต้องคำนึงถึงความสะอาดปราศจากสิ่งแปลกปลอม ซึ่งสิ่งแปลกปลอมที่ปะปนอยู่ในวัตถุดิบเกิดได้จากหลายปัจจัย เช่น การเก็บเกี่ยว การขนส่ง การเก็บรักษา เป็นต้น ซึ่งปัจจัยต่างๆ เหล่านี้ทำให้มีสิ่งแปลกปลอมปะปนเข้ามาในเมล็ดพืชได้ทำให้มีผลในด้านคุณภาพของวัตถุดิบลดลง วิธีการดั้งเดิมในการคัดแยกสิ่งแปลกปลอมออกจาก

วัตถุดิบคือการใช้กำลังคนในการคัดแยก แต่ปัจจัยทางด้านกายภาพของแต่ละบุคคลทำให้มีผลในการคัดแยกเช่น เพศ อายุ สภาพแวดล้อมในการทำงาน เป็นต้น[2] หรือวิธีการคัดแยกในทางเชิงกลบางวิธี เช่น การใช้ตะแกรงร่อน ไม่สามารถแยกวัตถุดิบที่มีลักษณะทางกายภาพดังเช่นขนาดที่ใกล้เคียงกันได้[3] และส่วนของวิธีการคัดแยกหรือการตรวจสอบแบบไม่สัมผัสกับวัตถุดิบมีหลากหลายวิธี เช่น วิธีการคัดแยกสี (color sorter) เป็นวิธีการคัดแยกด้วยสีที่ผิวของวัตถุ เป็นอุปกรณ์ที่ใช้เพื่อคัดแยกวัสดุที่มีสีแตกต่างกันออกจากกัน โดยการใช้การถ่ายภาพและวิเคราะห์ภาพถ่าย (Image processing) เปรียบเทียบกับฐานข้อมูลที่เก็บไว้ แต่สำหรับวิธีนี้ยังคงมีข้อจำกัดคือไม่สามารถแยกวัตถุดิบที่มีสีคล้ายคลึงกันได้อย่างชัดเจน ทำให้ประสิทธิภาพในการตรวจสอบหรือคัดแยกลดลง ทั้งนี้เพื่อให้ตอบสนองต่อความต้องการวัตถุดิบที่มีความสะอาดและได้คุณภาพต่อลูกค้า ปัจจัยในด้านความสะอาดและคุณภาพในกระบวนการที่เกี่ยวข้องกับสินค้าเพื่อบริโภคย่อมเป็นปัจจัยสำคัญและมีความจำเป็นอย่างมาก

แยกสารปนเปื้อนออกจากวัตถุดิบหรือเมล็ดพืชโดยการใช้น้ำเพื่อการศึกษาเท่านั้น ไม่อนุญาตให้นำไปใช้ประโยชน์ด้านการค้า

ไม่ว่ากรณีใดๆ ทั้งสิ้น อีกทั้งห้ามมิให้ดัดแปลงเนื้อหา และต้องอ้างอิงถึงเจ้าของเอกสารทุกครั้งที่มีการนำไปใช้

วิธีการตรวจสอบแบบไม่ทำลายเป็นวิธีหนึ่งที่ไม่ต้องสัมผัสกับวัตถุซึ่งจะไม่ก่อให้เกิดความเสียหายต่อวัตถุดิบทั้งทางด้านคุณภาพและกายภาพ โดยทั่วไปมีการนำเทคนิค Active thermography ไปประยุกต์ใช้ในงานด้านอาหารหรือด้านอื่นมากมาย เช่น การนำไปตรวจจับสิ่งแปลกปลอมในอาหารโดยใช้หลักการถ่ายภาพความร้อน[4] นำหลักการ Active thermography ไปใช้ในการวิเคราะห์พื้นผิวและรอยต่อของอิฐ[5] และนำหลักการถ่ายภาพความร้อนไปตรวจจับรอยชำรุดใน

วัสดุที่เป็นไม้[6] เป็นต้น งานวิจัยนี้นำเสนอการตรวจจับสิ่งแปลกปลอมที่ปะปนในเมล็ดพืชด้วยเทคนิคแอกทีฟเทอร์โมกราฟี การประยุกต์ใช้งานกล้องถ่ายภาพความร้อนเพื่อการวัดและการทดสอบแบ่งออกเป็น 2 ประเภท คือ Passive Thermography และ Active Thermography ซึ่งวิธี Active Thermography เป็นวิธีที่ได้เลือกนำมาทดสอบวิธีการประยุกต์ในการใช้ระบบนี้โดยทั่วไปแล้วจะต้องมีแหล่งกระตุ้นความร้อนจากภายนอก (Heat Source) มาเป็นแหล่งให้ความร้อนกับวัตถุที่จะทำการตรวจสอบ ซึ่งตัวอย่างที่นิยมนำมาใช้เป็นแหล่งกระตุ้นความร้อนสำหรับงานตรวจสอบแบบไม่ทำลาย คือ แสงจากหลอดไฟฮาโลเจน หลอดไฟซีนอน แสงเลเซอร์ กระแสไฟฟ้าหมนวน หรือ อัลตราโซนิก เป็นต้น สำหรับวิธีการตรวจสอบแบบไม่ทำลายโดยวิธี Active thermography นี้จะมีด้วยกันอยู่หลายวิธี เช่น วิธี lock-in infrared thermography การทดสอบด้วยวิธีนี้มีความซับซ้อนมากกว่าวิธีอื่นเนื่องจาก แหล่งให้ความร้อนจะต้องป้อนเป็นลักษณะคาบเวลา เช่น สัญญาณไซน์ ผ่านไปยังอุปกรณ์กระตุ้นความร้อน เช่น หลอดไฟที่ให้ความร้อน หรือ อัลตราโซนิก จากนั้นวัดผลตอบสนองในรูปแบบของเฟส (Phase) และ แมกนิจูด (Magnitude) จากภาพที่ได้จากกล้องถ่ายภาพความร้อน ในภาพของเฟสสามารถบอกถึงความสัมพันธ์ของเวลาในการแพร่ความร้อน และความผิดปกติบนพื้นผิวได้ วิธี Pulse thermography วิธีนี้เป็นวิธีการให้ความร้อนจากแหล่งกระตุ้นเพียงแค่วินาทีสั้น ๆ ทั้งนี้ขึ้นอยู่กับชนิดของพื้นผิววัสดุ ค่าความจุความร้อนจำเพาะของวัสดุ (C_p) และค่าสัมประสิทธิ์การแผ่รังสีความร้อน (Emissivity) และสำหรับความร้อนที่ให้ไปถ้าเป็นโลหะจะมีค่าการนำความร้อนสูงซึ่งให้ความร้อนในช่วงมิลลิวินาที แต่ถ้าวัสดุเป็นพลาสติกหรือโลหะจะให้ความร้อนในช่วง

วินาที ซึ่งค่าการนำความร้อน (thermal conductivity) หรือสัมประสิทธิ์การนำความร้อน เป็นสมบัติเชิงความร้อน (thermal properties) ของวัสดุ ที่บ่งบอกถึงอัตราเร็วของการส่งผ่านพลังงานความร้อนโดยการนำความร้อน (conduction) ของวัสดุต่างๆ ซึ่งเป็นการส่งผ่านความร้อนภายในโมเลกุลของวัสดุ จากโมเลกุลที่ระดับพลังงานสูงกว่าไปยังระดับที่ต่ำกว่า ของแต่ละวัสดุก็จะไม่เท่ากัน[7]

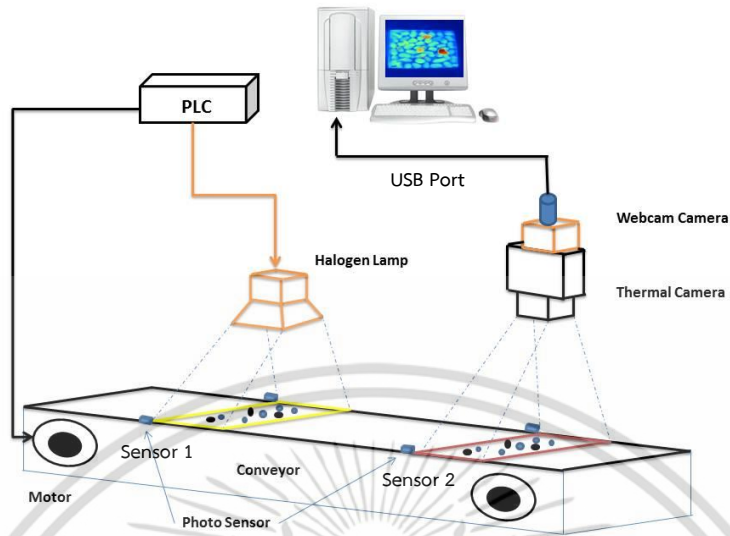
2. อุปกรณ์และวิธีการ

การตรวจจับสิ่งแปลกปลอมที่ปะปนในเมล็ดพืชด้วยเทคนิคแอกทีฟเทอร์โมกราฟี ประกอบด้วย กล้องถ่ายภาพความร้อนที่ใช้ในการทดลองคือ FLUKE Ti32 IR FUSION TECHNOLOGY (320x240 FPA) Infrared spectral band 7.5 μm – 14 μm , หลอดไฟ halogen 50-60 Hz 100W, สายพานลำเลียง เครื่องที่โปรแกรมได้ (PLC) model:SYSMAC C28H ที่ใช้ในการควบคุมสายพานและไฟแหล่งกำเนิดแสง โฟโตเซนเซอร์ กล้อง webcam ที่ใช้สำหรับจับภาพจากกล้องถ่ายภาพความร้อน ซอฟต์แวร์ Vision Builder AI Version 2012 และ computer ที่ใช้ในการประมวลผล ระบบการทดลองแสดงดังรูปที่ 1

2.1 การทำงานของระบบการตรวจจับสิ่งแปลกปลอมในเมล็ดพืช

ในการทดลองได้นำตัวอย่างเมล็ดพืชมาทั้งหมด 2 ชนิด คือ ถั่วแดงและถั่วลิสง และสิ่งแปลกปลอมกำหนดขึ้นมา 3 ชนิด คือ ไม้ หิน และพลาสติก โดยในการทดลองกำหนดให้กลุ่มตัวอย่างเมล็ดพืชและสิ่งแปลกปลอมที่ปะปนกันวางอยู่ในถาดทดลองขนาด 10x10 ซม. วางบนสายพานซึ่งเคลื่อนที่ด้วยมอเตอร์ที่ถูกควบคุมจาก PLC ถาดทดลองเคลื่อนบนสายพานจนกระทั่งเซนเซอร์ตัวที่ 1 ซึ่งเป็นตำแหน่งของแหล่งกำเนิดแสงความร้อน (halogen lamp) ตรวจจับได้จากนั้นสายพานหยุดเพื่อให้ความร้อน 5 วินาที ถาดกลุ่มตัวอย่างเคลื่อนที่จากตำแหน่งเซนเซอร์ตัวที่ 1 ไปยังเซนเซอร์ตัวที่ 2 ซึ่งเป็นตำแหน่งติดตั้งกล้องถ่ายภาพความร้อน โดยใช้เวลา 3 วินาที ซึ่งเป็นช่วงเย็นตัวลง (cooling) ของกลุ่มตัวอย่าง

เอกสารนี้เป็นเอกสารที่สงวนไว้สำหรับการใช้งานเพื่อการศึกษาเท่านั้น ไม่อนุญาตให้นำไปใช้ประโยชน์ด้านการค้าไม่ว่ากรณีใดๆ ทั้งสิ้น อีกทั้งห้ามมิให้ตัดแปลงเนื้อหา และต้องอ้างอิงถึงเจ้าของเอกสารทุกครั้งที่มีการนำไปใช้



รูปที่ 1 ระบบการทดลอง

เมื่อเซนเซอร์ตัวที่ 2 ตรวจจับขาดได้ สายพานจะหยุด 1 วินาที เพื่อให้กล้องถ่ายภาพความร้อนทำการจับภาพกลุ่มตัวอย่าง กลุ่มตัวอย่างที่ตรวจจับได้จะมีสีที่แตกต่างกัน เนื่องจากคุณสมบัติการแผ่รังสีความร้อนที่แตกต่างกันของวัตถุ และใช้กล้อง webcam จับภาพถ่ายที่ได้จากกล้องถ่ายภาพความร้อนเพื่อนำมาทำการวิเคราะห์หาจำนวนของสิ่งแปลกปลอมที่ปะปนมาในเมล็ดพืชด้วยซอฟต์แวร์ vision builder AI อัลกอริทึมการตรวจจับสิ่งแปลกปลอมที่ปะปนในเมล็ดพืชด้วยเทคนิคแอกทีฟเทอร์โมกราฟี แสดงดังรูปที่ 2

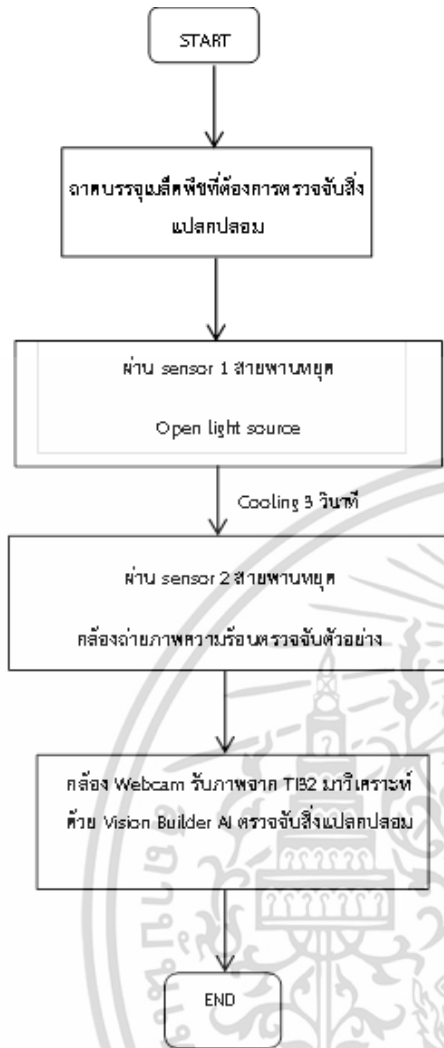
แปลกปลอม เนื่องจากการแผ่รังสีความร้อนของสิ่งแปลกปลอมกับเมล็ดพืชมีค่าแตกต่างกัน

2.2 การคัดแยกจำนวนสิ่งแปลกปลอมออกจากเมล็ดพืชโดยใช้ภาพถ่ายทางความร้อนด้วยซอฟต์แวร์ Vision Builder AI

ในขั้นตอนการทดลองการคัดแยกนี้เริ่มต้นทำการกำหนดให้เมล็ดพืชเทียบปริมาณเป็น 100 เปอร์เซ็นต์ทั้ง 2 ตัวอย่างเมล็ดพืช โดยที่ไม่มีสิ่งแปลกปลอมมาปะปนอยู่ โดยกำหนดปริมาณจริงเท่ากับ 10 เมล็ด จากนั้นทำการปรับอัตราส่วนระหว่างจำนวนเมล็ดพืชและจำนวนสิ่งแปลกปลอมในอัตราส่วนดังนี้ 8:2, 6:4, 5:5 และ 0:10 ตามลำดับ

แล้วทำการวิเคราะห์ด้วยโปรแกรม Vision Builder AI ซึ่งเป็นผลิตภัณฑ์ของบริษัท National Instruments โดยที่โปรแกรมดึงภาพสีจากกล้อง webcam เชื่อมต่อผ่าน USB จากนั้นกำหนดค่า threshold ของค่าสี (Hue) ในซอฟต์แวร์ที่ใช้ในการวิเคราะห์ โดยกำหนดช่วงของเฉดสีร้อนคือสีแดงอยู่ในช่วง 0-18 และเฉดสีเย็นคือสีฟ้าเพื่อตรวจจับสิ่ง

เอกสารนี้เป็นเอกสารที่สงวนไว้สำหรับการใช้งานเพื่อการศึกษาเท่านั้น ไม่อนุญาตให้นำไปใช้ประโยชน์ด้านการค้า ไม่ว่ากรณีใดๆ ทั้งสิ้น อีกทั้งห้ามมิให้ดัดแปลงเนื้อหา และต้องอ้างอิงถึงเจ้าของเอกสารทุกครั้งที่มีการนำไปใช้



รูปที่ 2 การตรวจจับสิ่งแปลกปลอมที่ปะปนในเมล็ดพืชด้วยเทคนิค แอคทีฟเทอร์โมกราฟี

โดยที่เมล็ดพืชเมื่อผ่านการให้ความร้อนและ cooling แล้ว ภาพที่ได้จากกล้องถ่ายภาพความร้อนจะเป็นเฉดสีฟ้า และสิ่งแปลกปลอมจะเป็นเฉดสีแดง โปรแกรมจะทำการตรวจจับสิ่งแปลกปลอมโดยใช้เครื่องมือคำสั่ง Detect Object ตรวจจับวัตถุที่เป็นสีแดงเพื่อเปรียบเทียบกับจำนวนสิ่งแปลกปลอมจริง หน้าต่างซอฟต์แวร์ที่ใช้ในการวิเคราะห์ที่พัฒนาขึ้นแสดงดังรูปที่ 3

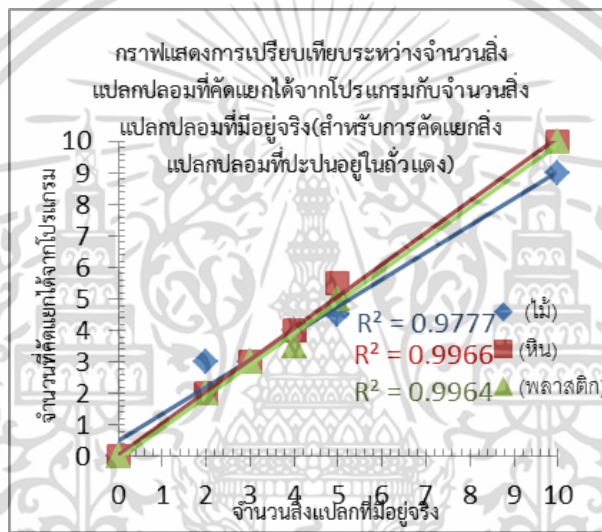
3.ผลการทดลองและวิจารณ์

ในงานวิจัยนี้ได้ทำการทดลองตรวจจับหาสิ่งแปลกปลอมในเมล็ดพืชโดยใช้ภาพถ่ายทางความร้อน

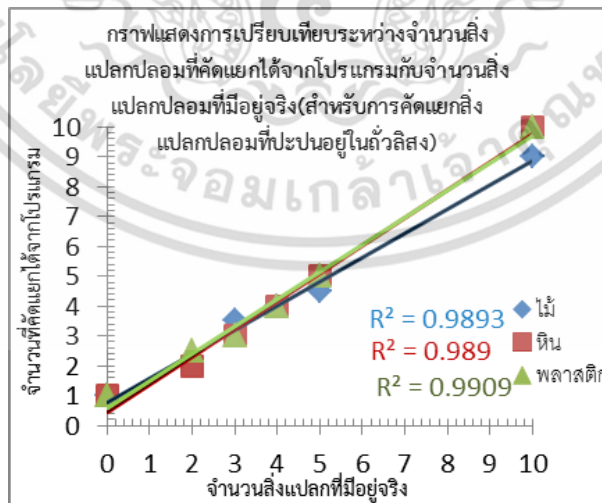
โดยผลการทดลองพบว่าระยะเวลาในการให้ความร้อนแก่เมล็ดพืชและสิ่งแปลกปลอมเป็นระยะเวลา 5 วินาที คือระยะเวลาที่ดีที่สุด และระยะเวลาในการ cooling ที่ดีที่สุดคือ 3 วินาที ซึ่งช่วงระยะเวลาที่ได้นี้จะให้ภาพที่ชัดเจนที่สุดในการนำมาวิเคราะห์เพื่อทำการตรวจจับปริมาณจำนวนของสิ่งแปลกปลอมเปรียบเทียบกับจำนวนเมล็ดพืช ซึ่งผลที่ได้จากการวิเคราะห์หาปริมาณสิ่งแปลกปลอมจากโปรแกรม Vision Builder AI ค่อนข้างแม่นยำ โดยผลที่ได้จากการทดลองแสดงดัง รูปที่ 4 โดยที่จำนวนสิ่งแปลกปลอมที่คัดแยกได้จากโปรแกรมมีความสัมพันธ์อย่างเป็นเชิงเส้นกับจำนวนสิ่งแปลกปลอมที่มีอยู่จริง (สำหรับการคัดแยกสิ่งแปลกปลอมที่ปะปนอยู่ในถั่วแดง) และรูปที่ 5 จำนวนสิ่งแปลกปลอมที่คัดแยกได้จากโปรแกรมมีความสัมพันธ์อย่างเป็นเชิงเส้นกับจำนวนสิ่งแปลกปลอมที่มีอยู่จริง (สำหรับการคัดแยกสิ่งแปลกปลอมที่ปะปนอยู่ในถั่วลิสง) ผลการทดลองจากการนำภาพถ่ายความร้อนของเมล็ดพืช ปริมาณ 100% โดยไม่มีสิ่งแปลกปลอมปะปนมาวิเคราะห์ด้วยซอฟต์แวร์ที่พัฒนาขึ้น พบว่าโปรแกรมไม่สามารถตรวจจับสิ่งแปลกปลอมได้และเปอร์เซ็นต์ความผิดพลาดมีค่าเท่ากับ 0% ดังแสดงในตารางที่ 1 และจากการทดลองเมื่อทำการปรับอัตราส่วนระหว่างจำนวนเมล็ดพืชและจำนวนสิ่งแปลกปลอมในอัตราส่วนดังนี้ 8:2, 6:4, 5:5 และ 0:10 ตามลำดับ เมื่อนำภาพถ่ายความร้อนมาวิเคราะห์ด้วยซอฟต์แวร์ที่พัฒนาขึ้นเพื่อตรวจจับหาสิ่งแปลกปลอมในเมล็ดพืชเปรียบเทียบกับจำนวนจริงของสิ่งแปลกปลอมที่มีอยู่พบว่าผลการทดลองที่ได้ในกรณีที่เปรียบเทียบให้มีสิ่งแปลกปลอมปะปนในเมล็ดถั่วแดง โปรแกรมสามารถตรวจจับปริมาณสิ่งแปลกปลอมได้ค่อนข้างแม่นยำ โดยมีเปอร์เซ็นต์ความผิดพลาดเท่ากับ 0% แต่มีในกรณีที่มีการคัดแยกไม้ที่ปะปนมาในถั่วแดงที่อัตราส่วน 5:5 มีเปอร์เซ็นต์ค่าความผิดพลาดเท่ากับ 20% และที่อัตราส่วน 0:10 มีเปอร์เซ็นต์ค่าความผิดพลาดเท่ากับ 10% ซึ่งผลการทดลองแสดงในตารางที่ 2 และในกรณีที่เปรียบเทียบให้มีสิ่งแปลกปลอมปะปนในเมล็ดถั่วลิสงสามารถตรวจจับปริมาณสิ่งแปลกปลอมได้ค่อนข้างแม่นยำเช่นกัน โดยมีเปอร์เซ็นต์ความผิดพลาดเท่ากับ 0%



รูปที่ 3 หน้าต่างซอฟต์แวร์ Vision Builder AI ที่ใช้ในกรวิเคราะห์ที่พัฒนาขึ้น

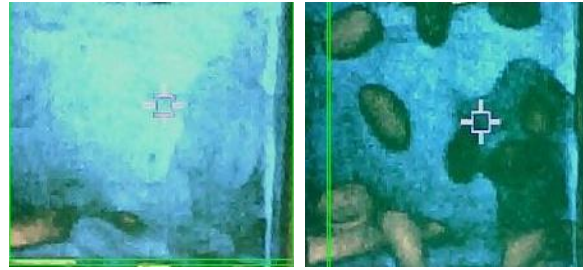


รูปที่ 4 กราฟแสดงการเปรียบเทียบระหว่างจำนวนสิ่งแปลกปลอมที่คัดแยกได้จากโปรแกรมกับจำนวนสิ่งแปลกปลอมที่มีอยู่จริง (ในถั่วแดง)



รูปที่ 5 กราฟแสดงการเปรียบเทียบระหว่างจำนวนสิ่งแปลกปลอมที่คัดแยกได้จากโปรแกรมกับจำนวนสิ่งแปลกปลอมที่มีอยู่จริง (ในถั่วลิสง)

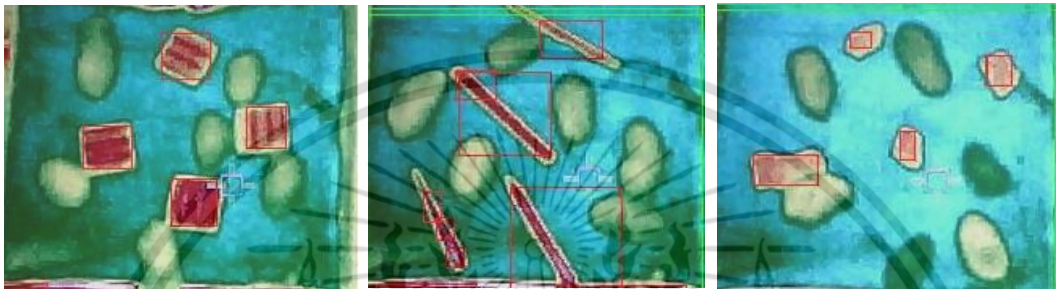
เอกสารนี้เป็นเอกสารที่สงวนไว้สำหรับการใช้งานเพื่อการศึกษาเท่านั้น ไม่อนุญาตให้นำไปใช้ประโยชน์ด้านการค้า
ไม่ว่ากรณีใดๆ ทั้งสิ้น อีกทั้งห้ามมิให้ดัดแปลงเนื้อหา และต้องอ้างอิงถึงเจ้าของเอกสารทุกครั้งที่มีการนำไปใช้



(ก)

(ข)

รูปที่ 6 ภาพแสดงภาพถ่ายความร้อนของเมล็ดพืชที่มีปริมาณ 100% (ก) ถั่วแดง (ข) ถั่วลิสง

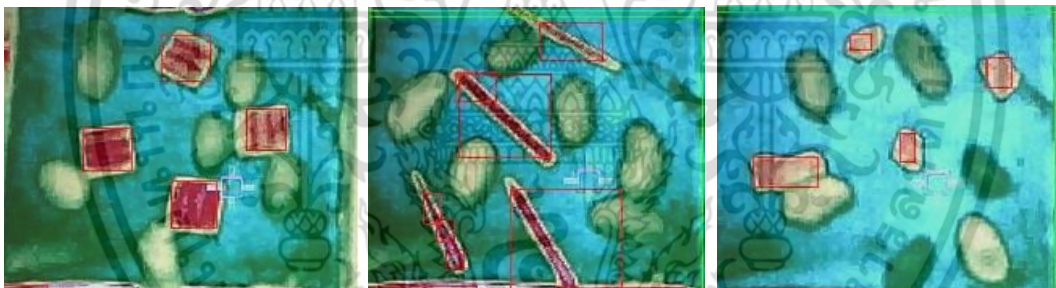


(ก)

(ข)

(ค)

รูปที่ 7 ภาพถ่ายความร้อนของเมล็ดพืช (ถั่วแดง) ประปนกับสิ่งแปลกปลอมต่างๆ ที่อัตราส่วน 60:40
พลาสติก (ข) ไม้ และ (ค) หิน



(ก)

(ข)

(ค)

รูปที่ 8 ภาพถ่ายความร้อนของเมล็ดพืช (ถั่วลิสง) ประปนกับสิ่งแปลกปลอมต่างๆ ที่อัตราส่วน 60:40
พลาสติก (ข) ไม้ และ (ค) หิน



(ก)

(ข)

(ค)

รูปที่ 9 ภาพถ่ายความร้อนของสิ่งแปลกปลอม 100% (ก) พลาสติก (ข) ไม้ และ (ค) หิน

เอกสารนี้เป็นเอกสารที่สงวนไว้สำหรับการใช้งานเพื่อการศึกษาเท่านั้น ไม่อนุญาตให้นำไปใช้ประโยชน์ด้านการค้า
ไม่ว่ากรณีใดๆ ทั้งสิ้น อีกทั้งห้ามมิให้ดัดแปลงเนื้อหา และต้องอ้างอิงถึงเจ้าของเอกสารทุกครั้งที่มีการนำไปใช้



ตมึในกรณีที่มีการคัดแยกไม้ที่ปะปนมาในถั่วลันเตาที่มีอัตราส่วน 0:10 มีเปอร์เซ็นต์ค่าความผิดพลาดเท่ากับ 10% ดังแสดงในตารางที่ 3 ในการทดลองบางอัตราส่วนที่มีค่าความผิดพลาดในการตรวจจับ อาจเกิดจากสิ่งแวดล้อมภายนอกจากแสงหรืออุณหภูมิเข้ามารบกวน ทำให้ค่าการแผ่รังสีความร้อนของวัตถุเปลี่ยนไปทำให้กล้องถ่ายภาพความร้อนไม่สามารถตรวจจับวัตถุนั้นได้ หรือในส่วนของเมล็ดพืชที่ยังมีความร้อนสะสมอยู่บางเมล็ดทำให้มีการแผ่รังสีในเฉดสีเดียวกันกับสิ่งแปลกปลอมจึงทำให้โปรแกรมตรวจจับเมล็ดพืชนั้นด้วย

ในรูปที่ 6-9 แสดงตัวอย่างภาพถ่ายความร้อนในกรณีต่างๆ ที่ทำการทดลองวิเคราะห์หาจำนวนสิ่งแปลกปลอมที่ตารางที่ 1 แสดงปริมาณจำนวนเมล็ดพืชจริงกับสิ่งแปลกปลอมเทียบกับปริมาณจำนวนเมล็ดพืชกับสิ่งแปลกปลอมที่โปรแกรมตรวจจับได้

ชนิดของเมล็ดพืช	จำนวนจริง (เมล็ด)		จำนวนที่ตรวจจับได้จากโปรแกรม (เมล็ด)	
	เมล็ดพืช	สิ่งแปลกปลอม	เมล็ดพืช	สิ่งแปลกปลอม
ถั่วแดง	10	0	10	0
ถั่วลันเตา	10	0	10	0

ตารางที่ 2 แสดงการปรับอัตราส่วนระหว่างจำนวนเมล็ดพืช (ถั่วแดง) และจำนวนสิ่งแปลกปลอมในอัตราส่วน 8:2, 6:4, 5:5 และ 0:10 ตามลำดับ

ชนิดของเมล็ดพืช	สิ่งแปลกปลอม	จำนวนอัตราส่วนจริง (เมล็ด)		จำนวนอัตราส่วนการทดลอง (เมล็ด)	
		เมล็ดพืช	สิ่งแปลกปลอม	เมล็ดพืช	สิ่งแปลกปลอม
ถั่วแดง	พลาสติก	8	2	8	2
ถั่วแดง	ไม้			8	2
ถั่วแดง	หิน			8	2
ถั่วแดง	พลาสติก	6	4	6	4
ถั่วแดง	ไม้			6	4
ถั่วแดง	หิน			6	4
ถั่วแดง	พลาสติก	5	5	5	5
ถั่วแดง	ไม้			5	4
ถั่วแดง	หิน			5	5
ถั่วแดง	พลาสติก	0	10	0	10
ถั่วแดง	ไม้			0	9
ถั่วแดง	หิน			0	10

ตารางที่ 3 แสดงการปรับอัตราส่วนระหว่างจำนวนเมล็ดพืช (ถั่วลันเตา) และจำนวนสิ่งแปลกปลอมในอัตราส่วน 8:2, 6:4, 5:5 และ 0:10 ตามลำดับ

ชนิดของเมล็ดพืช	สิ่งแปลกปลอม	จำนวนอัตราส่วนจริง (เมล็ด)		จำนวนอัตราส่วนการทดลอง (เมล็ด)	
		เมล็ดพืช	สิ่งแปลกปลอม	เมล็ดพืช	สิ่งแปลกปลอม
ถั่วลันเตา	พลาสติก	8	2	8	2
ถั่วลันเตา	ไม้			8	2
ถั่วลันเตา	หิน			8	2
ถั่วลันเตา	พลาสติก	6	4	6	4
ถั่วลันเตา	ไม้			6	4
ถั่วลันเตา	หิน			6	4
ถั่วลันเตา	พลาสติก	5	5	5	5
ถั่วลันเตา	ไม้			5	5
ถั่วลันเตา	หิน			5	5

เอกสารนี้เป็นเอกสารที่สงวนไว้สำหรับการใช้งานเพื่อการศึกษาเท่านั้น ไม่อนุญาตให้นำไปใช้ประโยชน์ด้านการค้าไม่ว่ากรณีใดๆ ทั้งสิ้น อีกทั้งห้ามมิให้ดัดแปลงเนื้อหา และต้องอ้างอิงถึงเจ้าของเอกสารทุกครั้งที่มีการนำไปใช้

ชนิดของเมล็ดพืช	สิ่งแปลกปลอม	จำนวนอัตราส่วนจริง (เมล็ด)		จำนวนอัตราส่วนการทดลอง (เมล็ด)	
		เมล็ดพืช	สิ่งแปลกปลอม	เมล็ดพืช	สิ่งแปลกปลอม
ถั่วลิสง	พลาสติก	0	10	0	10
ถั่วลิสง	ไม้			0	9
ถั่วลิสง	หิน			0	10

4. สรุปผลการทดลอง

งานวิจัยนี้นำเสนอการตรวจจับสิ่งแปลกปลอมที่ปะปนในเมล็ดพืชด้วยเทคนิคเอกซเรย์โพสิตรอนกราฟฟี ในการทดลองได้ทำการตรวจจับหาสิ่งแปลกปลอมที่ปะปนในเมล็ดถั่วแดง และถั่วลิสง โดยกำหนดสิ่งแปลกปลอม 3 ชนิด คือ หิน ไม้ และพลาสติก ระยะเวลาที่เหมาะสมในการให้ความร้อนแก่ธัญพืชและสิ่งแปลกปลอมที่ปะปนมาที่ได้ออกผลการทดลองคือ 5 วินาที และช่วงเวลาเว้นระยะห่างหลังจากให้ความร้อนคือ 3 วินาที ซึ่งทำให้ได้ภาพถ่ายความร้อนที่ชัดเจนที่ใช้นามาวิเคราะห์ เพื่อแยกแยะและหาปริมาณสิ่งแปลกปลอมกับเมล็ดพืช โดยใช้ซอฟต์แวร์ Vision Builder AI ซึ่งซอฟต์แวร์ที่พัฒนาขึ้นสามารถแสดงผลการทดลองเปรียบเทียบความแตกต่างระหว่างธัญพืชกับสิ่งแปลกปลอมได้ค่อนข้างชัดเจน โดยจากผลการทดลองปริมาณจำนวนสิ่งแปลกปลอมที่มีอยู่จริงมีความสัมพันธ์อย่างเป็นเชิงเส้นกับปริมาณสิ่งแปลกปลอมที่โปรแกรมตรวจจับได้ด้วยค่า $R^2 > 0.97$ และสามารถแยกแยะและหาปริมาณสิ่งแปลกปลอมกับเมล็ดพืชได้อย่างถูกต้องแม่นยำ ซึ่งในทุกกรณีมีเปอร์เซ็นต์ความคลาดเคลื่อนไม่เกิน 20% และระบบที่พัฒนาขึ้นนี้สามารถนำหลักการไปประยุกต์ใช้งานเพื่อตรวจหาสิ่งแปลกปลอมในผลิตภัณฑ์อื่นๆ ต่อไปในอนาคตได้

5. อ้างอิง

[1] เพ็ญญา ทรัพย์เจริญ (2544) การศึกษาทางมานุษยวิทยาโภชนาการ : กรณีถั่ว สถาบันการแพทย์แผนไทย กรมการแพทย์กรุงเทพฯ

[2] พงษ์เทพ เกิดดอนแฝก และคณะ. (2545). การศึกษาการใช้ แรงของสนามแม่เหล็กในการคัดแยกเมล็ดพืช. พิมพ์ ครั้งที่ 6. (หน้า 330-334)

[3] สุพรรณ ยั่งยืน และเสรี วงศ์พิเชษฐ์. (2550). การศึกษาและ พัฒนาเครื่องแยกดินทราย ย ออกจาก ถั่วลิสง. Postharvest Newsletter. ปีที่ 6 ฉบับที่ 4

[4] G.Ginesu, D.D. Giusto, V.Margner V., (2004). Dection of Foreign Bodies in Food by Thermal Image Processing.IEEE Trasactions on Industrial Electronics.51, 480-490.

[5] Christiane MAIERHOFER, Mathias ROELLIG (2009) Active thermography for the characterization of surfaces and interfaces of historic masonry structures, Federal Institute for Materials Research and Testing (BAM), Berlin, Germany

[6] P. Meinschmidt (2005), Thermographic detection of defects in wood and wood-based materials, Wilhelm-Klauditz-Institut (WKI), Fraunhofer-Institute for wood research, Braunschweig Germany

[7] Thermal conductivity Food Network –Solution เรียบเรียงโดย ผศ. ดร. พิมพ์เพ็ญ พรเฉลิมพงศ์, ศ.ดร.นิธิยา รัตนานพนธ์ URL: [http:// www.Foodnetworksolution.com/wiki/word/0564/thermal-conductivity](http://www.Foodnetworksolution.com/wiki/word/0564/thermal-conductivity), เข้าดูเมื่อวันที่ 28/01/2556.

TPT-18

การปกป้องผลแอปเปิ้ลด้วยวัสดุกันกระแทกจากฟางข้าว

* ธนากร แนวนกลาง¹ เทวรัตน์ ตรีอำนาจ¹ วีรชัย อางหาญ¹ และ กระวี ตรีอำนาจ²

¹สาขาวิชาวิศวกรรมเกษตร มหาวิทยาลัยเทคโนโลยีสุรนารี 111 ถนนมหาวิทยาลัย ต.สุรนารี อ.เมือง จ.นครราชสีมา 30000

²ภาควิชาวิศวกรรมเกษตร คณะวิศวกรรมศาสตร์ มหาวิทยาลัยเทคโนโลยีราชมงคลธัญบุรี

39 ม. 1 ถนนรังสิต-นครนายก ต.คลองหก อ.ธัญบุรี จ.ปทุมธานี 12110

เอกสารนี้เป็นเอกสารที่สวอนไว้สำหรับการใช้งานเพื่อการศึกษาเท่านั้น ไม่อนุญาตให้นำไปใช้ประโยชน์ด้านการค้า ไม่ว่ากรณีใดๆ ทั้งสิ้น อีกทั้งห้ามมิให้ตัดแปลงเนื้อหา และต้องอ้างอิงถึงเจ้าของเอกสารทุกครั้งที่มีการนำไปใช้

ประวัติผู้เขียน

ชื่อ-นามสกุล	นายวราวิช พรพระ
วัน เดือน ปีเกิด	25 เมษายน 2530 ที่จังหวัดร้อยเอ็ด
ที่อยู่	55/133 หมู่ 12 หมู่บ้านพฤษชาติไลท์ ตำบลศิระชะจรเข้่น้อย อำเภอบางเสาะง สมุทรปราการ 10540
ประวัติการศึกษา	2553 วิทยาศาสตร์บัณฑิต สาขาวิชาฟิสิกส์ประยุกต์-เครื่องมือวิทยาศาสตร์และอุตสาหกรรม สถาบันเทคโนโลยีพระจอมเกล้าเจ้าคุณทหารลาดกระบัง 2558 วิศวกรรมศาสตรมหาบัณฑิต สาขาวิชาวิศวกรรมการวัดคุม สถาบันเทคโนโลยีพระจอมเกล้าเจ้าคุณทหารลาดกระบัง
ความชำนาญเฉพาะด้าน	1.) การใช้เครื่องมือทางวิทยาศาสตร์ เช่น High Performance Liquid Chromatography, Mass Spectroscopy เป็นต้น 2.) การใช้เครื่องมือวิเคราะห์ทางวิทยาศาสตร์และอุตสาหกรรม เช่น Scanning electron microscope (SEM), Atomic force microscope (AFM), UV-VIS, Universal Testing Machine, FT-IR, Confocal เป็นต้น
ประสบการณ์การทำงานและผลงานวิจัย	
พ.ศ.2553-ปัจจุบัน	ตำแหน่ง Analytical Service Engineer บริษัท พาราไซแอนติฟิค จำกัด - Exclusive Distributor ของเครื่องมือวิเคราะห์และทดสอบคุณสมบัติ ต่างๆ ผลิตภัณฑ์ของ SHIMADZU ประเทศญี่ปุ่น
พ.ศ.2554	งานวิจัยเรื่อง Characterization of PVA-Chitosan Nanofibers Prepared by Electrospinning ได้รับการตีพิมพ์แสดงบน www.sciencedirect.com
พ.ศ.2556	งานวิจัยเรื่อง ระบบการตรวจจับสิ่งแปลกปลอมที่ปะปนในเมล็ดพืชด้วย เทคนิคแอกทีฟเทอร์โมกราฟี ได้รับการยอมรับเข้าร่วมนำเสนอผลงานใน การประชุมวิชาการสมาคมวิศวกรรมเกษตรแห่งประเทศไทย ครั้งที่ 14 ที่ จังหวัดประจวบคีรีขันธ์

เอกสารนี้เป็นเอกสารที่สงวนไว้สำหรับการใช้งานเพื่อการศึกษาเท่านั้น ไม่อนุญาตให้นำไปใช้ประโยชน์ด้านการค้า
ไม่ว่ากรณีใดๆ ทั้งสิ้น อีกทั้งห้ามมิให้ดัดแปลงเนื้อหา และต้องอ้างอิงถึงเจ้าของเอกสารทุกครั้งที่มีการนำไปใช้

โปรแกรมที่พัฒนาด้วย Microsoft Visual Studio C# (EmguCV Library)

```
using System;

using System.Collections.Generic;

using System.ComponentModel;

using System.Data;

using System.Drawing;

using System.Linq;

using System.Text;

using System.Windows.Forms;

using System.Threading;

using Emgu.CV;

using Emgu.CV.Structure;

using Emgu.Util;

//using Emgu.CV.GPU;

using Emgu.CV.UI;

using Emgu.CV.CvEnum;

namespace WindowsFormsApplication1

{

    public partial class Form1 : Form

    {

        const int EV_CONNECTED = 2;

        const int EV_DISCONNECTED = 3;
```

เอกสารนี้เป็นเอกสารที่สงวนไว้สำหรับการใช้งานเพื่อการศึกษาเท่านั้น ไม่อนุญาตให้นำไปใช้ประโยชน์ด้านการค้า ไม่ว่าจะกรณีใดๆ ทั้งสิ้น อีกทั้งห้ามมิให้ดัดแปลงเนื้อหา และต้องอ้างอิงถึงเจ้าของเอกสารทุกครั้งที่มีการนำไปใช้

```

const int EV_CONN_BROKEN = 4;

const int EV_RECONNECTED = 5;

const int EV_DISCONNECTING = 6;

const int EV_AUTOADJUST = 7;

const int EV_RECALIB_START = 8;

const int EV_RECALIB_STOP = 9;

const int EV_LUT_UPDATED = 10;

const int EV_REC_UPDATED = 11; // Recording settings are updated

const int EV_IMAGE_CAPTURED = 12;

const int EV_INIT_COMPLETED = 13;

const int EV_FRAME_RATE_TABLE_AVAILABLE = 14;

const int EV_FRAME_RATE_CHANGE_COMPLETED = 15;

const int EV_RANGE_TABLE_AVAILABLE = 16;

const int EV_RANGE_CHANGE_COMPLETED = 17;

const int EV_IMAGE_SIZE_CHANGED = 18;

public Thread GrabberThread;

Image<Bgr, Byte> ColormapImage;

Image<Gray, Byte> TemplImage, ThresholdImage, TemplImageNew;

Image<Gray, Byte> TempContourRectImage;

int[] intThresholdValue = new int[2] {255, 100};

int intSaveImageCount = 0;

```

```
//Byte[] intTemp = new Byte[1000];
```

เอกสารนี้เป็นเอกสารทรัพย์สินทางปัญญาที่จัดทำขึ้นเพื่อการศึกษาเท่านั้น ไม่อนุญาตให้นำไปใช้ประโยชน์ด้านการค้า
ไม่ว่ากรณีใดๆ ทั้งสิ้น อีกทั้งห้ามมิให้ดัดแปลงเนื้อหา และต้องอ้างอิงถึงเจ้าของเอกสารทุกครั้งที่มีการนำไปใช้

```
//Byte[] intTemp2 = new Byte[1000];
```

```
//Point[] temp;
```

```
Contour<Point> contours;
```

```
MemStorage stor;
```

```
public void Grabber()
```

```
{
```

```
    object image;
```

```
    while (true)
```

```
    {
```

```
        // request image with IR signal values (array of UInt16)
```

```
        image = axLVCam1.GetImage(0);
```

```
        DrawPicture(image);
```

```
    }
```

```
}
```

```
public void DrawPicture(object image)
```

```
{
```

```
    if (image is Int16)
```

```
    {
```

เอกสารนี้เป็นเอกสารที่สงวนไว้สำหรับใช้เพื่อการศึกษาเท่านั้น ไม่อนุญาตให้นำไปใช้ประโยชน์ด้านการค้า
ไม่ว่ากรณีใดๆ ทั้งสิ้น อีกทั้งห้ามมิให้ดัดแปลงเนื้อหา และต้องอ้างอิงถึงเจ้าของเอกสารทุกครั้งที่มีการนำไปใช้

```

Thread.Sleep(1000);

return;
}

// We have an image - cast it to proper type
System.UInt16[,] im = image as System.UInt16[,]

int lngWidthIrlmage = im.GetLength(0);
int lngHeightIrlmage = im.GetLength(1);

//System.Diagnostics.Debug.WriteLine("w=" + lngWidthIrlmage);
//System.Diagnostics.Debug.WriteLine("h=" + lngHeightIrlmage);

// Create a bitmap for our image
Bitmap bmp = new Bitmap(lngWidthIrlmage, lngHeightIrlmage);

// Find minimum and maximum pixels
int lngMinPixelValue = 65535;
int lngMaxPixelValue = 0;

for (int y = 0; y < lngHeightIrlmage; y++)
{
    for (int x = 0; x < lngWidthIrlmage; x++)
    {
        ushort pixel = im[x, y];

```

เอกสารนี้เป็นเอกสารที่สงวนไว้สำหรับการใช้งานเพื่อการศึกษาเท่านั้น ไม่อนุญาตให้นำไปใช้ประโยชน์ด้านการค้า ไม่ว่าจะกรณีใดๆ ทั้งสิ้น อีกทั้งห้ามมิให้ดัดแปลงเนื้อหา และต้องอ้างอิงถึงเจ้าของเอกสารทุกครั้งที่มีการนำไปใช้

```

if (pixel < lngMinPixelValue)

    lngMinPixelValue = pixel;

else if (pixel > lngMaxPixelValue)

    lngMaxPixelValue = pixel;

}

}

int lngSpan = lngMaxPixelValue - lngMinPixelValue;

for (int x = 0; x < lngWidthIrlmage; x++)
{
for (int y = 0; y < lngHeightIrlmage; y++)
{
    ushort pixel = (ushort)im[x, y];
    byte pix = (byte)(((pixel - lngMinPixelValue) * 255) / lngSpan);
    //ushort pix = (ushort)im[x, y];
    //Templimage.Data[y, x, 0] = pix;

    bmp.SetPixel(x, y, Color.FromArgb(pix, pix, pix));
}
}
}

```

```
// Bitmap is ready - update image control
```

```
//pic.Image = System.Drawing.Image.FromHbitmap bmp.GetHbitmap());
```

```
imageBoxFLIR.BeginInvoke(new Action() =>
```

เอกสารนี้เป็นเอกสารที่สงวนไว้สำหรับการใช้งานเพื่อการศึกษาเท่านั้น ไม่อนุญาตให้นำไปใช้ประโยชน์ด้านการค้า ไม่ว่าจะกรณีใดๆ ทั้งสิ้น อีกทั้งห้ามมิให้ดัดแปลงเนื้อหา และต้องอ้างอิงถึงเจ้าของเอกสารทุกครั้งที่มีการนำไปใช้

```

//trackBarHue.Value = 0;

//imageBox1.Image = new Image<Bgr, Byte>(bmp);

TemplImage = new Image<Gray, Byte>(bmp);

//ThresholdImage = ThresholdImage.ThresholdBinary(new Gray(195), new Gray(255));

imageBoxFLIR.Image = TemplImage;

//imageBoxThreshold.

//trackBarHue.Value = 0;

//ColormapImage = new Image<Bgr, Byte>(TemplImage.Width, TemplImage.Height);

//CvInvoke.ApplyColorMap(TemplImage.Ptr, ColormapImage.Ptr,
Emgu.CV.CvEnum.ColorMapType.Jet);

//imageBoxThreshold.Image = ThresholdImage;
));
imageBoxThreshold.BeginInvoke(new Action(() =>
{
//comboBox1.SelectedItem;

ThresholdImage = TemplImage.ThresholdBinary(new
Gray(intThresholdValue[(int)comboBox1.SelectedIndex], new Gray(255));

//trackBarThreshold.Value = ;

////////////////////-----Image Threshold by Trackbar-----////////////////////

//ThresholdImage = TemplImage.ThresholdBinary(new Gray(trackBarThreshold.Value), new
Gray(255));

imageBoxThreshold.Image = ThresholdImage;

```

เอกสารนี้เป็นเอกสารที่สงวนไว้สำหรับการใช้งานเพื่อการศึกษาเท่านั้น ไม่อนุญาตให้นำไปใช้ประโยชน์ด้านการค้า
ไม่ว่ากรณีใดๆ ทั้งสิ้น อีกทั้งห้ามมิให้ดัดแปลงเนื้อหา และต้องอ้างอิงถึงเจ้าของเอกสารทุกครั้งที่มีการนำไปใช้

```

imageBoxContour.BeginInvoke(new Action() =>
{
    stor = new MemStorage();

    contours =
ThresholdImage.FindContours(Emgu.CV.CvEnum.CHAIN_APPROX_METHOD.CV_CHAIN_APPROX_SIMPLE,
Emgu.CV.CvEnum.RETR_TYPE.CV_RETR_TREE, stor);

    TemplImageNew = new Image<Gray, Byte>(ThresholdImage.Size);
    TempContourRectImage = new Image<Gray, Byte>(ThresholdImage.Size);
    TemplImageNew = RemoveSmallObject(contours, int.Parse(txtSize.Text));
    //while (contours != null)
    //{
    //    TemplImageNew.Draw(contours, new Gray(255), -1);
    //    contours = contours.HNext;
    //}
    imageBoxContour.Image = TemplImageNew;
});
}

```

```

private Image<Gray, Byte> RemoveSmallObject(Contour<Point> tempContours, int intSize)
{
    //Image<Gray, Byte> TempContourImage = new Image<Gray, byte>(InputImage.Size);

    //Image<Gray, Byte> TemplImageNew = InputImage.Convert<Gray, byte>();

```

เอกสารนี้เป็นเอกสารที่สงวนไว้สำหรับการใช้งานเพื่อการศึกษาเท่านั้น ไม่อนุญาตให้นำไปใช้ประโยชน์ด้านการค้า
ไม่ว่ากรณีใดๆ ทั้งสิ้น อีกทั้งห้ามมิให้ดัดแปลงเนื้อหา และต้องอ้างอิงถึงเจ้าของเอกสารทุกครั้งที่มีการนำไปใช้

```

int i = 0;

for (; tempContours != null; tempContours = tempContours.HNext)
{
    if (tempContours.Area > intSize)
    {
        i++;

        textBox1.Text = i.ToString();

        //TempContourRectImage.Draw(tempContours, new Gray(255), 1);

        /* ///// ----- ///// */
        Point[] temp = tempContours.ToArray();

        int last = 0, current, MaxIndex;

        for (int k = 0; k < temp.Length; k++)
        {
            current = temp[k].X;

            if (current < last)
            {
                MaxIndex = k;

                break;
            }

            last = current;
        }
    }
}

```

เอกสารนี้เป็นเอกสารที่สงวนไว้สำหรับการใช้งานเพื่อการศึกษาเท่านั้น ไม่อนุญาตให้นำไปใช้ประโยชน์ด้านการค้า
ไม่ว่ากรณีใดๆ ทั้งสิ้น อีกทั้งห้ามมิให้ดัดแปลงเนื้อหา และต้องอ้างอิงถึงเจ้าของเอกสารทุกครั้งที่มีการนำไปใช้

```

for (int k = 0; k < temp.Length; k++)
{
    for (int x = temp[k].X; x < temp[temp.Length/2].X; x++)
    {
        for (int y = temp[k].Y; y < temp[(temp.Length-1) - k].Y; y++)
        {
            //intTemp[k] = TempImage.Data[temp[k].X, temp[k].Y, 0];
            TempContourRectImage.Draw(new CircleF(new Point(x, y),0), new Gray(255), 1);
        }
    }
}
*/
MCvBox2D box = tempContours.GetMinAreaRect();
if (box.angle < -45.0)
{
    float tmp = box.size.Width;
    box.size.Width = box.size.Height;
    box.size.Height = tmp;
    box.angle += 90.0f;
}

else if (box.angle > 45.0)

```

เอกสารนี้เป็นเอกสารที่สงวนไว้สำหรับการใช้งานเพื่อการศึกษาเท่านั้น ไม่อนุญาตให้นำไปใช้ประโยชน์ด้านการค้า
ไม่ว่ากรณีใดๆ ทั้งสิ้น อีกทั้งห้ามมิให้ดัดแปลงเนื้อหา และต้องอ้างอิงถึงเจ้าของเอกสารทุกครั้งที่มีการนำไปใช้

```

float tmp = box.size.Width;

box.size.Width = box.size.Height;

box.size.Height = tmp;

box.angle -= 90.0f;

}

TempContourRectImage.Draw(box, new Gray(255), 1);

//TemplImageNew.Draw(box, new Gray(255), 1);

//imageBox1InputImage.Image = TemplImageNew;

//imageBox1ThresHold.Image = TempContourRectImage;

}

RemoveSmallObject(tempContours.VNext, int.Parse(txtSize.Text));

}

return TempContourRectImage;

}

public Form1()

{

InitializeComponent();

string kalle = axLVCam1.Version;

}

```

```

private void axLVCam1_CameraEvent(object sender,
AxCAMCTRLLib._DLVCamEvents_CameraEvent e)

```

เอกสารนี้เป็นเอกสารที่สงวนไว้สำหรับการใช้งานเพื่อการศึกษาเท่านั้น ไม่อนุญาตให้นำไปใช้ประโยชน์ด้านการค้า
ไม่ว่ากรณีใดๆ ทั้งสิ้น อีกทั้งห้ามมิให้ดัดแปลงเนื้อหา และต้องอ้างอิงถึงเจ้าของเอกสารทุกครั้งที่มีการนำไปใช้

```

{

string sEvent = "";

switch (e.id)

{

case EV_CONNECTED:

    sEvent = "Connected";

    GrabberThread = new Thread(new ThreadStart(Grabber));

    GrabberThread.Start();

    break;

case EV_DISCONNECTED:

    sEvent = "Disconnected";

    GrabberThread.Abort();

    break;

case EV_CONN_BROKEN:

    sEvent = "Connection broken"; break;

case EV_RECONNECTED:

    sEvent = "Reconnected"; break;

case EV_DISCONNECTING:

    sEvent = "Disconnecting..."; break;

case EV_AUTOADJUST:

    sEvent = "Auto adjust"; break;

case EV_RECALIB_START:

    sEvent = "Start of recalibration"; break;

case EV_RECALIB_STOP:

    sEvent = "End of recalibration"; break;

```

เอกสารนี้เป็นเอกสารที่สงวนไว้สำหรับใช้เพื่อการศึกษาเท่านั้น ไม่อนุญาตให้นำไปใช้ประโยชน์ด้านการค้า
ไม่ว่ากรณีใดๆ ทั้งสิ้น อีกทั้งห้ามมิให้ดัดแปลงเนื้อหา และต้องอ้างอิงถึงเจ้าของเอกสารทุกครั้งที่มีการนำไปใช้

```

case EV_LUT_UPDATED:

    sEvent = "Look-up table updated"; break;

case EV_REC_UPDATED:

    sEvent = "Recording settings updated"; break;

case EV_IMAGE_CAPTURED:

    sEvent = "Image captured"; break;

case EV_INIT_COMPLETED:

    sEvent = "Init completed"; break;

case EV_FRAME_RATE_TABLE_AVAILABLE:

    sEvent = "Frame rate table available"; break;

case EV_FRAME_RATE_CHANGE_COMPLETED:

    sEvent = "Frame rate change completed"; break;

case EV_RANGE_TABLE_AVAILABLE:

    sEvent = "Temperature range table available"; break;

case EV_RANGE_CHANGE_COMPLETED:

    sEvent = "Temperature range change completed"; break;

case EV_IMAGE_SIZE_CHANGED:

    sEvent = "Image size changed"; break;

}

listBox1.Items.Add(sEvent);

}

```

```
// private void Form1_Load(object sender, EventArgs e)
```

//{ เป็นเอกสารที่สงวนไว้สำหรับการใช้งานเพื่อการศึกษาเท่านั้น ไม่อนุญาตให้นำไปใช้ประโยชน์ด้านการค้า
ไม่ว่ากรณีใดๆ ทั้งสิ้น อีกทั้งห้ามมิให้ดัดแปลงเนื้อหา และต้องอ้างอิงถึงเจ้าของเอกสารทุกครั้งที่มีการนำไปใช้

```

// }

// private void trackBarHue_Scroll(object sender, EventArgs e)

// {

//     lblHueVal.Text = trackBarThreshold.Value.ToString();

// }

private void trackBarThreshold_Scroll(object sender, EventArgs e)
{
    lblThresVal.Text = trackBarThreshold.Value.ToString();
    ThresholdImage = TemplImage.ThresholdBinary(new Gray(trackBarThreshold.Value), new
Gray(255));
    imageBoxThreshold.Image = ThresholdImage;
}

private void btCapture_Click(object sender, EventArgs e)
{
    string strImageName = null;
    string strThresholdName = null;
    string strContourName = null;

    strImageName = "D:\\Project image\\Image Source\\Image_" + intSavelImageCount.ToString() +
".png";

    strThresholdName = "D:\\Project image\\Threshold Image\\Threshold_" +
intSavelImageCount.ToString() + ".png";

```

เอกสารนี้เป็นเอกสารที่สงวนไว้สำหรับการใช้งานเพื่อการศึกษาเท่านั้น ไม่อนุญาตให้นำไปใช้ประโยชน์ด้านการค้า
ไม่ว่ากรณีใดๆ ทั้งสิ้น อีกทั้งห้ามมิให้ดัดแปลงเนื้อหา และต้องอ้างอิงถึงเจ้าของเอกสารทุกครั้งที่มีการนำไปใช้

```

        strContourName = "D:\\Project image\\Contour Image\\Contour_" + intSaveImageCount.ToString()
+ ".png";

        TemplImage.Save(strImageName);

        ThresholdImage.Save(strThresholdName);

        TemplImageNew.Save(strContourName);

        intSaveImageCount++;
    }

private void btFeedImage_Click(object sender, EventArgs e)
{
    //imageBoxThreshold.Image = TemplImage;

    GrabberThread.Abort();
}

private void Form1_Load(object sender, EventArgs e)
{
    //stor = new MemStorage();

    //ThresholdImage = new Image<Gray, byte>("C:\\Untitled.jpg");

    //contours =
ThresholdImage.FindContours(Emgu.CV.CvEnum.CHAIN_APPROX_METHOD.CV_CHAIN_APPROX_SIMPLE,
Emgu.CV.CvEnum.RETR_TYPE.CV_RETR_TREE, stor);

    //TemplImageNew = new Image<Gray, Byte>(ThresholdImage.Size);

    //TempContourRectImage = new Image<Gray, Byte>(ThresholdImage.Size);

    //TemplImageNew = RemoveSmallObject(contours, int.Parse(txtSize.Text));
}
}
}

```

เอกสารนี้เป็นเอกสารที่สงวนไว้สำหรับการใช้งานเพื่อการศึกษาเท่านั้น ไม่อนุญาตให้นำไปใช้ประโยชน์ด้านการค้า
ไม่ว่ากรณีใดๆ ทั้งสิ้น อีกทั้งห้ามมิให้ดัดแปลงเนื้อหา และต้องอ้างอิงถึงเจ้าของเอกสารทุกครั้งที่มีการนำไปใช้

ประวัติผู้เขียน

ชื่อ-นามสกุล	นายวราวิช พรพระ
วัน เดือน ปีเกิด	25 เมษายน 2530 ที่จังหวัดร้อยเอ็ด
ที่อยู่	55/133 หมู่ 12 หมู่บ้านพฤษชาติไศล ตำบลศิระชะจรเข้่น้อย อำเภอบางเสาะง สมุทรปราการ 10540
ประวัติการศึกษา	2553 วิทยาศาสตร์บัณฑิต สาขาวิชาฟิสิกส์ประยุกต์-เครื่องมือวิทยาศาสตร์และอุตสาหกรรม สถาบันเทคโนโลยีพระจอมเกล้าเจ้าคุณทหารลาดกระบัง 2558 วิศวกรรมศาสตรมหาบัณฑิต สาขาวิชาวิศวกรรมการวัดคุม สถาบันเทคโนโลยีพระจอมเกล้าเจ้าคุณทหารลาดกระบัง
ความชำนาญเฉพาะด้าน	1.) การใช้เครื่องมือทางวิทยาศาสตร์ เช่น High Performance Liquid Chromatography, Mass Spectroscopy เป็นต้น 2.) การใช้เครื่องมือวิเคราะห์ทางวิทยาศาสตร์และอุตสาหกรรม เช่น Scanning electron microscope (SEM), Atomic force microscope (AFM), UV-VIS, Universal Testing Machine, FT-IR, Confocal เป็นต้น
ประสบการณ์การทำงานและผลงานวิจัย	
พ.ศ.2553-ปัจจุบัน	ตำแหน่ง Analytical Service Engineer บริษัท พาราไซแอนติค จำกัด - Exclusive Distributor ของเครื่องมือวิเคราะห์และ ทดสอบคุณสมบัติ ต่างๆ ผลิตภัณฑ์ของ SHIMADZU ประเทศญี่ปุ่น
พ.ศ.2554	งานวิจัยเรื่อง Characterization of PVA-Chitosan Nanofibers Prepared by Electrospinning ได้รับการตีพิมพ์แสดงบน www.sciencedirect.com
พ.ศ.2556	งานวิจัยเรื่อง ระบบการตรวจจับสิ่งแปลกปลอมที่ปะปนในเมล็ดพืชด้วยเทคนิคแอกทีฟเทอร์โมกราฟี ได้รับการยอมรับเข้าร่วมนำเสนอผลงานในการประชุมวิชาการสมาคมวิศวกรรมเกษตรแห่งประเทศไทย ครั้งที่ 14 ที่ จังหวัดประจวบคีรีขันธ์

เอกสารนี้เป็นเอกสารที่สงวนไว้สำหรับการใช้งานเพื่อการศึกษาเท่านั้น ไม่อนุญาตให้นำไปใช้ประโยชน์ด้านการค้า
ไม่ว่ากรณีใดๆ ทั้งสิ้น อีกทั้งห้ามมิให้ตัดแปลงเนื้อหา และต้องอ้างอิงถึงเจ้าของเอกสารทุกครั้งที่มีการนำไปใช้